



سازمان امنیت اطلاعات

شرکت مهندسین مشاور قدس نیرو از مهرماه ۱۳۷۴ و با سعی و کوشش فراوان همه کارکنان در مسیر استقرار استاندارد ISO9001-94 گام برداشت و در آذرماه ۱۳۷۷ موفق به دریافت این گواهینامه گردید.  
در اسفندماه ۱۳۸۱ پس از منطبق نمودن سیستم جاری با الزمات بازنگری سال ۲۰۰۰، طی یک ارزیابی دشوار از طرف ممیزین شخص ثالث گواهینامه استقرار استاندارد ISO9001-2000 دریافت گردید.

شرکت قدس نیرو ضمن گذار از مرحله مدیریت فرآیندها بر اساس استانداردهای سیستم مدیریت کیفیت و باشتوانه ۷ سال تجربه نهادینه سازی ISO 9000 به کارگیری مدل های تعالی سازمانی را از ابتدای سال ۱۳۸۲ همزمان با ورود مدل های سرآمدی به کشور آغاز نمود. مدل EFQM به عنوان یکی از رایج ترین مدل های تعالی سازمانی با هدف سنجش عملکرد سازمان و تعیین نواحی قابل بهبود آن و همچنین تعیین مسیر حرکت به سمت تعالی (Road Map) به کار گرفته شد. در این راستا ضمن گزینش تیم ارزیابان داخلی برنامه های آموزشی متعددی با روش های کارگاهی (Learning by doing) برای توانمندسازی تیم مذکور و توجیه مدیران ارشد. مدیران میانی و مدیران پروژه برگزار گردید. نواحی قابل بهبود سازمان در قالب خودارزیابی با حضور کلیه مدیران شرکت تعیین گردید. باز خورد به دست آمده به عنوان مبنای تعیین و الیت بندی برنامه های توسعه سیستم های مدیریت بررسی گردید و برنامه اقدام (Action Plan) شرکت قدس نیرو استخراج شد.  
بر اساس نتایج خودارزیابی و برنامه اقدام در گام نخست . حرکت در چهار بعد اصلی برنامه ریزی شده است .

#### ۳- مدیریت فرآیندها ( Process Management )

#### ۱- مدیریت استراتژیک ( Strategic Management )

#### ۴- مدیریت عملکرد سازمان ( Performance Management )

#### ۲- مدیریت منابع انسانی ( Human Resource Management )

دستاوردهای این تلاش ها ایجاد نگرشی جدید در توسعه و بهسازی سیستم های مدیریت سازمان بود که منجر به موفقیت های قابل توجهی به شرح زیر گردید.

- اخذ گواهینامه تعهد به تعالی از جایزه ملی بهره وری و تعالی سازمانی ۱۳۸۳
- دریافت لوح تقدیر به عنوان یکی از شرکت های برتر از جشنواره مدیریت تکنولوژی (وزارت نیرو) ۸۴
- برگزیده شدن به عنوان یکی از ۱۵ شرکت برتر و اولین شرکت در گروه مهندسی مشاور در جشنواره تامین کنندگان آب برق و آبفا ۱۳۸۴
- دریافت لوح تقدیر از ششمین همایش کیفیت و بهره وری در صنعت برق





نشریه فنی تخصصی قدس نیرو  
شماره ۱۴ - تابستان ۱۳۸۴

مدیر مسئول: مهندس احمد شکوری راد  
سر دبیر: مهندس فتانه دوستدار  
طراحی: واحد طراحی و تبلیغات

فهرست مطالب

- |    |  |
|----|--|
| ۲  | سرمقاله  |
|    | طراحی فونداسیون ماشین آلات ارتعاشی - مهندس   |
| ۳  | امین قلیزاده   |
| ۱۵ | بیوگاز - مهندس زیبا آیتی   |
| ۲۵ | استفاده از روش FMEA در ارزیابی و تحلیل ریسک حوادث در یک شرکت برق منطقه‌ای - مهندس شهرزاد خسروی                                     |
| ۳۸ | ارائه روشی نوین در آنالیز برخورد صاعقه به دکل در سیستمهای فوق توزیع ۳kV دومداره باسیم‌گارد - مهندس علی فرشیدنیا، مهندس پیمان نادری |
| ۴۶ | ایمن‌سازی ویندوز سرور 2003 - مهندس نجلا نجمی بررسی فرایند جوشکاری فولادهای غیرهمجنس و مشکلات آن - مهندس رسول محرومی                |
| ۵۰ |  |

این نشریه از طریق اینترنت قدس نیرو نیز در دسترس علاقمندان می‌باشد.  
ارتباط مستقیم با مقاله‌دهندگان از طریق آدرس Email یا فاکس آنان در انتهای هر مقاله امکان‌پذیر می‌باشد. نظرات و پیشنهادات و سوالات احتمالی خوانندگان گرامی از طریق اینترنت قدس نیرو قابل ارائه و انعکاس می‌باشد.

با تشکر از همکاری آقایان:

- مهندس احمد اهرابی
- مهندس حسین بختیاری‌زاده
- مهندس احمد فریدون درافشان
- مهندس علی شاه‌حسینی
- دکتر همایون صحیحی
- مهندس منصور قزوینی
- مسعود نجمی

از مدیر و همکاران محترم امور پشتیبانی سپاسگزاریم.

هیأت تحریریه:

مهندس پورنگ پاینده، مهندس حسن تفرشی، مهندس مسعود حبیب‌زاده، مهندس جواد خضرایی، مهندس فتانه دوستدار، مهندس محمد ابراهیم رئیسی، مهندس محمد حسن زرگر شوستری، مهندس محمود زواری، مهندس فرهاد شاهمنصوریان، مهرداد صارمی، دکتر همایون صحیحی، مهندس غلامرضا صفارپور، دکتر جعفر عسگری، مهندس امیرهمایون فتحی، مهندس وحید مرتضوی، مهندس محمدیحیی نصرالهی، مهندس محمدرضا نصرالهی، مهندس بهروز هنری.

از خوانندگان محترمی که مایل به ارسال مقاله برای نشریه می‌باشند تقاضا می‌شود موارد ذیل را رعایت فرمایند:

- موضوع مقاله در چارچوب اهداف نشریه و در ارتباط با صنعت آب و برق باشد.
- مقاله‌های تألیفی یا تحقیقی مستند به منابع علمی معتبر و مقاله‌های ترجمه شده منضم به تصویر اصل مقاله باشد.
- مقاله ارسالی بر روی یک کاغذ A4 و با خط خوانا و یا تایپ شده و شکل‌ها، عکس‌ها، نمودارها و جداول کاملًا واضح و قابل استفاده باشد.
- توضیحات و زیرنویس‌ها به صورت مسلسل شماره‌گذاری شده و در پایان هر مقاله ذکر شوند.
- نشریه در تلخیص، تکمیل، ادغام و ویرایش مطالب مقالات آزاد است.
- مقاله دارای چکیده، مقدمه، نتیجه‌گیری و لیست مراجع بوده به همراه رزومه مختصراً از صاحب مقاله ارائه گردد.
- مقاله ارسالی قبلًا در نشریه دیگری چاپ نشده باشد.

## سرمقاله

### بنام خدا

سالهاست روند جهانی شدن تولید و صنعت در سطح بین‌المللی و در کشور ما مطرح است و از چندی پیش نیز که امکان پیوستن کشور ما به این روند جدی‌تر شده، نظرات موافق و مخالف بسیار مطرح گردیده است.

آنچه مسلم است این روند ادامه خواهد یافت و دیر یا زود ما نیز بایستی به تجارت جهانی پیوسته و در این بازار با رقبای پرقدرتی مقابله و رقابت نمائیم. در چنین شرایطی مسلماً بسیاری از شرکت‌های داخلی اعم از تولیدکننده یا خدمات‌رسانی تاب مقاومت نیاورده و کنار خواهند رفت. چنانچه بخواهیم در صحنه باقی بمانیم باید تا فرصت باقی است و تا در توان ما هست در جهت بهبود روش‌های تولید و ارتقاء کیفیت محصولات و خدمات خود بکوشیم.

جدا از آنکه بایستی زمینه‌های اصلی برای تولید در سطح جهانی توسط دولت فراهم گردد، هر شرکتی نیز باید در درون خود اقداماتی را در این زمینه انجام دهد. در این راستا باید مدیریت شرکت و کلیه مدیران و همکاران شرکت در جهت نیل به این هدف آگاه باشند و بدانند در جهت دستیابی به تولید در کلاس جهانی چگونه باید حرکت نمایند.

باید توجه داشت که زمان روش‌های سنتی ناکارآمد و غیر اثربخش گذشته و رویکردی جدید در سیاستهای شرکت‌ها ضروریست. شرکت قدس‌نیرو با اشراف به این مهم ضمن استقرار مدیریت کیفیت جامع و بهره‌وری از مدل‌های تعالی سازمانی در جهت ارزیابی تمامی حرکت‌های شرکت، سیاست‌گذاری‌های خود را بر این اهداف استوار نموده است.

خصوصی‌شدن شرکت قدس‌نیرو و افزایش انعطاف‌پذیری این امکان را فراهم می‌کند تا در جهت دستیابی به این اهداف سریع‌تر و مطمئن‌تر حرکت نماید.

## طراحی فونداسیون ماشین آلات ارتعاشی

امین قلیزاده

کارشناس ارشد سازه - مدیریت مهندسی نیروگاههای گازی (۲)

چکیده:

در طراحی فونداسیون ماشین آلات ارتعاشی به لحاظ ماهیت دینامیکی بارهایی که در قسمت عمدات از عمر مجموعه و به دلیل عملکرد ماشین بر روی فونداسیون اعمال می‌شوند، لازم است مسائل خاصی مدنظر قرار گیرد.

با توجه به اینکه در نیروگاهها نیز فونداسیون توربین و ژنراتور در گروه فونداسیون ماشین‌آلات ارتعاشی قرار گرفته و لازم است معیارهای خاص این نوع از فونداسیونها در طراحی آن مدنظر قرار گیرد مناسب است در اینجا مروری بر روش‌های تحلیل و ضوابط آئین‌نامه‌ای طراحی این نوع فونداسیونها داشته باشیم.

مقدمة:

کار کرد آن از جمله پارامترهای مهم در طراحی فونداسیون ماشین آلات ارتعاشی می باشد، لازم است مقدار فرکانس طبیعی ارتعاش مجموعه ماشین - فونداسیون - خاک، تعیین شده و جهت اجتناب از پدیده تشدید، در فاصله مناسبی از فرکانس، کار کرد ماشین قرار گیرد.

ماشین‌آلات ارتعاشی از نظر نوع بار دینامیکی که به فونداسیون اعمال می‌کنند به سه دسته اصلی تقسیم می‌شوند:

## ۱- ماشین‌آلات رفت و بی‌گشتی<sup>۱</sup>

ماشین‌آلاتی مانند کمپرسورها می‌باشند که نیروی جانبی متناوبی معمولاً با سرعت عملکرد کمتر از ۶۰۰ دور در دقیقه اعمال می‌کنند. در تحلیل فونداسیون این ماشین‌آلات بصورت یک نیروی هارمونیک (سینوسی) در نظر گرفته می‌شود و نمونه آنها ماشین‌آلات بسته به می‌باشد.

طراحی فونداسیون ماشین آلات ارتعاشی از اهمیت ویژه‌ای در رشته مهندسی پی برخوردار می‌باشد. این نوع فونداسیونها علاوه بر بارهای ثقلی ناشی از وزن ماشین آلات و فونداسیون که ماهیت استاتیکی دارند، حامل بارهایی با ماهیت دینامیکی می‌باشند. چون وزن فونداسیون معمولاً حدود سه برابر وزن ماشین است، لذا دامنه بارهای دینامیکی ناشی از حرکت قسمتهای مختلف ماشین در مقایسه با بارهای استاتیکی کوچک می‌باشد و با توجه به اینکه در بارگذاری فونداسیونهای ماشین آلات ارتعاشی یک بار دینامیکی کوچک در مدتی طولانی و با فرکانس نسبتاً بالا تکرار می‌شود، لازم است طراحی بگونه‌ای انجام گیرد که خاک زیر فونداسیون رفتاری ارتجاعی از خود نشان دهد زیرا در غیر اینصورت میزان تغییر شکل خاک در هر سیکل بارگذاری افزایش خواهد یافت. علاوه بر اینکه ماکریم دامنه جابجایی ماشین در فرکانس

- از ایجاد پدیده تشدید جلوگیری شود، بدین معنی که فرکانس طبیعی مجموعه ماشین - فونداسیون - خاک، خارج از ناحیه تشدید (که در حاشیه مشخصی از فرکانس کارکرد ماشین تعریف می‌شود) قرار گیرد.

- لازم است دامنه جابجایی مجموعه در فرکانس کارکرد ماشین، کمتر از ماکزیمم مقدار مجاز آن باشد که معمولاً توسط سازنده تجهیزات تعیین می‌گردد. حتی در صورتی که دامنه جابجایی دینامیکی محاسبه شده کمتر از حد مجاز تعیین شده باشد باز هم ضروری خواهد بود که در حاشیه اطمینان مناسبی از بروز پدیده تشدید قرار داشته باشیم.

- باید توجه نمود که ارتعاش دستگاه موجب آزار افراد شاغل در کارگاه و یا باعث مزاحمت و خطا برای دیگر تجهیزات حساس نصب شده در کارگاه نگردد. تعیین اینکه ارتعاشات در محدوده قابل احساس، آزاردهنده و یا خطرناک قرار گرفته‌اند با توجه به فرکانس ارتعاشات و دامنه جابجایی مشخص می‌شود. نمودار تهیه شده توسط Richart (1962) محدوده‌های یاد شده را برای فرکانس‌های ارتعاشی و دامنه جابجایی‌های مختلف تعیین می‌نماید.

## ۲- روش‌های تحلیل

معمولًا از دو روش اصلی برای تحلیل فونداسیون ماشین‌آلات ارتعاشی استفاده شده‌است:

- ۱- روش مبتنی بر مدل نمودن سختی خاک با استفاده از فنرهای ارجاعی خطی
- ۲- روش مبتنی بر تئوری الاستیسیته خطی (نیم فضای ارجاعی)\*

- 
- 1- Impact Machines.
  - 2- Rotary Machines.
  - 3- Box or Caisson Type.
  - 4- Elastic Half Space.

## ۲- ماشین‌آلات ضربه‌ای<sup>۱</sup>

این گروه شامل ماشین‌آلاتی مانند دستگاه پرس می‌باشد که بارهای ضربه‌ای اعمال می‌کنند و سرعت کارکرد آنها معمولاً بین ۶۰ تا ۱۵۰ ضربه در دقیقه می‌باشد. بار دینامیکی ناشی از آنها در یک بازه زمانی بسیار کوتاه به مقدار ماکزیمم رسیده و بلافضله از بین می‌رود.

## ۳- ماشین‌آلات چرخشی<sup>۲</sup>

این گروه شامل ماشین‌آلاتی با سرعت بالا مانند توربوزناتورها و یا کمپرسورهای چرخشی می‌باشد که ممکن است سرعتی بیشتر از ۳۰۰۰ دور در دقیقه و تا ۱۰۰۰۰ دور در دقیقه داشته باشند.

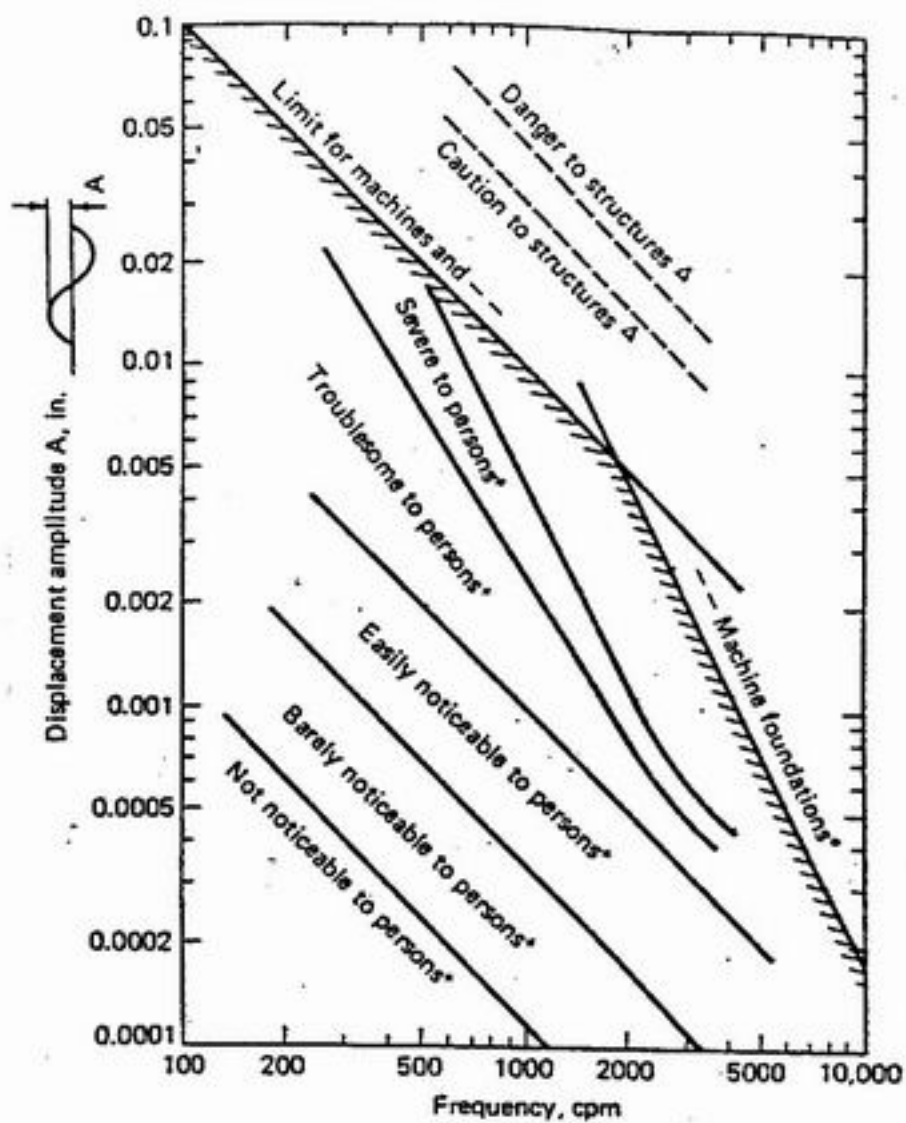
شكل مناسب برای فونداسیون ماشین‌آلات ارتعاشی بستگی به نوع ماشینی دارد که بر روی آن نصب خواهد شد و متداولترین نوع آن فونداسیون بلوکی می‌باشد که دارای جرم نسبتاً بالایی بوده و در نتیجه فرکانس طبیعی کمتری برای ارتعاش مجموعه ماشین و فونداسیون ایجاد خواهد شد. در صورتی که لازم باشد وزن فونداسیون کاهش داده شود از فونداسیونهای صندوقی<sup>۳</sup> استفاده می‌شود که به دلیل وزن کمتر، فرکانس طبیعی بالاتری برای مجموعه ماشین و فونداسیون ایجاد خواهد شد.

## ۱- معیارهای طراحی فونداسیون ماشین‌آلات

### ارتعاشی

در طراحی فونداسیون برای ماشین‌آلات ارتعاشی لازم است شرایط زیر تأمین شده باشند:

- مانند همه فونداسیونهای دیگر لازم است تحت اثر بارهای استاتیکی در حاشیه اطمینان مناسبی از گسیختگی برخی خاک قرار داشته و میزان نشست فونداسیون نیز به حد مجاز آن محدود شود.
- تحت اثر بارهای دینامیکی نیز لازم است:



شکل (۱) : تعیین حد مجاز دامنه ارتعاش فونداسیون ماشین‌آلات در فرکانس‌های مختلف

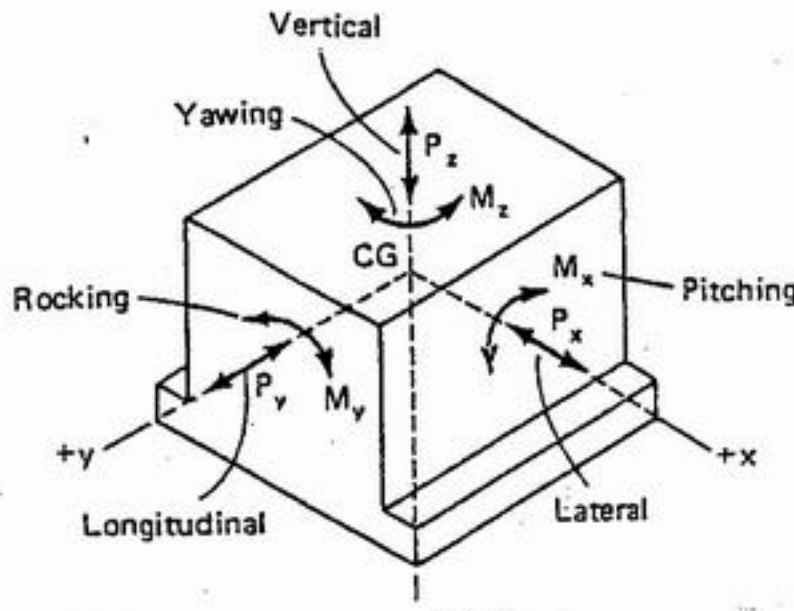
حاصل می‌گردد و در عین حال پیچیده‌تر است. با این وجود برای حالت‌های ساده تکنیک‌هایی ارائه شده است که حل مسأله را تا حد قابل قبولی در عمل ساده می‌کند. اگر چه وارد کردن پارامترهایی نظیر عمق فونداسیون در خاک، میزان دستخوردگی خاک در حین خاکبرداری و جرم افزوده خاکی که در ارتعاش مشارکت دارد و همچنین رفتار غیرخطی خاک سبب پیچیدگی بیشتر مسأله می‌شوند.

### ۳- درجات آزادی فونداسیون بلوکی

یک فونداسیون بلوکی در مقایسه با خاکی که فونداسیون بر روی آن قرار گرفته است صلب تلقی می‌شود. بنابراین چنین نتیجه می‌شود که یک فونداسیون بلوکی در اثر بارهای واردہ تنها تحت تأثیر جابجایی‌های صلب بشرح ذیل قرار گرفته و هرگونه جابجایی در فونداسیون بلوکی را می‌توان ترکیبی از شش مؤلفه زیر دانست:

در روش اول اثر سختی خاک زیر فونداسیون توسط یک فنر خطی با شش درجه آزادی مدلسازی می‌شود. میرایی خاک را نیز می‌توان با یک مقدار پیش فرض معرفی نموده و وارد مسأله نمود. هر چند میرایی اثر محسوسی بر روی فرکانس تشدید سیستم نخواهد داشت ولی تأثیر قابل توجهی بر روی دامنه ارتعاش مجموعه در حالت تشدید دارد ولی از آنجایی که مجموعه در حاشیه اطمینان مناسبی از محدوده تشدید طراحی می‌شود لذا اثر میرایی بر روی دامنه ارتعاش محاسبه شده در فرکانس عملکرد ماشین کمتر از اثر آن در حالت تشدید خواهد بود و در اینصورت صرفنظر کردن از میرایی می‌تواند منجر به نتایج محافظه‌کارانه‌تری شود.

بدیهی است که استفاده از روش مبتنی بر تئوری الاستیسیته منطقی‌تر بوده و نتایج دقیق‌تری



شکل (۲) : درجات آزادی فونداسیون ملوکی

خاک براساس روشهای مختلف ارائه شده و  
برمبنای یک پارامتر فرکانس بدون بعد  $a_0$  تهیه  
نمودند و در نهایت بهترین درونیابی از مجموعه  
نمودارهای رسم شده را ارائه کردند.  
پارامتر فرکانس بدون بعد  $a_0$  برای یک فونداسیون  
گرد بصورت رابطه (۱) تعریف می‌شود:

$$a_0 = \frac{\omega \gamma_0}{V_s} = \omega \gamma_0 \sqrt{\frac{\rho}{G'}} \quad (1)$$

که  $V_s = \sqrt{\frac{G'}{\rho}}$  سرعت موج برشی در خاک و  $\rho$  دانسیته خاک و  $G'$  مدول برشی آن می‌باشند. مقدار پارامتر  $a_0$  برای فونداسیونهای مستطیلی بصورت ابطه (۲) محاسبه می‌شود:

$$a_0 = \frac{\omega B}{V} \quad (1)$$

- 1- Vertical Displacement
  - 2- Lateral Displacement.
  - 3- Longitudinal Displacement.
  - 4- Yawing.
  - 5- Pitching.
  - 6- Rocking.

- ۱- جابجایی در امتداد محور Z (حرکت قائم)<sup>۱</sup>
  - ۲- جابجایی در امتداد محور X (حرکت جانبی)<sup>۲</sup>
  - ۳- جابجایی در امتداد محور Y (حرکت طولی)<sup>۳</sup>
  - ۴- چرخش حول محور Z (حرکت چرخشی)<sup>۴</sup>
  - ۵- چرخش حول محور X (حرکت تلاطمی)<sup>۵</sup>
  - ۶- چرخش حول محور Y (حرکت گهواره‌ای)<sup>۶</sup>

بنابراین فونداسیون بلوکی صلب دارای شش درجه آزادی و در نتیجه شش مود ارتعاشی و فرکانس طبیعی نظیر خواهد بود که معادله دیفرانسیل دینامیکی نظیر هر یک از این درجات آزادی بصورت مستقل نوشته می‌شود.

#### ۴- تعیین ضرایب سختی خاک

برای محاسبه ضرایب سختی دینامیکی و میرایی خاک روشهای ارائه گردیده است که مرجع متداول برای این منظور روش ارائه شده توسط بارکان (Barkan 1962) می باشد. مراجع دیگری نیز توسط ریچارد و همکارانش (Richardt et al 1970) و Novak (1972) برای این منظور ارائه گردیده است.

دوبیری و گزتاس (1986) مطالعه فراگیری را بر روی مقالات فنی و روش‌های ارائه شده برای این منظور انجام داده و نمودارهایی را برای محاسبه مقادیر سختی دینامیکی و می‌این

ضریب میرایی هیسترزیس  $\beta_d$  معمولاً در محدوده ۰٪ تا ۵٪ قرار دارد.

### ۵- اطلاعات مورد نیاز در طراحی فونداسیون ماشین آلات ارتعاشی

۱- در طراحی فونداسیون ماشین آلات ارتعاشی لازم است اطلاعات زیر توسط سازنده دستگاه در اختیار طراح فونداسیون قرار گیرد:

- (الف) دیاگرام بارگذاری شامل محل اعمال بارها در پلان و همچنین تراز نقطه اثر بارها
- (ب) فاصله محور دور اصلی ماشین از تراز فوقانی فونداسیون

(ج) سرعت یا فرکانس عملکرد ماشین  
(د) دامنه نیروی متناوب ناشی از عملکرد ماشین

۲- لازم است مشخصات استاتیکی و دینامیکی خاک زیر فونداسیون شامل تنش مجاز خاک و مدول الاستیسیته و سرعت انتقال موج برشی در خاک تا عمق مناسب ارزیابی و در اختیار مهندس طراح قرار گیرد.

### ۶- ارتعاش قائم و جانبی فونداسیون بلوکی

معادله حرکت دینامیکی برای ارتعاش فونداسیون بلوکی تحت اثر بار هارمونیک قائم بصورت زیر نوشته می شود:

$$M\ddot{Z} + K_z Z = P_0 \sin \omega t \quad (8)$$

فرکانس طبیعی ارتعاش چنین سیستمی

$$\omega_{nz} = \sqrt{\frac{K_z}{M}} \quad \text{و دامنه ارتعاش آن}$$

$$A_z = \frac{P_0}{M(\omega_{nz}^2 - \omega^2)} \quad \text{می باشد و اثر میرایی}$$

جزئی بر روی فرکانس طبیعی چنین سیستمی قابل اغماض می باشد. معادلات ارتعاش فونداسیون بلوکی تحت اثر بارهای هارمونیک جانبی و طولی نیز مشابه روابط فوق می باشند.

که ۶) فرکانس کارکرد ماشین و B عرض فونداسیون می باشد.

۷) ضریب بدون بعد دیگری که در این روش مورد استفاده قرار می گیرد بصورت رابطه (۳) تعریف می شود:

$$J_d = \frac{Area}{4L^2} \quad (3)$$

که L نشاندهنده طول فونداسیون و Area مساحت سطح تماس آن با خاک می باشد.  
با استفاده از ضرایب بدون بعد معرفی شده می توان ضرایب سختی استاتیکی  $K_i$  فنر در درجات آزادی مختلف و ضرایب میرایی  $C_i$  متناظر را از روابط ارائه شده در جداول (۱) و (۲) بدست آورده و از ضرب مقادیر بدست آمده در ضرایب  $\eta_i$  و  $\lambda_i$  متناظر که از نمودار (۱) و جدول (۳) بدست می آیند مقادیر ضرایب سختی دینامیکی  $\bar{K}_i$  و ضرایب میرایی  $\bar{C}_i$  اصلاح شده متناظر را در حالت دینامیکی به دست آورده:

$$\bar{K}_i = \eta_i K_i \quad (4)$$

$$\bar{C}_i = \lambda_i C_i \quad (5)$$

ضریب سختی دینامیکی  $\bar{K}_i$  و ضریب میرایی  $\bar{C}_i$  برای خاک با رفتار کاملاً الاستیک و بدون در نظر گرفتن میرایی مصالح تعریف و برآورد شده اند.  
در حالیکه نتایج تجربی، گواه بر آن است که حتی در دامنه کرنشهای بسیار کوچک، خاک میرایی هیسترزیس از خود نشان می دهد که با ضریب میرایی مستقل از فرکانس  $\beta_d$  توسط Lysmer Dobry & Gazetas ارائه گردیده است و از آن برای تعديل کردن ضرایب سختی دینامیکی و ضرایب میرایی استفاده نموده اند:

$$K_i = \bar{K}_i - \omega \bar{C}_i \beta_d \quad (6)$$

$$C_i = \bar{C}_i + \frac{2\bar{K}_i \beta_d}{\omega} \quad (7)$$

For rectangular bases	Round base	Strip
<i>Vertical mode</i>		
$K_x = S_x \frac{2LG'}{1-\mu}$	$K_x = \frac{4G'B}{1-\mu}$	$K_x = \frac{0.8G'(2L)}{1-\mu}$
<i>Horizontal mode</i>		
Parallel to Y axis		
$K_y = S_y \frac{2LG'}{2-\mu}$	$K_y = \frac{8G'B}{2-\mu}$	$K_y = \frac{2.24G'(2L)}{2-\mu}$
Parallel to X axis		
$K_x = K_y - \frac{0.21LG}{0.75-\mu} (1-B/L)$	$K_x = K_y$ $(\eta_x = 1 \text{ for } K_x \text{ so } K_x = K_y)$	
<i>Rocking mode</i>		
About X axis		
$K_{ex} = S_{ex} \frac{G'}{1-\mu} (J_{ex})^{0.75} \left(\frac{B}{L}\right)^{-1/4}$	$K_{ex} = \frac{8G'B^3}{3(1-\mu)}$	$K_{ex} = \frac{\pi(2L)G'B^2}{2-2\mu} \left\{ 1 + \left( \frac{\ln(3-4\mu)}{\pi} \right)^2 \right\}$
About Y axis		
$K_{ey} = S_{ey} \frac{G'}{1-\mu} (J_{ey})^{0.75}$	$K_{ey} = K_{ex}$	
<i>Torsion mode</i>		
$K_t = S_t G' (J)^{0.75}$	$K_t = \frac{16G'B^3}{3}$	

جدول (١)

Mode	Applicable
Vertical:	$J_a \leq 0.02$
	$S_x = 0.8$
	$S_x = 0.73 + 1.54(J_a)^{0.75}$
	$J_a > 0.02$
Horizontal:	$J_a \leq 0.16$
	$S_y = 2.24$
	$S_y = 4.5(J_a)^{0.38}$
	$J_a > 0.16$
Rocking:	$B/L \leq 0.4$
	$S_{ex} = 2.54$
	$S_{ex} = 3.2(B/L)^{1/4}$
	$B/L > 0.4$
	$S_{ey} = 3.2$
	All $B/L$
Torsion:	All $B/L$
	$S_t = 3.8 + 10.7(1-B/L)^{10}$

$J_a = \text{area}/(4L)^2$  where  $2L = \text{length of base}$ ; Area =  $2B \times 2L$  for solid rectangle.

جدول (٢)

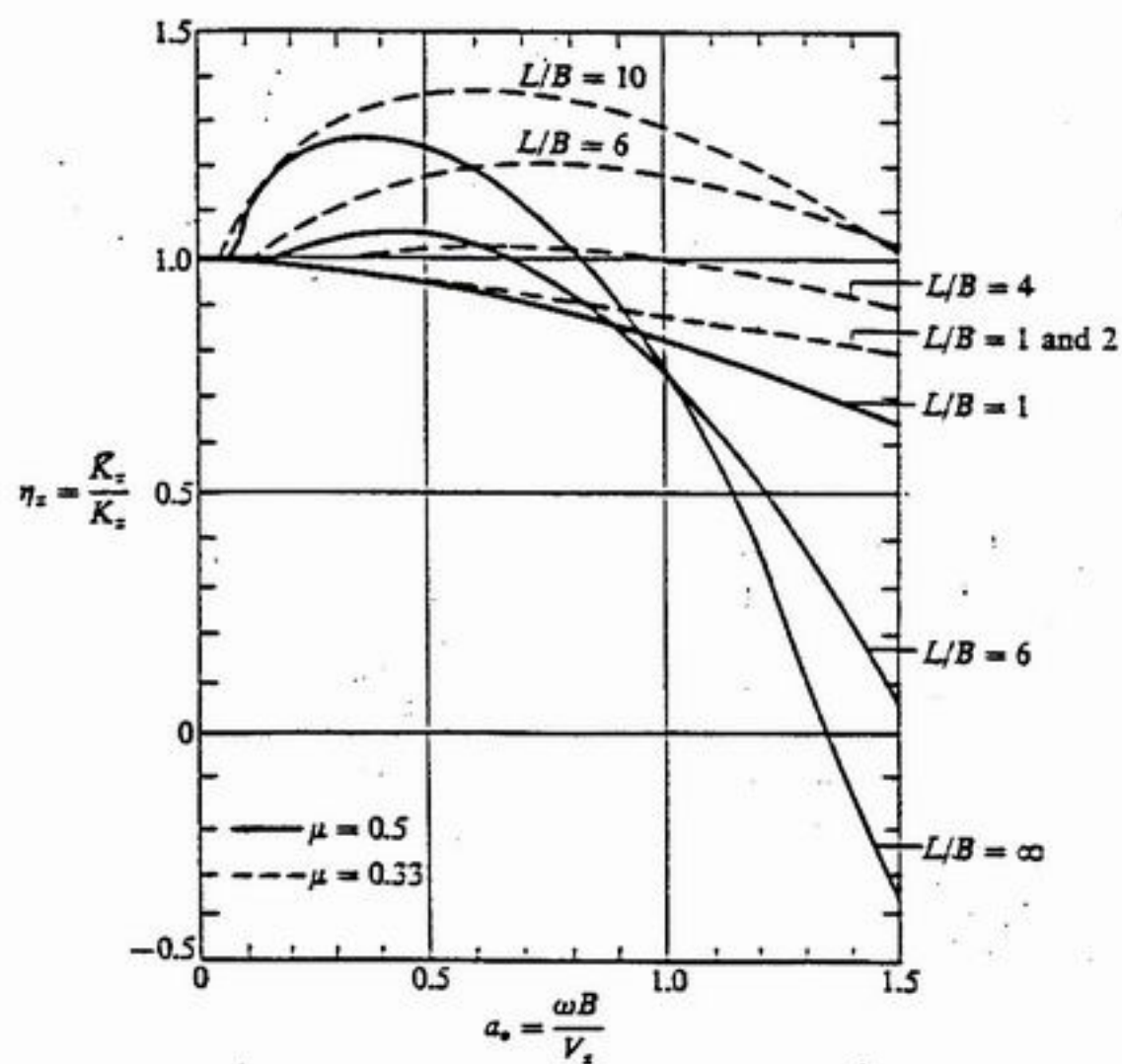
For vertical damping in range of  $0 \leq a_s \leq 1.5$

$$\lambda_z = \frac{c_z}{\rho V_{L4} A} = X_1 + (a_s R) X_2 + (a_s R)^2 X_3 + X_4 \exp(-a_s R)$$

$L/B = R$	$X_1$	$X_2$	$X_3$	$X_4$	
1	0.9716	-0.0500	0.0520	-0.0660	
2	1.2080	-0.1640	0.0385	-0.2515	$V_{L4} = \frac{3.4}{\pi(1-\mu)} V_z$
4	1.0900	-0.0025	0.0012	0.0000	$A = \text{actual base area}$
6	1.2285	-0.0359	0.0024	0.1515	
10	1.3112	-0.0285	0.0011	0.4388	

For  $R > 10$  use  $\lambda_z = \lambda_{z(10)}(1 + 0.001R)$       For  $a_s > 1.5$  use  $c_z = \rho V_{L4} A$

جدول (٣)



نمودار (١)

$$A = \frac{M_0 a}{2M_{mo}(\omega_{n\phi}^2 - \omega^2)} \quad (12)$$

که  $a$  نشان‌دهنده عرض فونداسیون می‌باشد. معادلات ارتعاش فونداسیون تحت اثر لنگر هارمونیک پیچشی نیز مشابه روابط فوق می‌باشد.

#### ۸- عایق‌بندی ارتعاشی و فیلتر کردن امواج<sup>۱</sup>

ارتعاش مفرط فونداسیون یک ماشین ممکن است بر روی کارایی دستگاه اثر نامطلوب داشته و همچنین کارایی تجهیزات و اینیه مجاور در اثر امواج منتقل شده تحت الشعاع قرار گیرد. بنابراین در بسیاری از موارد ممکن است ناچار به کاهش دامنه ارتعاش فونداسیونها و ساختمانهای مجاور و احتمال بروز خسارت در آنها باشیم که این امر به

دو روش عملی می‌باشد:

#### ۱-۸- عایق‌بندی ارتعاشی

ایزولاتورها یا عایق‌های ارتعاشی به منظور کاهش دامنه ارتعاش تجهیزات مورد استفاده قرار می‌گیرند. در صورتی که طراحی فونداسیونی که دامنه ارتعاش تجهیزات را در حد قابل قبول محدود نماید عملی نبوده و یا انتقال ارتعاشات خارجی به تجهیزات عملکرد آنها را تحت الشعاع قرار دهد ممکن است استفاده از ایزولاتورهای ارتعاشی مورد نیاز باشد که این ایزولاتورها ممکن است در عمل شامل اعضای سازه‌ای مانند فنرهای فولادی و یا لاستیک سخت و نئوپرن باشند که برای تأمین منظور فوق طراحی شده و در هنگام نصب تجهیزات بکار می‌روند. این ایزولاتورها با نامهای تجاری مختلف موجود می‌باشند. برای تأمین این منظور ممکن است از بهسازی خاک زیر فونداسیون نیز استفاده شود.

- 
- 1- Vibration Isolation.
  - 2- Screening of Waves.

#### ۷- ارتعاش گهواره‌ای فونداسیون بلوکی

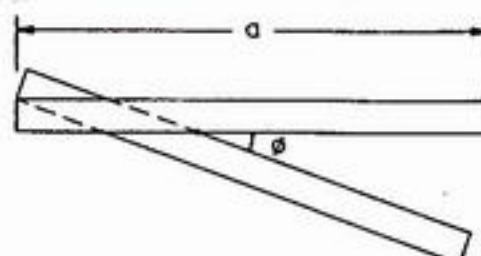
در عمل همواره حرکت گهواره‌ای فونداسیون تحت اثر لنگر واژگونی ناشی از بارهای جانبی صورت گرفته و با جابجایی جانبی توأم می‌باشد. در اینجا برای سادگی فرض می‌شود که مقاومت لغزشی فونداسیون بحدی زیاد است که حرکت جانبی آن قابل اغماس می‌باشد و در اینصورت جابجایی فونداسیون را می‌توان تنها با یک متغیر مستقل  $\phi$  مشخص نمود. معادله دیفرانسیل ارتعاش فونداسیون بلوکی تحت اثر لنگر هارمونیک واژگون‌کننده  $M_y = M_0 \sin \omega t$  بصورت زیر نوشته می‌شود:

$$M_{mo} \ddot{\phi} + K_\phi \phi = M_0 \sin \omega t + WL \phi \quad (9)$$

که  $M_{mo}$  ممان اینرسی مجموعه ماشین و فونداسیون حول محور دوران و  $\phi$  شتاب زاویه‌ای فونداسیون بوده و  $W$  وزن مجموعه و  $L$  فاصله قائم مرکز جرم مجموعه از محور دوران می‌باشد. فرکانس طبیعی ارتعاش و ماکزیمم زاویه دوران چنین سیستمی بصورت زیر خواهد بود:

$$W_{n\phi} = \sqrt{\frac{K_\phi - WL}{M_{mo}}} \quad (10)$$

$$A_\phi = \frac{M_0}{M_{mo}(\omega_{n\phi}^2 - \omega^2)} \quad (11)$$



با توجه به اینکه در عمل  $K_\phi$  بسیار بزرگتر از  $WL$  می‌باشد می‌توان نوشت:

$$\omega_{n\phi} \approx \sqrt{\frac{K_\phi}{M_{mo}}} \quad (12)$$

داشته است. با توجه به آزمایشات انجام شده برای کانالهایی که شعاع  $R$  آنها در محدوده  $0.22\lambda_R$  تا  $0.91\lambda_R$  است که  $\lambda_R$  طول موج ایجاد شده می‌باشد) نتایج زیر بدست آمده است:

برای کانالهای بسته ( $\theta = 360^\circ$ ):

الف) حداقل عمق لازم برای کanal حفر شده جهت تأمین ضریب کاهش دامنه ارتعاش کمتر از  $0/25$  برابر با  $H = 0.6\lambda_R$  می‌باشد.

ب) ناحیه حفاظت شده بوسیله یک کanal کاملاً بسته تاشع  $10\lambda_R$  از منبع مولد ارتعاشات می‌باشد. برای کانالهای باز ( $\theta < 360^\circ$ ):

الف) حداقل عمق لازم برای کanal حفر شده جهت تأمین ضریب کاهش دامنه ارتعاش کمتر از  $0/25$  برابر با  $H = 0.6\lambda_R$  می‌باشد.

ب) ناحیه حفاظت شده قطاعی به شعاع  $10\lambda_R$  و به مرکز منبع مولد ارتعاشات می‌باشد که از طرفین به خطوط شعاعی محدود شده و منبع را به نقاطی بر روی کanal وصل می‌کنند که از دو انتهای آن  $45^\circ$  فاصله دارند. لذا کانالهای شعاعی باز با طول کمان کمتر از  $90^\circ = \theta$  ناحیه عایقبندی مناسبی را تأمین نمی‌نمایند.

ج) حفر چنین کanal عایقبندی، انرژی ارتعاشی منتقل شده از طرف بار کanal را تشدید می‌نماید. برای کانالهای مستقیم دور از منبع مولد ارتعاشات که ناحیه ایزوله شده‌ای به شکل نیم‌دایره و به قطر طول کanal و به مرکز وسط کanal ایجاد می‌کنند حداقل عمق لازم برای کanal  $1.33\lambda_R$  می‌باشد. چنین کانالهایی در صورتی که در فاصله  $2\lambda_R$  تا  $7\lambda_R$  از منبع مولد ارتعاش قرار گرفته باشند کارایی مناسبی خواهند داشت.

1- Active Isolation.

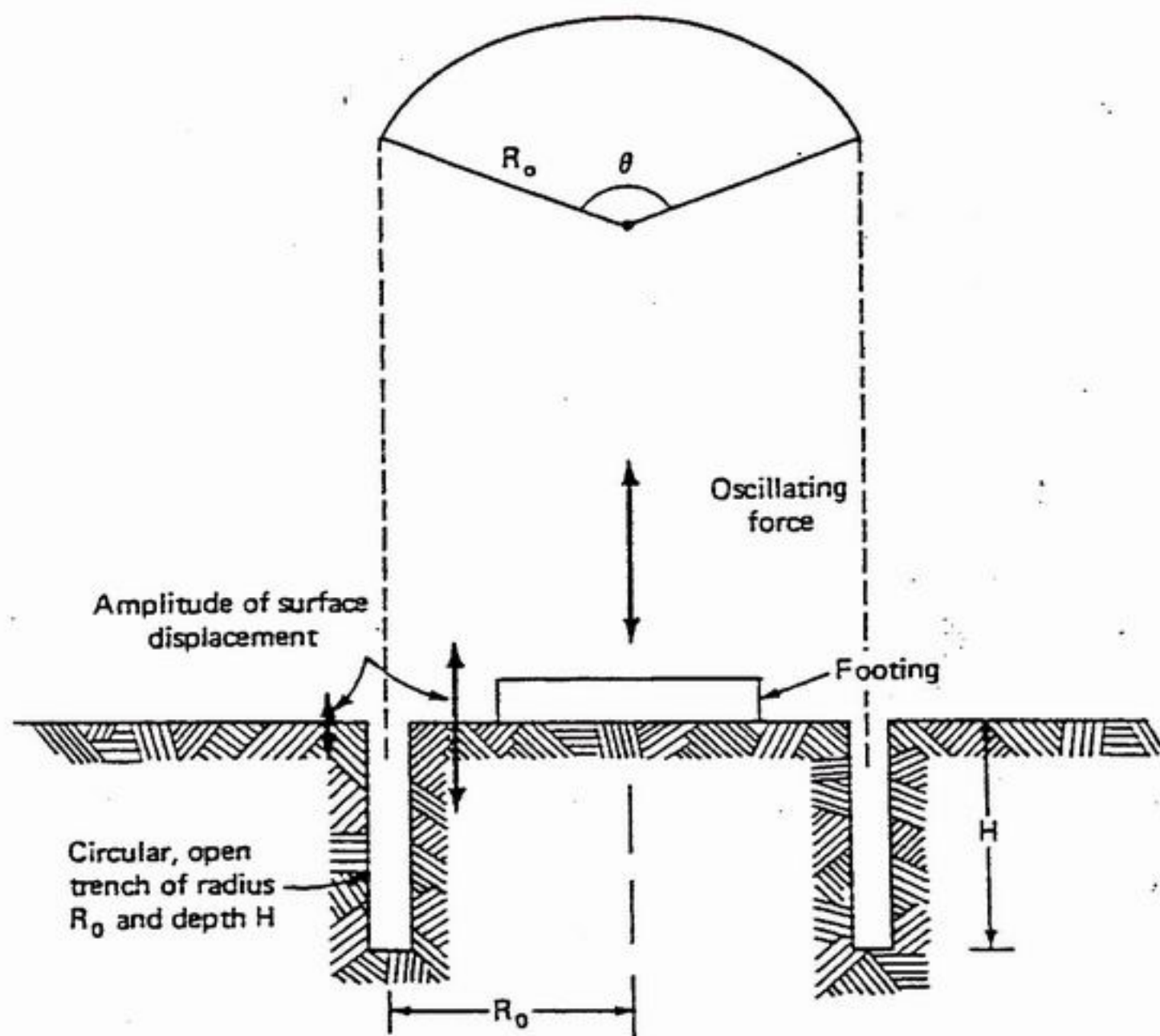
2- Passive Isolation.

3- Screening at a distance.

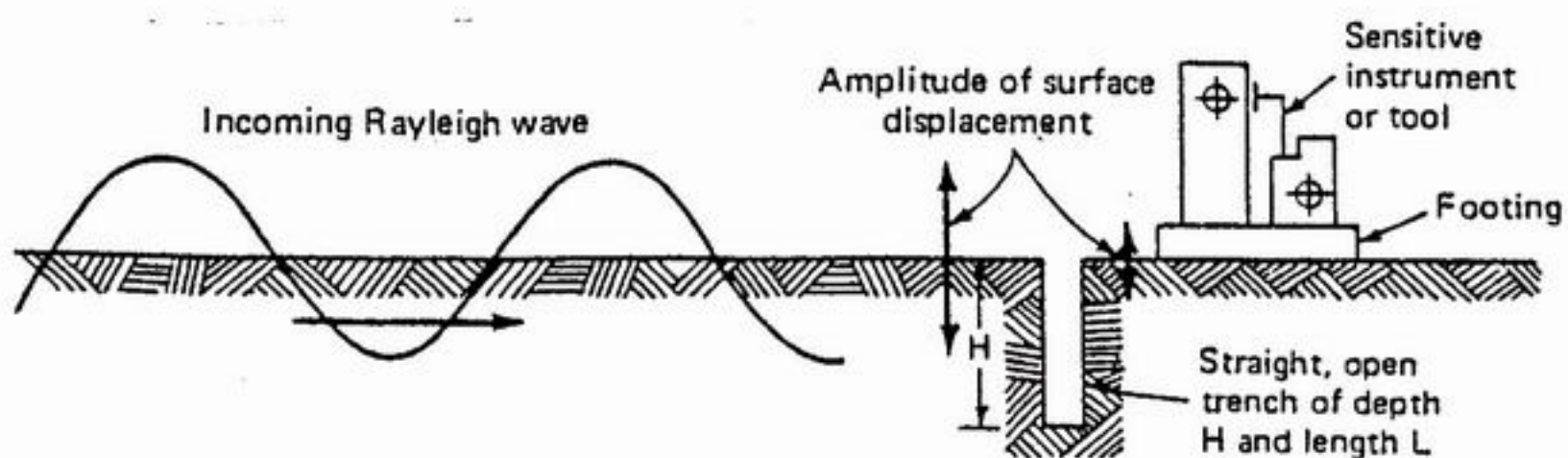
در هر حال کارایی تکنیک بکار رفته باید با استفاده از مدلسازی و تحلیل سیستم به اثبات رسیده باشد. نحوه محاسبه سختی مورد نیاز برای ایزولاتورهای ارتعاشی در کتابهای دینامیک سازه ارائه گردیده است.

## ۲-۸- فیلتر کردن امواج

فیلتر کردن امواج با استفاده از کانالهای محیطی حفر شده در دور فونداسیون توسط ریچاردوهال و وود (Ricahrt & Hall & Wood 1970) پیشنهاد گردید که به دو روش مختلف قابل اعمال می‌باشد: ایزولاسیون فعال<sup>۱</sup> که در آن منبع مولد ارتعاشات با استفاده از یک کanal بسته که محیط آن را احاطه نموده است عایقبندی می‌شود (به شکل ۳ مراجعه شود). در روش دیگر که به ایزولاسیون انفعالی<sup>۲</sup> موسوم است (شکل ۴)، از کانالهای مذکور در محلی دور از منبع مولد ارتعاشات و در مجاورت فونداسیونی که هدف کاهش انتقال ارتعاشات به آن است استفاده می‌شود.<sup>۳</sup> برای بررسی کارایی روش‌های مذکور آزمایشاتی صورت گرفته است (Wood 1969) بدین معنی که یک منبع مولد ارتعاش در مرکز زمین مورد مطالعه تعبیه گردیده و دامنه ارتعاش قائم زمین در نقاطی با فواصل مختلف از منبع مولد ارتعاش و در حالت‌های مختلف (قبل از حفر کanal عایقبندی و بعد از حفر آن) اندازه‌گیری شده و ضریب کاهش دامنه ارتعاش (که نسبت دامنه ارتعاش قائم زمین در هر نقطه بعد از حفر کanal به دامنه ارتعاش قائم زمین در همان نقطه قبل از حفر کanal می‌باشد) بعنوان یک معیار کمی برای برآورد میزان کارایی سپر ایجاد شده تلقی می‌شود. چنانچه مقدار ضریب مذکور کمتر از  $0/25$  باشد بدین معنی است که کanal حفر شده در فیلتر کردن امواج تولید شده کارایی مناسبی



شکل (۳) : عایق‌بندی ارتعاشی با استفاده از کانال‌های حول منبع مولد ارتعاشات



شکل (۴) : عایق‌بندی ارتعاشی با استفاده از کanal مستقیم در مجاورت فونداسیون تجهیزات حساس

ماشین‌آلات ضربه‌ای کمتر از ربع مقاومت مجاز خاک باشد.

- ضخامت فونداسیون متناسب با طول انکربولتها و حداقل برابر با بزرگترین مقادیر زیر منظور می‌گردد:

L/10  
L/30+ 0.6 meter

- طول فونداسیون بر حسب متر می باشد.
- ضریب اطمینان در برابر واژگونی ضمن اعمال ضریب بزرگنمایی ۲ برای نیروهای حاصل از اتصال کوتاه<sup>۱</sup> حداقل برابر ۳ می باشد.
- وزن فونداسیون باید حداقل سه برابر وزن ماشین آلات باشد.

- برای اجتناب از بروز پدیده تشدید فرکانس طبیعی ارتعاش مجموعه ماشین‌آلات - فونداسیون
- خاک نباید در محدوده  $0.1/2$  تا  $1/2$  برابر فرکانس کار کرد ماشین‌آلات باشد.

- عرض فونداسیون نباید کمتر از  $1/5$  برابر فاصله قائم محور اصلی ماشین از روی فونداسیون نباشد.
- حجم آرماتور بندهای بکار رفته در فونداسیون، برای اجتناب از شکست کمتر از  $50$  کیلوگرم در هر متر مکعب نباشد.

۱۰- نتیجہ گیری

طراحی فونداسیون ماشین‌آلات ارتعاشی از جمله مواردی است که در مهندسی سازه‌های صنعتی به کرات با آن برخورد می‌نماییم و از جمله آنها فونداسیون توربین و ژنراتور در صنعت ساخت نیروگاه‌هاست که در زمرة فونداسیون ماشین‌آلات دورانی به شمار می‌رود. در این متن تلاش شده‌است ضمن گردآوری ضوابط ارائه شده در

همانطور که مشاهده می شود ابعاد کانالها تابع طول موج امواج رایلی (Rayleigh) می باشد که خود تابع فرکانس ارتعاشی دستگاه و پارامترهای خاک (مخصوصاً سرعت موج پرشی در خاک) خواهد بود:

$$\lambda_R = \frac{\omega}{V_p} \quad (14)$$

## سعت انتشار امواج را یکی:

$$V_R = \begin{cases} 0.9553V_s & \text{for } V = 0.5 \\ 0.9194V_s & \text{for } V = 0.25 \end{cases} \quad (1\Delta)$$

## ۹- ضوابط آئین نامه برای طراحی فونداسیون

طراحی فونداسیون ماشین‌آلات ارتعاشی بر مبنای ضوابط آئین‌نامه‌های DIN 4024 یا CP2012 یا آئین‌نامه‌های Indian Standard (IS2974) و یا معادل دیگرانجام می‌گیرد. برخی از مهمترین موارد ارائه شده در آئین‌نامه‌های مذکور بشرح ذیل می‌باشند:

- فونداسیون ماشین‌آلات لرزشی بصورت مجزا از فونداسیون سازه‌ها و تجهیزات دیگر اجرا می‌شوند.
- شکل فونداسیون ماشین‌آلات در پلان حتی‌المکان بصورت ساده انتخاب می‌شود.

- ماشین‌آلاتی که مانند توربین و ژنراتور بصورت کوپل با یکدیگر کار می‌کنند، بر روی یک فونداسیون پکیارچه مستقر می‌شوند.

- ابعاد فونداسیون بگونه‌ای منظور می‌گردد که  
فاصله سطح Anchor Box از لبه‌های خارجی  
фондасион حداقل 10 cm باشد.

- ماکزیمم خروج از مرکزیت بین مرکز جرم ماشین آلات و فونداسیون در هر جهت برابر ۵ درصد بعد فونداسیون در آن جهت در نظر گرفته می شود.
- لازم است تنش خاک ناشی از بارهای ثقلی (وزن ماشین آلات و فونداسیون) برای ماشین آلات چرخشی کمتر از نصف مقاومت مجاز خاک و برای

می باشد. سابقه، کار ایشان حدود ۵ سال است که ۳ سال آن در قدس نیرو بوده است. زمینه علاقمندی آقای قلیزاده آنالیز و طراحی سکوهای دریایی است.

gholizadeh@mehr.Sharif.edu  
a gholizadeh@ghods-niroo.com

مراجع مختلف جهت طراحی این نوع از فونداسیون‌ها، به موارد مهمی که لازم است در طراحی آن مدنظر قرار گیرد اشاره شود.

در طراحی این فونداسیون‌ها لازم است تبعات ناشی از ماهیت دینامیکی بارهای وارد بر فونداسیون در قالب ضوابط استانداردی برای اجتناب از پدیده تشديد و محدود کردن دامنه ارتعاش فونداسیون در نظر گرفته شود. علاوه بر این لازم است فشار خاک زیر فونداسیون تحت اثر بارهای ثقلی استاتیکی نیز در حاشیه اطمینان مناسبی از رفتار غیرارتجاعی قرار گیرد. زیرا در غیر اینصورت تکرار بارهای دینامیکی می‌تواند در درازمدت سبب افزایش تغییر شکل ماندگار خاک و نشت فونداسیون شود و بهمین دلیل محدودیت تنش مجاز خاک زیر فونداسیون ماشین‌آلات ارتعاشی حتی تحت اثر بارهای ثقلی استاتیکی نیز سخت‌گیرانه‌تر از محدودیت آن در ارتباط با دیگر فونداسیون‌هاست.

#### 11- مراجع

- Prakash S., "Soil Dynamics", McGraw-Hill, 1981.
- O'Reilly M.P., Brown S.F., "Cyclic Loading of Soils", Blackie, 1991.
- Bowles J.E., "Foundation Analysis and Design" McGraw-Hill, 1988.
- USA. Department of Defense Handbook, "Soil Dynamics and Special Design Aspects", 1997.

آقای امین قلیزاده دارای لیسانس مهندسی عمران - عمران از دانشگاه صنعتی شریف و فوق لیسانس مهندسی عمران - سازه از دانشگاه صنعتی شریف بوده و در حال حاضر دانشجوی دکترا در رشته عمران - سازه در همین دانشگاه

## بیوگاز

کارشناس ارشد محیط‌زیست - مدیریت مهندسی نیروگاههای بخار  
زیبا آیتی

### چکیده:

با افزایش روزافزون مصرف انرژی در جهان و محدود بودن ذخایر سوخت‌های فسیلی بعنوان منابع در دسترس، بشر با این واقعیت مواجه شده است که در حال حاضر برای بخشی از انرژی مورد نیاز و برای تمام نیازهای آتی خود به انرژی، بایستی در فکر استفاده از منابع تجدیدپذیر باشد.

بیوگاز، کاربردنوعی تکنولوژی است که منبع تولیدکننده انرژی آن، ضایعات و پسماندهای انسانی، حیوانی و گیاهی بوده و پسماند تولیدی خود فرایند بیوگاز، در حد صفر است. در واقع محصولات تولیدی این نوع واحدها، بیوگاز و لجن هضم شده است که مصرف آنها عمدتاً برای تولید انرژی و کود مورد مصرف در کشاورزی است. بیوگاز، گازی غیر سمی است که در ترکیب با هوا به رنگ آبی می‌سوزد بدون آنکه تولید بو و دود کند. لجن تولیدی آن نیز غنی از نیتروژن، دی‌اکسید فسفر و دی‌اکسید پتاسیم است که در کشاورزی می‌تواند مورد مصرف قرار گیرد. بنابراین فرایند بیوگاز نه تنها محیط زیست را آلوده نمی‌کند بلکه به حذف و زدودن آلودگی‌ها از آن کمک شایانی می‌نماید.

### مقدمه:

ندارد از این نوع سیستم‌ها می‌توان در سطح وسیع در روستاهای و حتی شهرها استفاده کرد.

وجود سالیانه ۱۵ میلیون تن ضایعات جامد شهری و تولید  $4/6 \times 10^9 \text{ m}^3$  فاضلاب شهری و انواع پسابهای صنعتی در کشور و رشد روزافزون مصرف انرژی و نیز محدود بودن منابع سوختهای فسیلی، توجه به منابع انرژی‌های تجدیدپذیر نظیر "بیوگاز" را بیش از پیش نشان می‌دهد.

بیوگاز از انواع انرژی‌های تجدیدپذیر است که می‌توان از آن بعنوان منبع تولید انرژی‌های نظری انرژی الکتریسیته، انرژی گرمایشی و حتی پخت و پز در صنایع و منازل استفاده نمود.

برای تولید بیوگاز می‌توان از باقیمانده‌های غلات، گیاهان آبزی و فضولات حیوانات استفاده کرد.

فضولات دامی بسیار آلوده بوده و حاوی انواع میکروارگانیسم‌های بیماریزا است که با ورود به محیط‌زیست بخصوص آبهای آزاد می‌توانند علاوه بر گسترش انواع بیماریها با کاهش BOD آب رودخانه‌ها، سبب از بین رفتن ماهیها شوند.

هضم غیرهوایی فضولات و ضایعات فرایندی است که علاوه بر تولید انرژی می‌تواند آلودگی را با کاهش و حتی حذف کامل آن کنترل کند.

از آنجا که هضم بی‌هوایی، فرایندی ساده بوده و عملیات نیاز به سیستم‌های گسترده با کنترل پیچیده

### ۱- کیفیت و ترکیب بیوگاز

بیوگاز مخلوطی از گازهای متان و دی‌اکسید کربن است. علاوه بر این بیوگاز دارای مقادیر ناچیزی از نیتروژن، هیدروژن، منوکسید کربن، سولفیدهیدروژن، بخار آب و ..... براساس شرایط و مواد ورودی است. ترکیب بیوگاز و ترکیب لجن حاصل از فرایند بیوگاز در ذیل نشان داده شده است:

درصد	ترکیب بیوگاز
۵۵-۷۰	متان ( $\text{CH}_4$ )
۳۰-۴۵	دی اکسید کربن ( $\text{CO}_2$ )
۱-۲	نیتروژن ( $\text{N}_2$ )
ناچیز	هیدروژن ( $\text{H}_2$ )
ناچیز	منوکسید کربن (CO)
ناچیز	سولفید هیدروژن ( $\text{H}_2\text{S}$ )

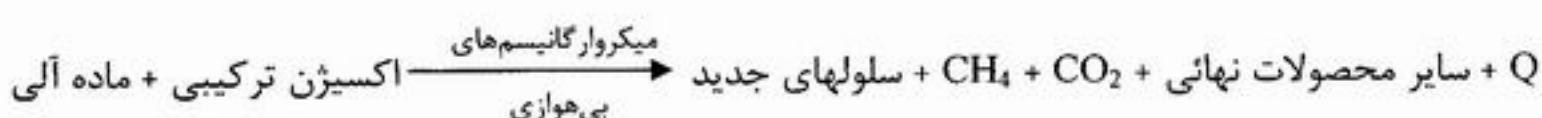
  

درصد	ترکیب لجن حاصل از فرایند بیوگاز
۱/۵	نیتروژن ( $\text{N}_2$ )
۰/۴	پنتاکسید فسفر ( $\text{P}_2\text{O}_5$ )
۲/۲	اکسید پتاسیم ( $\text{K}_2\text{O}$ )

در ادامه تحقیقات در زمینه بیوگاز، جهاد سازندگی مرکزی ۴۰ واحد در دهکده‌های مختلف ساخت. علاوه بر آن یک مرکز مطالعاتی در کرج تحت نظارت وزارت کشاورزی و دانشگاه عباسپور تهران فعالیت‌هایی در زمینه بیوگاز داشته است. بین سالهای ۱۹۸۳ تا ۱۹۸۵ جهاد دانشگاهی دانشکده کشاورزی کرج یک واحد  $3\text{m}^3$  راهاندازی کرده است. سازمان انرژی اتمی نیز در سال ۱۹۹۸ در جزیره کیش یک واحد به حجم  $12/2\text{m}^3$  واحد دیگری به حجم  $68\text{m}^3$  در ماهدشت کرج برای مقاصد آموزشی و تحقیقاتی ساخته است.

### ۳- مبانی فرایند هضم بی‌هوایی

در هضم بی‌هوایی از میکرووارگانیسم‌هایی استفاده می‌شود که در محیط‌های فاقد اکسیژن مولکولی و حاوی مواد آلی به عنوان مواد غذایی به خوبی رشد می‌کنند. میکرووارگانیسم‌ها با اکسیداسیون مواد آلی و طی فرایند ساده، سلولهای جدید، انرژی برای ادامه حیات میکرووارگانیسم‌ها و برخی محصولات نهایی گازی شکل نظیر متان و دی‌اکسید‌کربن تولید می‌کنند. معادله عمومی فعالیت بی‌هوایی عبارتست از:



### ۲- تاریخچه بیوگاز در ایران

تاریخچه استفاده از فرایند بیوگاز در ایران به صدها سال پیش بر می‌گردد. تحقیقات نشان می‌دهد گرمایش حمام شیخ بهائی در اصفهان با فرایند بیوگاز بوده است.

تحقیقات و پیشرفت‌های اخیر سی‌ساله در زمینه بیوگاز در کشور سرعت زیادی داشته است. برای مثال در سال ۱۹۷۵ در دهکده نیاز آباد لرستان یک سیستم تولید متان از مواد زاید حیوانی طراحی و ساخته شده است. این سیستم با ظرفیت  $5\text{m}^3$  قادر بود از بیوگاز حاصل از فضولات گاوی، آب یک حمام را گرم کند. در سال ۱۹۸۰ دو واحد کوچک در مقیاس آزمایشگاهی در دانشگاه بوعلی‌سینای همدان ساخته شد. در سال ۱۹۸۱ نیز دانشگاه صنعتی شریف یک واحد آزمایشگاهی با ظرفیت  $3\text{m}^3$  از فضولات دامی ساخت.

پس از آن یک مرکز در سازمان انرژی اتمی ایران بنا شد و وزارت نیرو تحقیقات خود را در زمینه بیوگاز در این مرکز آغاز نمود. در ادامه تحقیقات ۱۰ واحد تولید بیوگاز توسط وزارت نیرو در سیستان و بلوچستان، ایلام و کردستان ساخته شد.

تجددی‌پذیر هستند که تا موجودات زنده در کره زمین زندگی می‌کنند قابل دسترس بوده و تمام شدنی نیست. از طرف دیگر نصب واحدهای بیوگاز، راهبری و تولید بیوگاز بسیار ساده است. همچنین بیوگاز از جمله سوخت‌های پاک است که در نتیجه مصرف آن کاهش بیماریهای ناشی از سوختن سوخت‌های کثیف را سبب می‌شود. با مصرف بیوگاز بجای چوب در روستاهای کشورهای فقیر اعضا خانواده بخصوص زنان و کودکان از جمع‌آوری چوب، تمیز کردن دودکش و نیز دفع فضولات دامی آسوده می‌شوند.

بالاخره فرایند بیوگاز، کود با کیفیت بالا تولید می‌کند. از آنجا که لجن تولیدی توسط باکتریهای متان‌ساز تولید می‌شوند بنابراین عاری از میکروارگانیسم‌های بیماری‌زا است. بنابراین هاضم‌های بیوگاز می‌توانند با دریافت فضولات دامی و انسانی و تبدیل آنها به گاز و لجن سهم مهمی در کاهش آلودگی‌های محیط‌زیست بخصوص آبهای سطحی و زیرزمینی داشته باشند. لجن تولیدی نیز سرشار از نیتروژن و فسفر است که می‌تواند در کاهش مصرف کودهای مصرفی با پایه‌نفتی و شیمیایی که خود آلوده‌کننده محیط‌زیست، خاک، آب و .... است در بهداشت و اقتصاد خانواده‌های روستائی سهم بسزایی داشته باشد.

در واقع استفاده از بیوگاز می‌تواند در کاهش و یا توقف تخریب اکوسیستم‌های حیاتی نقش مهمی داشته باشد.

## ۵- فاکتورهای کنترل و تبدیل فضولات به بیوگاز

سرعت و راندمان فرایند هضم بی‌هوایی فضولات و ضایعات بستگی به پارامترهای زیر دارد:

- نوع فضولات
- غلظت

منابع اکسیژن ترکیبی شامل رادیکالهای  $PO_4^{3-}$ ,  $NO_3^-$ ,  $SO_4^{2-}$ ,  $CO_3^{2-}$  می‌باشد.

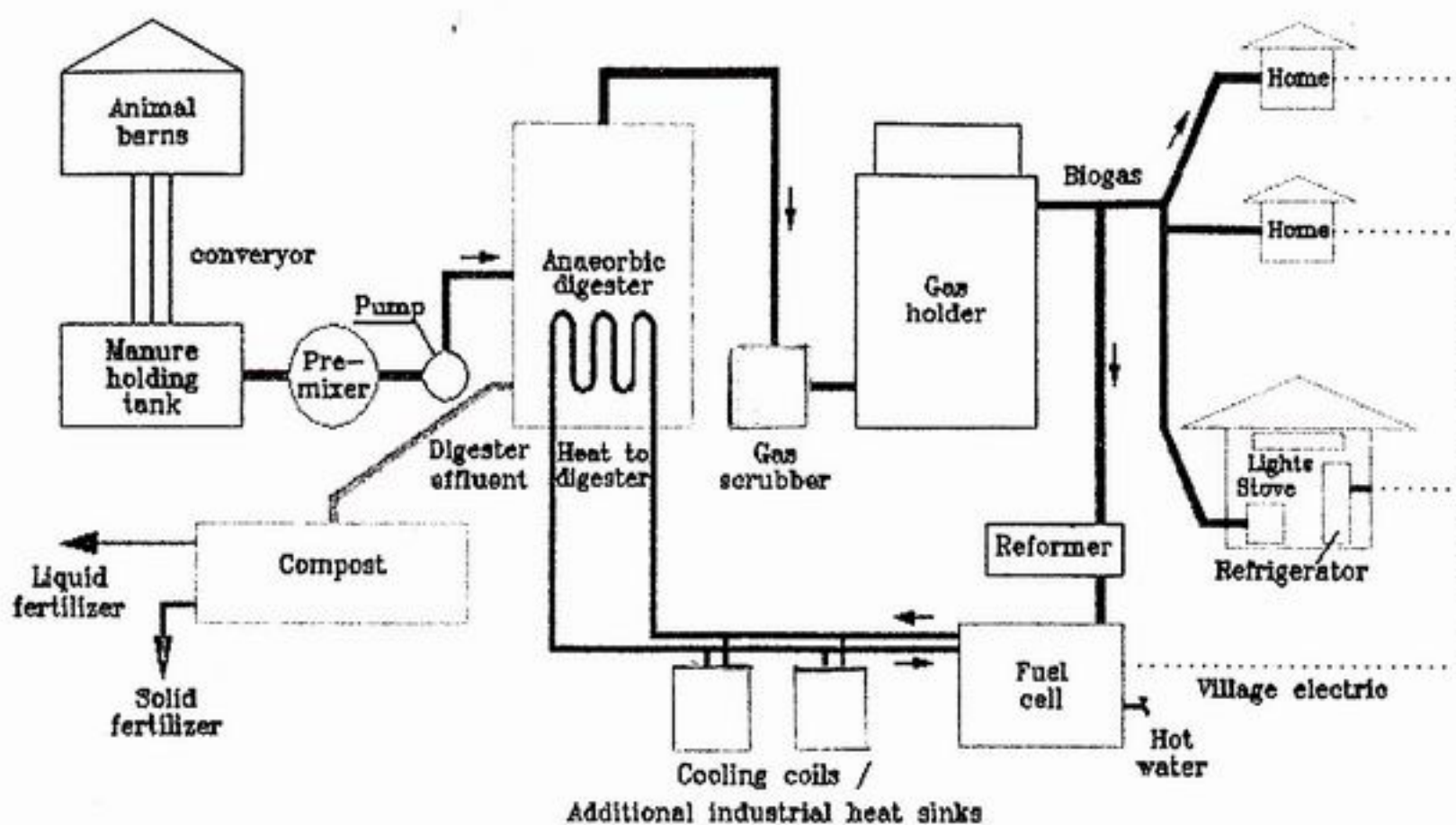
هاضم، یکی از تجهیزات اصلی در فرایند هضم بی‌هوایی است. انواع هاضم‌های مورد استفاده براساس جامدات محتوى خوراک ورودی و براساس فاکتورهای سرمایه‌گذاری و تقاضا از سیستم بیوگاز، نیاز به محصولات تولیدی بیوگاز و یا حتی حذف آلودگی می‌تواند متفاوت باشد.

گاز تولیدشده در هاضمی که خوب راهبری می‌شود حاوی ۵۵-۷۵ درصد متان، ۲۵-۴۵ درصد دی‌اکسیدکربن و مقداری ناچیزی گازهای دیگر نظیر  $N_2$ ,  $H_2S$ ,  $NH_3$  و  $H_2$  است که وجود بسیار کم گازهای  $NH_3$  و  $H_2S$  در بیوگاز موجب کنترل بوی ناشی از فضولات و ضایعات هضم نشده می‌شود. قسمتی از دی‌اکسیدکربن حاصل از فعالیت‌های میکروبی با آب موجود واکنش نشان می‌دهد تا سیستم بافری بی‌کربنات را تشکیل دهد که در فرایند هضم حائز اهمیت است. در هاضمی که خوب راهبری می‌شود، اسیدهای آلی با همان سرعت تولید می‌شوند. سیستم بافری بیکربنات به راهبری انعطاف می‌بخشد زیرا اسیدها می‌توانند تا حد مشخصی بصورت موقت سریعتر از نرخ تجزیه خود تولید شوند و سیستم بافری pH را در حد مناسب حفظ می‌کنند ولی اگر مقدار بیش از حد اسید تولید شود، بر سیستم بافری غالب شده و افت نامطلوب pH روی می‌دهد که متان‌سازها را محدود خواهد نمود. متان‌سازها به pH، ترکیب سوبسترات و دما حساس هستند. اگر pH به زیر ۶ افت کند تولید متان متوقف می‌شود.

## ۴- مزایای تکنولوژی هاضم‌های بیوگاز

تکنولوژی هاضم‌های بیوگاز چندین مزیت نسبت به دیگر روش‌های تولید انرژی دارند. اول اینکه خوراک این نوع سیستم‌ها مواد بیولوژیکی

## BIOGAS FACILITY FLOW DIAGRAM



شکل (۱): شماتیک ساده فرایند تولید بیوگاز و مصارف آن

نسبت C/N برای تولید بیشترین مقدار ممکن بیوگاز فراهم می‌کند.

دما -

## - حضور یا عدم حضور مواد سمی

pH یا قلیائیت -

- زمان ماند

- نسبت خوراک به تعداد میکروگانیسم‌ها

- نویسنده

## ۲-۶-بخش هاضم غیر هوایی

این بخش می‌تواند شامل چندین هاضم غیرهوازی باشد که به منظور کنترل دما قسمت‌های خاصی از آنها کاملاً ایزوله شده همچنین با کویل مناسب برای گرم کردن محتوای داخل هاضم مجهز می‌شوند. پمپ‌ها و تجهیزات مناسبی در هاضم برای اختلاط و یکنواختی محتوای داخل نصب می‌شود. هاضم‌ها با سیستم آلام حرارتی تجهیز می‌شوند و مکان‌های مناسبی برای نمونه‌برداری از محتوای داخل هاضم در نظر گرفته می‌شود.

## ۶- بخش‌های مختلف سیستم بیوگاز

سیستم بیوگاز از بخش‌ها و تجهیزات مختلفی ساخته می‌شود که عبارتند از:

۶-۱-بخش آماده‌سازی خودآک و و دی

این بخش برای آماده‌سازی و هدایت خوراکی که  
کیفیت و کمیت آن قبلًا برای ورود به هاضم  
کنترل شده، طراحی و ساخته می‌شود.

از یک خردکن برای ریز کردن مواد جامد ورودی به هاضم استفاده می شود. این واحد با ترکیب مواد مختلف شرایط مناسبی را از نظر ترکیب غذائی و

دارد. در بعضی واحدهای کوچک، فضای گنبدی شکل در بالای هاضم برای جمع‌آوری و ذخیره بیوگاز تعبیه می‌شود. در صورتیکه در واحدهای صنعتی بزرگ، بیوگاز تولیدی از هاضم‌ها مستقیماً به سمت تانک‌های ذخیره بزرگ شناور می‌رود.

مزیت استفاده از تانک‌های شناور ذخیره این است که در طی عملیات، فشار افت نمی‌کند. این تانک‌ها از فلز ساخته شده‌است و کف آن با یک لایه سیمان برای جلوگیری از خوردگی حفاظت شده‌است. بخش فلزی آن را می‌توان با لایه‌ای از رنگ یا دیگر مواد مناسب پوشاند.

توانایی تکنیکی ساخت تانک‌های ذخیره شناور با حجم کم در کشور وجود دارد ولی برای طراحی و ساخت تانک‌های شناور بزرگ برای صنایع و واحدهای نیروگاهی نیاز به کارشناسان و شرکت‌های خارجی با تجربیات بیشتر است.

#### ۶-۶- مصرف گاز هاضم

همانطور که گفته شد گاز هاضم محتوی متان (حدود ۵۵ تا ۷۵ درصد)، دی‌اکسید‌کربن (حدود ۲۵ تا ۴۵ درصد)، بخار آب و مقادیر ناچیزی گازهای دیگر نظیر سولفید هیدروژن، هیدروژن و نیتروژن می‌باشد. گاز هاضم قابل انفجار بوده و سولفید هیدروژن یک گاز خورنده و سمی است. روش‌های مرسوم برای مصرف گاز لجن گرمایش و تولید انرژی می‌باشند. هیترهای خوارک ورودی به هاضم، گاز تولیدی را بدون تصفیه می‌سوزانند. با این وجود برای استفاده از آن بصورت سوخت در موتورهای احتراق داخلی یا توربین‌های گاز (برای به حرکت در آوردن کمپرسورهای هوای پمپاژ نراثورهای تولید برق) در صورتیکه میزان سولفید هیدروژن بیش از ۱۵ درصد حجمی باشد گاز هاضم باید تمیز شود. علاوه بر آن چنانچه تأسیسات مصرف

۶-۳- بخش تصفیه و خالص‌سازی بیوگاز تولیدی  
همانطور که گفته شد بیوگاز مخلوطی از متان، دی‌اکسید کربن، مقادیر کمی نیتروژن، بخار آب،  $H_2S$  و گازهای دیگر است.

وجود برخی ناخالصی‌های همراه متان در بیوگاز نه تنها ارزش حرارتی را کاهش می‌دهد بلکه با تولید اکسیدهای نیتروژن و اکسیدهای گوگرد موجب خوردگی تجهیزات آن می‌شود. بهمین دلیل طراحی و ساخت فیلترهای مناسب برای جداسازی  $H_2O$  و  $CO_2$  در واحد تصفیه بسیار مهم است. توانائی برای ساخت چنین فیلترهایی در ایران وجود دارد و استفاده از تجربیات کشورهای سازنده فیلتر با سابقه طولانی‌تر می‌تواند برای ساخت بهتر این نوع فیلترها مؤثر باشد. بمنظور کنترل ناخالصی‌های بیوگاز نیاز به نصب سنسورهای در تولید و خط انتقال آن می‌باشد، بنابراین به عنوان رکورده و گزارش ناخالصی‌ها بطور مداوم بایستی سنسورهایی برای تعیین  $H_2S$  و  $CO_2$  نصب شود.

#### ۶-۴- بخش آنالیز تولید گاز، تعیین حجم و کنترل کننده

بمنظور داشتن رکورد از حجم دقیق بیوگاز تولیدی، نیاز به کاربرد یک جریان‌سنج مناسب است. از آنجاکه جریان‌سنج با بیوگاز تماس مستقیم دارد بایستی در مقابل خوردگی مقاوم باشد. دانستن در صدمتان و میزان گازهای همراه متان در فرایند بسیار مهم است. بمنظور تعیین درصد هر یک از گازها و دیگر ناخالصی‌های همراه متان، نیاز به تجهیزات گاز کروماتوگرافی (G.C) مجهز به دتکتورهای مخصوص می‌باشد.

۶-۵- بخش جمع‌آوری و ذخیره بیوگاز تولیدی  
از آنجا که متان در ترکیب با هوا قابل انفجار است جمع‌آوری و نگهداری آن نیاز به تمهیدات خاص

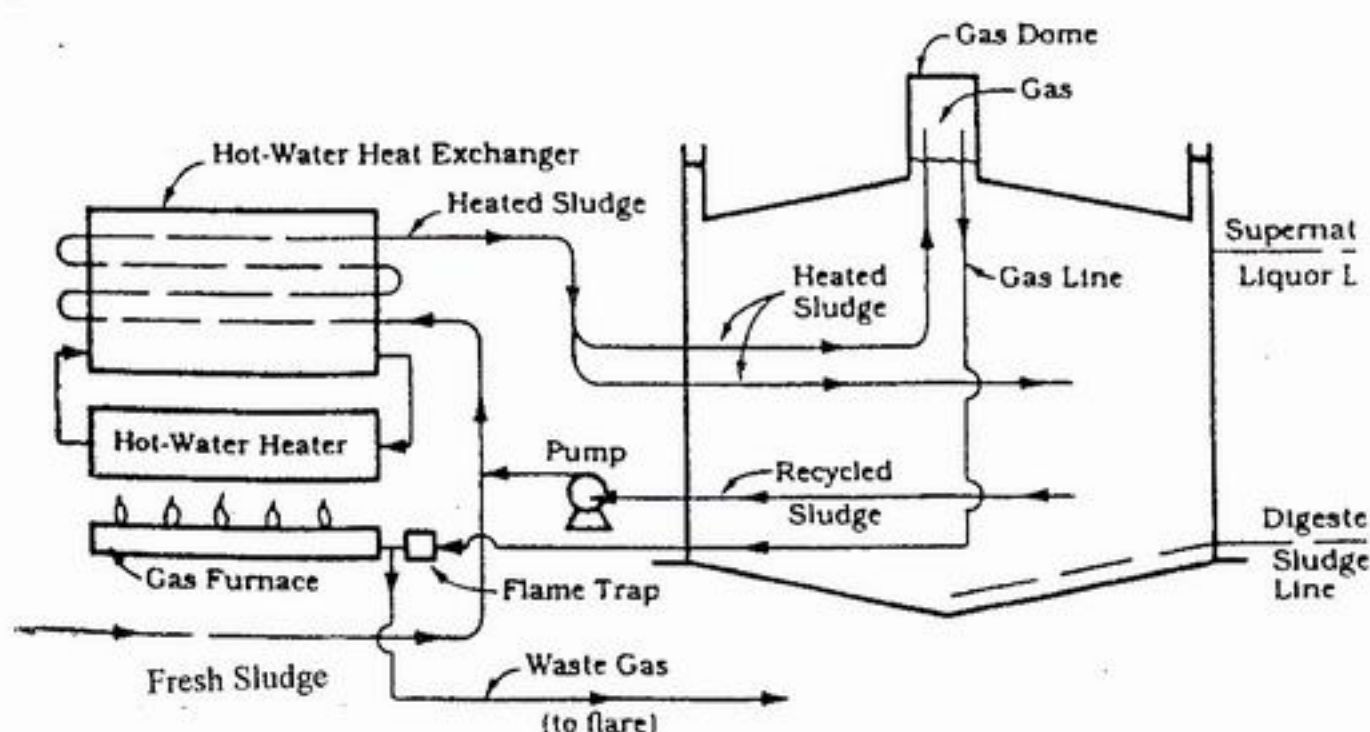
جبران افتهای حرارتی می‌باشد. فعل و انفعالات تبدیل مواد توسط میکرووارگانیسم‌ها بخودی خود تولید انرژی و گرما می‌نماید ولی در آب و هوای سرد برای رساندن دمای هاضم به  $35^{\circ}\text{C}$  که برای تولید بیوگاز دمای ایده‌آلی است نیاز به انرژی اضافی دارد. مرسوم‌ترین روش گرم کردن هاضم استفاده از یک هیتر آب داغ و مبدل حرارتی بیرون از هاضم و حرارت دادن لجن ورودی و برگشتی است. شکل (۲) یک هاضم با سیستم گرمایش بیرونی را نشان می‌دهد. اولین نوع هاضم‌ها از هیترهای آب داغ یا بویلهای بیرون از هاضم استفاده می‌کردند بدین صورت که آب داغ در داخل لوله‌های مارپیچی داخل هاضم‌ها جریان می‌یافتد. تجربه‌ها نشان داد با این روش لجن در اطراف لوله‌ها بصورت کیک درآمده و راندمان حرارتی را به مقدار زیادی کاهش می‌دهد. از آنجا که هاضم‌ها بندرت خالی می‌شوند تمیز کردن کیک از لوله‌ها امکان‌پذیر نبوده در نتیجه استفاده از یک هیتر بیرونی که لجن پمپ شده را در بیرون هاضم حرارت دهد

گاز‌گسترده باشد باید گاز را تمیز نمود تا خوردگی آن کاهش یابد. تصفیه، سولفید هیدروژن و قسمتی از دی‌اکسید کربن را حذف خواهد نمود، لذا باعث افزایش ارزش حرارتی سوخت بر حسب  $\text{kg/m}^3$  شود. سیستم جمع‌آوری و چرخش گاز باید دارای تجهیزات اینمی نظیر محفظه‌های رطوبت‌گیر، شیرهای تنظیم فشار، شعله خاموش‌کن (Flame trap) روی خطوط منتهی به موتورها، توربین‌ها، مشعل‌ها و مشعل گاز مازاد باشد.

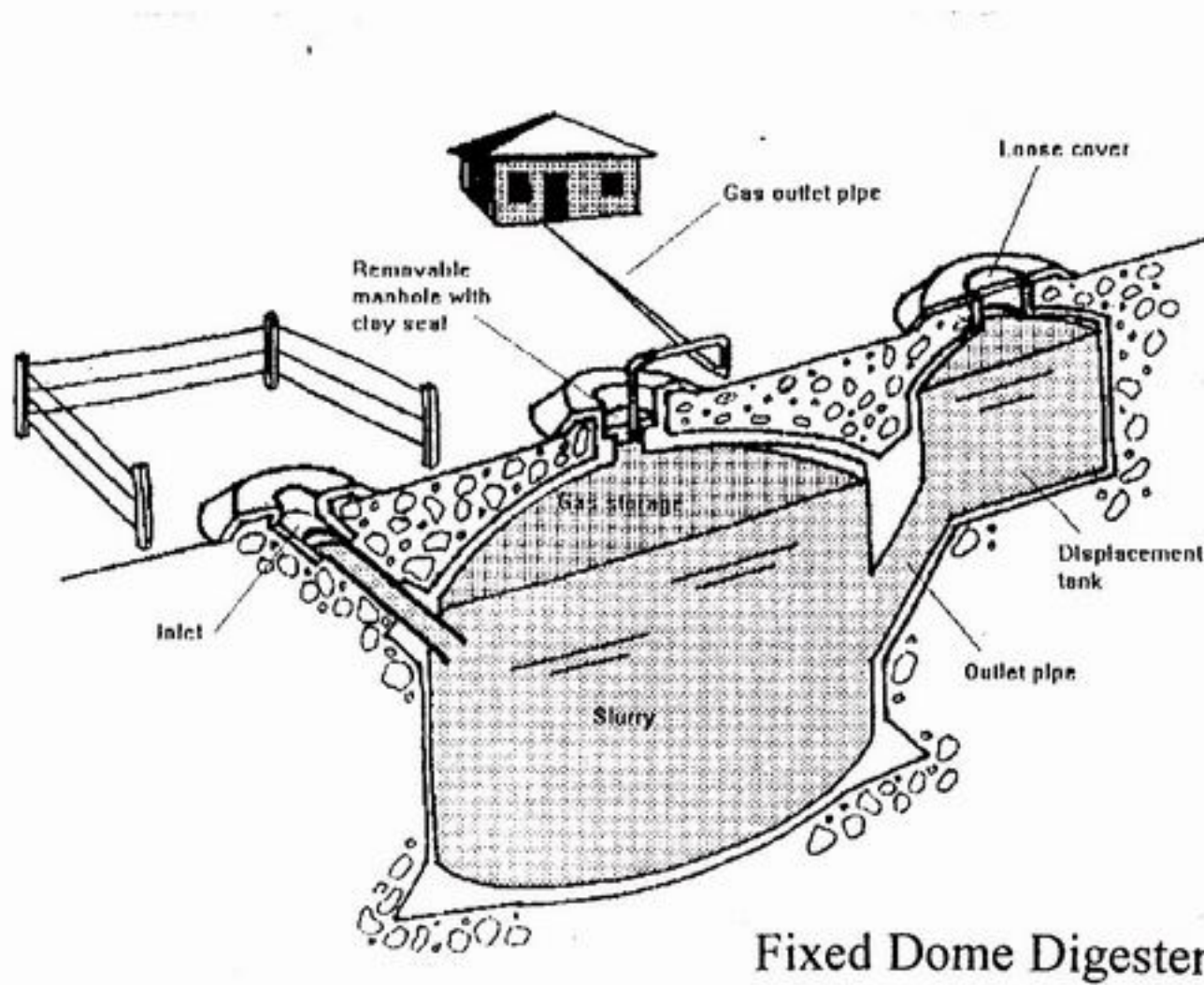
#### ۷- نیازهای گرمایشی هاضم

در مناطق سرد و معتدل، گرم کردن هاضم در طول فصل زمستان برای حفظ دمای هاضم در محدوده مطلوب ضروری است. حرارت تأمین شده باید به اندازه‌ای باشد تا (۱) دمای خوراک تازه ورودی را تا رسیدن به دمای هاضم افزایش دهد. (۲) افت حرارتی هاضم از طریق دیواره‌ها، کف و سقف را جبران نماید.

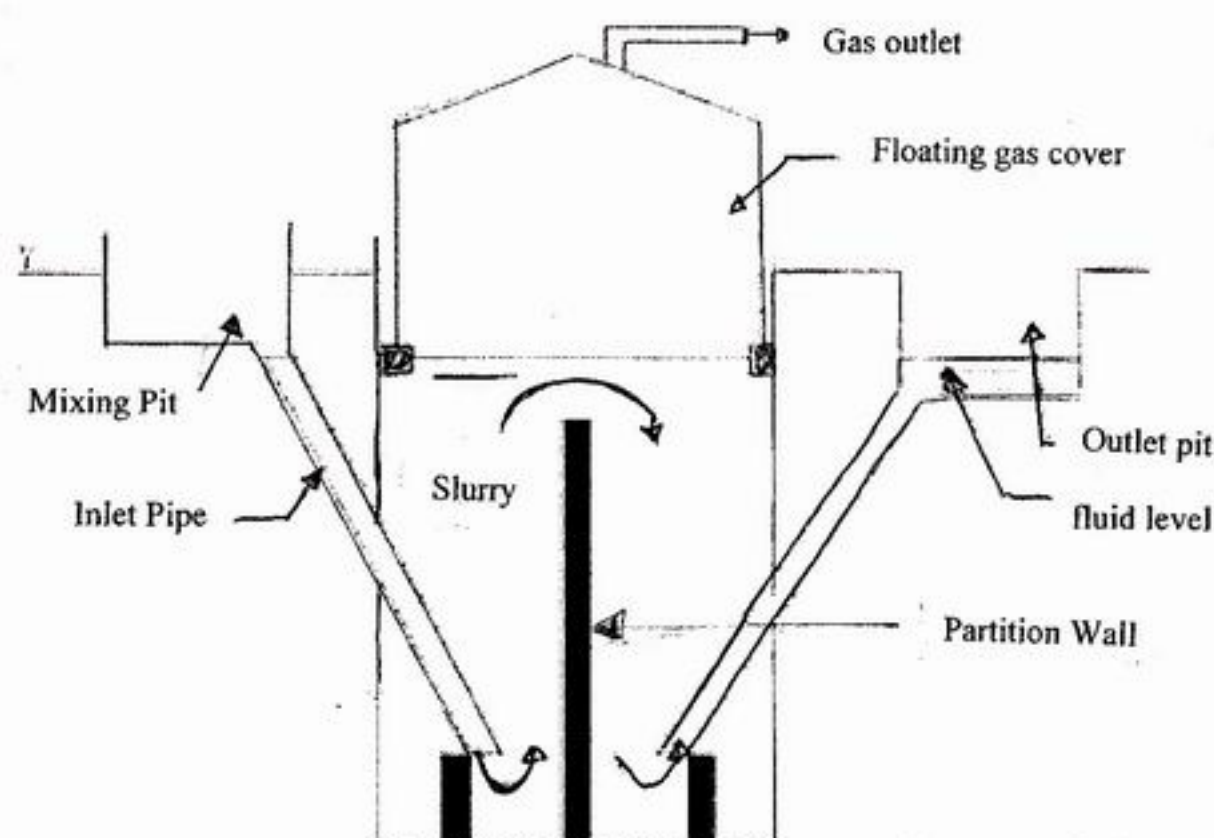
معمولًا، حرارت لازم برای افزایش دمای لجن ورودی تا دمای هاضم، بیشتر از حرارت لازم برای



شکل (۲): هاضم دارای سیستم گرمایشی بیرونی



Fixed Dome Digester



Floating cover Digester

شکل (۳): شماتیک از ساختمان عمومی هاضم‌ها

سرپوش آن است. این سرپوش برجسته اجازه می‌دهد که بیوگاز در یک فشار ثابت برای حجم‌های گازی متفاوت ذخیره شود.

#### ۹- تعیین اندازه واحدهای تولید بیوگاز

برای انتخاب واحدهای تولید بیوگاز، دو فاکتور مهم بصورت زیر مطرح می‌باشد:

- ۱) مواد تجزیه‌پذیر بیولوژیکی قابل دسترس
- ۲) میزان مورد نیاز بیوگاز و قابلیت مصرف آن برای تولید بیوگاز بعنوان مواد اولیه می‌توان از باقیمانده‌های غلات، گیاهان آبزی و فضولات دامی و انسانی استفاده کرد. باید توجه داشت همه منابع به یک میزان گاز تولید نمی‌کنند ولی برای تولید بیوگاز اساساً فضولات دامی بکار می‌رود.

برای راهاندازی یک سیستم گاز در وهله اول میزان و نوع فضولات قابل دسترس بایستی مشخص شود پس از آن می‌توان براساس نوع فضولات و میزان مصرف بیوگاز در مورد حجم و اندازه هاضم بیوگاز، تصمیم‌گیری کرد.

جدول (۱) احشام مورد نیاز برای ظرفیت واحدهای مختلف و اندازه مناسب هاضم برای خانواده‌ها و جدول (۲) میزان بیوگاز مورد نیاز برای فعالیت‌های مختلف را داده است.

مشکل کیک شدن را تا حدود زیادی می‌تواند کنترل کند. بدینصورت هیچگونه توده لجنی در لوله‌های مبدل حرارتی بوجود نمی‌آید. هاضم‌های دارای سیستم اختلاط شامل تخلیه گاز برگشتی به یک لوله صعود گاز در مرکز هاضم غالباً توسط یک مبدل حرارتی داخلی که در قسمت لوله صعود گاز قرار دارد حرارت داده می‌شود. این مبدل‌های حرارتی را می‌توان از دریچه دسترسی واقع در مرکز گند بیرون آورده و تمامی کیک‌های تشکیل شده را تمیز کرد.

متان‌سازها در دمای مزووفیلیک و ترموفیلیک بسیار اکتیو هستند. از عمدت‌ترین میکرووارگانیسم‌های متان‌ساز می‌توان به Methanoscarcing و Methanobacterium و Methanococcus اشاره نمود.

#### ۸- ساختمان عمومی هاضم‌ها

اغلب هاضم‌ها به دو صورت "Fixed Dome Digester" و "Floating Cover Digester" طراحی و ساخته می‌شوند. شماتی از دو طرح در شکل (۳) دیده می‌شود. در هر دو طرح، هاضم خوراک را با یک لوله ورودی دریافت می‌کند. مخازن فوق عموماً با مصالح ساختمانی از جمله سنگ، سمنت و آجر [FAO, 1997] با ملات سیمان ساخته می‌شوند. تفاوت عمدت بین این دو نوع هاضم در طراحی نوع

جدول (۱): تعداد احشام (گاو) مورد نیاز برای ظرفیت‌های مختلف

#### واحدها و مرتبط با تعداد افراد خانواده

تعداد تقریبی افراد خانواده	تعداد احشام تقریبی مورد نیاز	میزان فضولات خام مورد نیاز روزانه (kg)	سایز واحدها (m <sup>3</sup> )
۱-۴	۲-۴	۲۵	۱
۵-۸	۴-۵	۵۰	۲
۹-۱۲	۶-۸	۷۵	۳
۱۳-۱۶	۹-۱۰	۱۰۰	۴
۱۷-۲۲	۱۱-۱۵	۱۵۰	۶
۲۳-۲۶	۱۳-۱۶	۲۰۰	۸
۲۷-۳۲	۱۷-۲۰	۲۵۰	۱۰



## جدول (۲): میزان بیوگاز مصرفی و مورد نیاز برای فعالیت‌های مختلف

Quantities of Biogas Required for Different Applications			
S.No.	Use	Specification of Appliances	Quantity of Gas Required
1	Cooking	2" Burner, 0.33 cu. M/hr 4" Burner, 0.47 cu. M/hr 6" Burner, 0.64 cu. M/hr (@ 55-60% efficiency)	0.3 cu. M. per day per person
2	Lighting	100 Candle power lamp	0.15 cu.M. per hr.
3	Motive Power	75-80% replacement of diesel in dual fuel engine	0.50 cu.M. per bhp hour

در واقع با استفاده از بیوگاز می‌توان مصارف خانگی ۲٪ از مردم کشور (بجز مصارف گرمایشی) را تأمین نمود.

بنابراین از آنجا که تولید بیوگاز فرایند ساده‌ای داشته و عملیات آن نیاز به سیستم‌های گستردۀ با کنترل پیچیده ندارد از این نوع سیستم‌ها می‌توان در سطح وسیع در روستاهای کشور که خود منابع تولید را در اختیار دارند یا حتی در شهرها برای تولید انرژی ارزان و حذف آلودگی‌ها بهره جست.

لازم به ذکر است این برآورد تنها برای درک میزان و حجم بیوگاز قابل تولید در کشور بوده و اگر حتی بتوان ۲٪ نیاز کشور به انرژی را با این سیستم تأمین نمود، میزان قابل توجهی در انرژی تولیدی نیروگاهها صرفه‌جویی خواهد شد.

### ۱۰- نتیجه‌گیری

مطالعات نشان می‌دهد ایران قابلیت تولید سالیانه ۱۰۰۸ میلیون مترمکعب بیوگاز از فضولات دامی، ضایعات جامد شهری، پسابهای صنعتی و مواد زاید کشاورزی را دارد. از طرفی با امکان حذف ۴۶×۱۰<sup>۹</sup> میلیون تن ضایعات جامد شهری و ۱۵ مترمکعب فاضلاب شهری و انواع پسابهای صنعتی در کشور با سیستم بیوگاز علاوه بر تولید انرژی ارزان می‌توان از انتشار انواع آلودگیها و بیماریها جلوگیری نمود.

با توجه به جدول (۲) برای مجموع مصارف پخت و پز و روشنایی هر فرد با فرض ۱۰ ساعت در روز برای روشنایی و جمعیت ۷۰ میلیون نفری کشور، خواهیم داشت:

$$\begin{aligned} \text{مترمکعب میزان مصرف هر نفر در روز} &= 1/8 \\ 1/8 \times 10^6 &\div (1/8 \times 365) = 1/53 \times 10^9 \\ 1/53 \times 10^9 &\div (7 \times 10^7) = 0.02 \end{aligned}$$

### ۱۱- مراجع

مقالات برگرفته از اینترنت با عنوان:

1- Biogas Incentive In Iran

2- Anaerobic Digestion of animal wastes:

Factors to consider

3- Energy In the World.

۴- واحدهای عملیاتی و فرایندی در مهندسی

محیط زیست، ترجمه: ایوب ترکیان

خانم زیبا آیتی فاغالتحصیل ۱۳۷۱ در رشته

مهندسی شیمی از دانشگاه صنعتی شریف و

فوق لیسانس مهندسی عمران - محیط زیست از

دانشگاه تربیت مدرس در سال ۱۳۷۶ می باشد.

خانم مهندس آیتی در شرکتهای مهندسین مشاور

یکم، مرکز تحقیقات نیرو، جازیکا و دانشگاه تربیت

مدرس جمعاً به مدت ۹ سال فعالیت داشته و از

اردیبهشت ماه ۱۳۸۲ همکاری خود را با قدس نیرو

آغاز نموده است. زمینه های کاری و علاقمندی

ایشان ارزیابی اثرات زیست محیطی، مدیریت

جمع آوری زباله، تصفیه آب و فاضلاب و آلودگی

هوا می باشد.

Zibayati@yahoo.com

## استفاده از روش FMEA در ارزیابی و تحلیل ریسک خواست در یک شرکت برق منطقه‌ای

شهرزاد خسروی

کارشناس کنترل پروژه - معاونت مهندسی شبکه‌های انتقال و توزیع

**کلید واژه‌ها:** خواست در صنعت برق، ارزیابی و تحلیل ریسک، نمره اولویت ریسک (RPN)

### چکیده:

امروزه با گسترش رو به رشد شبکه‌های توزیع و روند خصوصی‌سازی، نگاه دقیق به خواست برق از جایگاه خاصی برخوردار است. بروز خواست نه تنها ناشی از چیدمان و طراحی سیستم توزیع، و ادوات به کار برده شده است، بلکه مسائلی نظیر نصب، بهره‌برداری، نگهداری و تعمیرات را نیز در بر می‌گیرد. در این راستا، تجزیه و تحلیل خواست به منظور دست یافتن به شبکه برق ایمن‌تر و با قابلیت اطمینان بالاتر، از جایگاه خاصی برخوردار است.

ریسک خطرات یکی از نشانگرها برای درک و نمایش خطرات و اهمیت و الوبت‌بندی آنها و تجزیه و تحلیل خواست است. امروزه ارزیابی ریسک با روش‌ها و متداول‌ترین‌ها متفاوتی ارائه می‌شود که هر یک یا به نحوی پیچیدگی داشته یا به صورتی ساده‌انگارانه با مسائل برخورد می‌کنند. در این بررسی تلاش شده است، مراحل عملی اجرای یک روش کاربردی و کامل ارزیابی ریسک و تجزیه و تحلیل پتانسیلهای خطر را که شاید به نحوی برگرفته از روش FMEA<sup>۱</sup> است ارائه شود، به نحوی که به سادگی قابل اجرا و پیاده‌سازی بوده و در عین حال کلیه مفاهیم و اطلاعات لازم را در برگرفته و الزامات سیستم مدیریت ایمنی و بهداشت حرفه‌ای (OHSAS18001)<sup>۲</sup> را نیز پوشش دهد. در این راستا به تکمیل فرم‌های مربوطه در یک شرکت برق منطقه‌ای به منظور مطالعه موردی پرداخته شد تا هر چه بیشتر توانمندی فرم نشان داده شود و از تجربیات کسب شده به منظور تعدیل فرم استفاده شود. در این مقاله به ذکر چند مورد از فرم‌های پر شده مذکور اکتفا می‌شود.

قرار گیرد مهم است، زیرا خطا ناشی از انرژی الکتریکی در نوع خود یکی از مهلك‌ترین خواست محسوب می‌شود. اگرچه از دیرباز، علل خواست و عوارض ناشی از کار، اعمال نایمن یا شرایط نایمن و غیربهداشتی عنوان شده است اما چند دهه

### مقدمه:

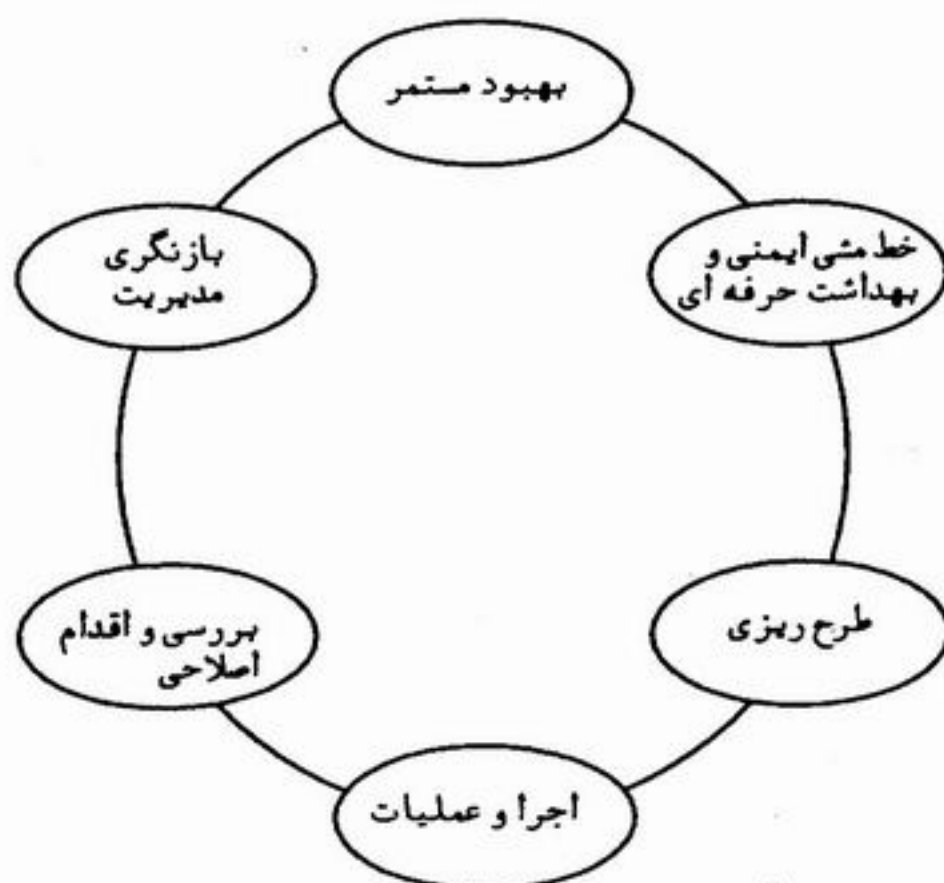
اختراع برق مهم‌ترین پدیده تمدن بشر بوده، و میزان تولید آن یکی از عوامل تعیین‌کننده رفاه بشری است. به طوریکه تقریباً تمام وسائل بشری توسط نیروی برق به کار می‌افتد و انسان به عنوان مصرف‌کننده این نیرو می‌باشد. بنابراین فراهم آوردن شرایطی که انرژی الکتریکی به صورت ایمن و بی خطر در اختیار مصرف‌کنندگان

1- Failure Mode & Effect Analysis.  
2- Occupational Health & Safety Assessment Series.

گرفته است سیستم مدیریت ایمنی و بهداشت حرفه‌ای مبتنی بر استاندارد OHSAS 18001 می‌باشد.

این استاندارد با همکاری ۱۳ سازمان منجمله تعدادی از مراجع صدور گواهینامه و با محوریت استاندارد BS 8800 تدوین گشته و رسم‌آز ۱۵ اوریل ۱۹۹۹ نافذ گردید. از ویژگی‌های این استاندارد، سازگاری دقیق با استانداردهای ISO 14001 و ISO 9001 می‌باشد و مانند آنها یک سیستم مدیریتی مبتنی بر ممیزی است. سازمان‌های زیادی منجمله تعداد محدودی از سازمانهای کشورها، موفق به دریافت گواهینامه استاندارد 18001 OHSAS از مراجع صدور گواهینامه شده‌اند. عناصر اصلی استاندارد OHSAS در شکل (۱) نشان داده شده‌اند.

پیروی از این دیدگاه در تلاش برای بهبود شرایط ایمنی و بهداشتی محل‌های کار، ثابت نمود که این دو عامل، علل ثانویه بوده و علل ریشه‌ای (اولیه) وجود آنها، نقص در سیستم مدیریت سازمان‌ها و به عبارتی، نبود یک سیستم مدیریت ایمنی و بهداشت در سازمان می‌باشد. امروزه سازمان‌ها دریافته‌اند که هنگامی امکان بهبود مداوم و واقعی در عملکرد ایمنی و بهداشت حرفه‌ای وجود دارد که این عملکرد، قابل اندازه‌گیری باشد و دستیابی به این امر، یعنی پایش مدام اندازه‌گیری عملکرد، فقط از طریق ایجاد یک سیستم مدیریت ایمنی و بهداشت حرفه‌ای میسر است. از جمله سیستم‌های مدیریت ایمنی و بهداشت حرفه‌ای که از دهه ۹۰ به بعد در سازمان‌ها رایج گردیده و بطور فزاینده مورد استقبال قرار



شکل (۱)

- برای تعیین نیازمندیهای سازمان، شناسایی نیازهای آموزشی و ارائه کنترلهای عملیاتی، ورودی در اختیار قرار دهد.

- امکان پایش اقدامات مورد نیاز برای حصول اطمینان از اثربخشی و به موقع بودن اجرای آنها را فراهم نماید.

امروزه ارزیابی ریسک بعنوان یکی از پایه‌های اصلی و به تعبیری قلب یک سیستم مدیریت ایمنی (OHSAS 18001) به حساب می‌آید که می‌کوشد با یک نگرش سیستماتیک خطرات و عوامل حوادث را شناسایی نموده و خطرات را رده‌بندی نماید و پس از آن با یک برنامه بهبود مستمر به رفع موانع و خطرات بپردازد.

### ۱- تحلیل ریسک به روش FMEA

FMEA، تجزیه و تحلیل عوامل شکست و آثار آن، روش سیستماتیک فنی است که می‌تواند خطاها و مشکلات بالقوه را در یک سیستم، طرح محصول، فرآیندهای تولید محصول و هرگونه فعالیت از جمله فعالیتهای خدماتی، تعمیراتی و.... را تعیین نموده و برطرف کند. چنانچه تجزیه و تحلیل عوامل شکست به طور صحیح و مناسب هدایت شود حاصل آن اطلاعات مفیدی است که کاهش خطر و نقص در سیستم، طرح محصول، فرآیندهای تولید محصول و ارائه خدمات مربوطه را به همراه خواهد داشت. اگر این روش به شکلی صحیح و منطقی اجرا شود باعث افزایش کارایی و بهره‌وری خواهد شد.

یکی از روشهای تجزیه و تحلیل نظاممند است که درسته فنون قیاسی جای داشته و روشی نیمه کمی است که برای نخستین بار در دهه ۵۰ در

جایگاه ارزیابی ریسک در سیستمهای مدیریت ایمنی و بهداشتی حرفه‌ای دراستاندارد OHSAS 18001 که از الزامات عنصر طرح‌ریزی (بند ۴-۳) می‌باشد، بدین شرح است:

### **۱-۳-۴- طرح‌ریزی برای شناسایی خطر، ارزیابی و کنترل ریسک**

سازمان باید روش‌های اجرایی برای شناسایی پیش‌پیش خطرات و ارزیابی ریسکها و اجرای اقدامات کنترلی ضروری، تدوین و برقرار نماید. این روش‌ها باید در برگیرنده موارد زیر باشند:

- فعالیت‌های عادی و غیرعادی  
- فعالیتهای همه کسانی که به محلهای کار دسترسی دارند (از جمله پیمانکاران فرعی و بازدیدکنندگان).

- تسهیلات و امکانات محل کار خواه متعلق به سازمان یا دیگران باشد.

سازمان باید اطمینان حاصل نماید که نتایج این ارزیابی‌ها و اثرات این کنترل‌ها همگام با تعیین اهداف ایمنی و بهداشت حرفه‌ای مدنظر قرار می‌گیرند. سازمان باید اطلاعات را مستند نموده و آنها را به روز نماید.

روش سازمان برای شناسایی خطر و ارزیابی ریسک باید:

- مناسب با دامنه، ماهیت و زمانبندی تعریف شود تا اطمینان حاصل گردد که انفعالی نبوده و فعالانه (بازدارنده) هستند.

- امکان طبقه‌بندی ریسک‌ها و شناسایی آنها که باید توسط اقدامات مندرج در سایر بندهای استاندارد، حذف یا کنترل شوند را فراهم نماید.

- با تجارب عملیاتی و قابلیتهای اقدامات کنترل ریسک بکار گرفته شده، همخوانی داشته باشد.

آن است که یک اقدام قبل از واقعه باشد نه یک تمرین بعد از آشکارشدن مشکلات.

به بیانی دیگر، یکی از تفاوت‌های اساسی FMEA با سایر تکنیک‌های کیفی این است که یک اقدام کنشی است، نه واکنشی. اگر درست و به موقع انجام شود، فرایندی زنده و همیشگی است، یعنی هر زمان که قرار است تغییرات بنیادی در طراحی محصول یا فرایند تولید انجام گیرد باید به روز شوند، لذا همواره ابزاری پویاست که در چرخه بهبود مستمر به کار می‌رود. برای تهیه فرم FMEA ابتدا می‌بایست یک تیم (توصیه می‌شود که تعداد افراد تیم بیشتر از ۶ نفر نباشد) تشکیل شود. سپس با توافق اعضاء به تهیه فرم پرداخته شود، به‌گونه‌ای که بتواند سوالاتی را در موارد زیر مطرح نماید: "تحت چه شرایطی محصول نمی‌تواند نیازهای فرایند را نجات دهد (خطر)؛ حالات خرابی چه تأثیری برخواسته مصرف‌کننده خواهد داشت (پیامد)، سپس اثر خرابی براساس رتبه‌بندی ۱ تا ۱۰ که چه شدتی دارد (عدد شد<sup>۱</sup>)؟ احتمال وقوع علل خرابی براساس رتبه‌بندی ۱ تا ۱۰ چقدر است (احتمال بروز حادثه)؟ میزان خطرپذیری حالات بالقوه خرابی به ازای علل مختلف چه مقدار است (محاسبه RPN)؟ RPN که از حاصل ضرب شدت و وقوع به دست می‌آید، اولویت‌بندی خرابی‌ها را نشان می‌دهد. پس از محاسبه RPN در مرحله اول آنها را به صورت نزولی مرتب می‌کنیم و از خطراتی که بیشترین RPN را دارند اقداماتی کنترلی را در پستهای مورد نظر انجام می‌دهیم. دوباره RPN جدید را بعد از اقدامات کنترلی به دست می‌آوریم تا به بررسی تأثیر اقدامات در

ارزیابی ریسک خطرات ایمنی سیستماتیک سخت‌افزاری مربوط به برنامه‌های هوا - فضایی و برنامه‌های وزارت دفاع در ایالات متحده مورد استفاده قرار گرفت. پس از چند دهه استفاده از FMEA در ایمنی، هم اکنون این روش به عنوان ابزاری موثر و کارا در فنون مهندسی کیفیت نیز جای خود را باز نموده، حتی در بعضی استانداردها (جزء الزامات QS 9000) است.

FMEA در ظاهر فقط یک فرم و یک قالب به نظر می‌رسد اما در حقیقت یک فرایند است و آنچه که به این فرم ارزش و اعتبار می‌بخشد محتوای آن است که ارزش آن تا حدود زیادی به خبره بودن و جامعیت دیدگاه کسانی بستگی دارد که آن را مورد استفاده قرار می‌دهند.

این روش برای ارزیابی ایمنی تهیه می‌شود و وجهه ایمنی فعالیتها یا رویه‌هایی که با فرایندهای موجود (تجزیه و تحلیل خطرات فرایند، بازبینی خطر فرایند، گزارش بررسی ایمنی و ...) که بر پایه خطرات بالقوه شناسایی شده توسط پرسنل یا سایر فرایندها (از قبیل ارزشیابی‌ها، تعداد وقوع، شدت آسیب‌ها، برنامه خودارزیاب و ...) سنجیده نمی‌شود را ارتقاء می‌دهد.

FMEA روشی است سیستماتیک که به دلایل: الف) شناسایی و اولویت‌بندی حالات بالقوه خرابی

در یک سیستم، محصول فرایند یا سرویس ب) تعریف و اجرای اقداماتی به منظور حذف یا کاهش میزان وقوع حالات بالقوه خرابی ج) ثبت نتایج تحلیل‌های انجام شده به منظور فراهم کردن مرجعی کامل برای مشکلات در آینده، انجام می‌گیرد.

این تکنیک تحلیلی و متکی بر قانون پیشگیری قبل از وقوع است که برای شناسایی عوامل بالقوه خرابی به کار می‌رود. دلیل طرح‌ریزی این تکنیک

1- Severity.

**محاسبه میزان ریسک خطرات:** ریسک به عنوان ترکیبی از احتمال وقوع یک پیامد مشخص و شدت پیامدهای آن بیان می‌شود. به منظور قضاوت در مورد خطرات ایمنی و بهداشت حرفه‌ای برای ارزیابی ریسک، با توجه به شرایط شرکت از فرمول زیر استفاده گردید.

شدت نتایج  $S \times$  احتمال بروز حادثه  $P^2 RPN =$   
بدین منظور برای تخصیص عدد مربوطه در فرم FMEA از جداولی با عنوان "جدول احتمال بروز خطر" که دامنه تغییرات آن بین ۱ (تقرباً غیرممکن) و ۱۰ (اجتنابناپذیر و قطعی) و "جدول شدت پیامدها" که دامنه تغییرات آن بین ۱ (قابل صرفنظر) و ۱۰ (شکست سیستم) بوده، استفاده گردید. شاخص ریسک بدست آمده (RPN) برای هر یک از خطرات در نهایت امکان طبقه‌بندی و اولویت‌بندی ریسکهای ارزیابی شده را فراهم می‌نماید. نمونه‌ای از این نوع طبقه‌بندی برای ارزیابی‌های انجام شده در این واحد به شرح جدول (۱) می‌باشد:

درجه اهمیت آنها	آغاز	در حال	پایان
۱	معمولاً اولویت‌بندی اقدامات اصلاحی و درجه اهمیت آنها بستگی به شرایط سازمان داشته و از یک سازمان به سازمان دیگر متفاوت می‌باشد، اما بدیهی است که برای مثال ریسک‌هایی که در طبقه‌بندی "بسیار مهم" جای گرفته‌اند باید لحظه‌ای از آنها غافل نشده و کنترل مداوم یا حذف دائمی شوند.		
۲	تعیین اقدامات کنترلی: بعد از محاسبه ریسک خطرات باید اقدامات کنترلی برای حذف یا کاهش هر حادثه ارائه شود. بهترین راه حل برای کاهش حوادث، حذف منابع خطر می‌باشد ولی این راه حل همیشه ممکن نیست و گاهی اوقات باید با محدود کردن منابع خطر، شدت و یا احتمال بروز حادثه را کاهش داد.		

1- Probability.

2- Risk Priority Number.

کاهش اندازه ریسک بپردازیم.

با وجود آنکه پیاده‌سازی FMEA سخت و زمان‌بر است و نیاز به دیدگاه تخصصی دارد ولی از آنجا که به تجزیه و تحلیل کلیه عوامل اصلی خطر می‌پردازد، دارای جامعیت بوده و کاربرد وسیعی در شناسایی و تحلیل خطرات و مشکلات بالقوه در سیستم، طرح محصول، فرایندهای تولید و ارائه خدمت دارد. به منظور کاربردی‌تر کردن روش FMEA و ساده نمودن قابلیت‌های استفاده از آن می‌توان از فرم تعديل شده FMEA استفاده نمود که در آن به اصول FMEA محدود نشده و چهره‌ای قابل انعطاف‌تر از آن ارائه می‌شود و با کمک آن می‌توان به شناسایی و ارزیابی نواقص ایمنی سیستم‌های موجود و دستیابی به اطلاعات جهت بهینه‌سازی و طراحی مجدد پرداخت.

در این روش فرم‌هایی مانند نمونه ذکر شده در این مقاله می‌تواند برای هر یک از پستها تعریف شود و با تجزیه و تحلیل اطلاعات جمع‌آوری شده در این فرم‌ها، به ارزیابی ریسک و تحلیل شرایط و ایجاد بهبود در وضعیت ایمنی دست یافت. لازم به ذکر است که فرم مذکور به نحوی برگرفته از روش FMEA است و با توجه به شرایط شرکت مورد بررسی، تهیه شده است و با توجه به نظر کارشناسان مربوطه بسته به استفاده و کاربرد آن می‌تواند تغییر کند.

ذیلاً به منظور شفاف‌سازی نحوه پر کردن فرم مذکور توضیحات بیشتری ارائه می‌گردد.

**خطر:** شناسایی اعمال و شرایط ناایمنی که بالقوه می‌تواند منجر به بروز حادثه برای کارکنان و یا خرابی در سیستم شود.

**پیامد:** مشخص نمودن اثرات بروز نقص در اجرای سیستم یا فرایند یا روش کار

جدول (۱)

میزان ریسک	درجه اهمیت
۸۰-۱۰۰	بسیار مهم
۶۰-۸۰	مهم
۴۰-۶۰	اهمیت متوسط
۲۰-۴۰	کم اهمیت
زیر ۲۰	قابل تحمل

انجام هر اقدام کنترلی محاسبه شود. این پارامتر نشان‌دهنده میزان اثربخشی هر اقدام کنترلی در کاهش ریسک خواهد بود. در صورتیکه ریسک باقی‌مانده بالاتر از میزان ریسک قابل قبول باشد نشان‌دهنده کافی نبودن کنترلهای ارائه شده می‌باشد. میزان ریسک باقی‌مانده با در نظر گرفتن هزینه پیاده‌سازی هر اقدام کنترلی می‌تواند به عنوان معیاری برای تعیین کاربردی‌ترین کنترل به حساب آید.

## ۲- تحلیل ریسک حوادث برق منطقه‌ای به

### FMEA

برای حوادث و خطرات ایجاد شده در برق منطقه‌ای مورد نظر به تفکیک پست‌ها تحلیل ریسک انجام گرفت، به گونه‌ای که با توافق اعضاء گروه فرمهایی تهیه شد که بتواند خطرات منطقه را نشان داده، به ارائه راه حل و کنترل حوادث بپردازد. پس از طراحی فرم، خطرات ایجاد شده در هر پست لیست شده و پیامدهای حاصل از هر خطر معین گردید. سپس با توجه به مطالعات و پرسش‌های انجام شده از مهندسین، کارکنان و تعمیرکاران کابل‌های برق به رتبه‌بندی و عددی به خطرات و محاسبه RPN منجر گردید. خطراتی که بیشترین RPN را دارا بودند، اولویت‌بندی

- حذف منبع خطر (Elimination): در صورت امکان‌پذیری باید منابع خطر را حذف نمود. به طور مثال اگر تجهیزات دچار خرابی شوند باید با تعمیر آنها منبع خطر را حذف نمود.

- جایگزینی (Substitution): در برخی موارد می‌توان از مواد کم خطرتر یا روش‌های کاری کم خطرتر به جای رویه جاری استفاده نمود.

- ایزوله کردن (Isolation): منابع خطر باید از افرادی که درگیر با انجام کار نیستند جدا شود. برای این منظور می‌توان از ایزوله کردن محیط خطرناک استفاده نمود.

- حفاظت‌گذاری (Safeguarding): برای قسمتهای متحرک ماشین‌آلات باید از حفاظ استفاده شود و هرگز نباید هنگام استفاده از ماشین‌آلات حفاظ آن برداشته شود.

- پیروی از قوانین و دستورالعمل‌های کاری
- استفاده از وسایل حفاظت فردی (PPE)<sup>۱</sup>: در صورتی که استفاده از موارد کنترلی ذکر شده امکان‌پذیر نبوده و یا منجر به کاهش ریسک تا حد قابل قبول نگردد باید از وسایل حفاظت فردی مناسب استفاده شود. همچنین برای اطمینان از حفاظت کامل افراد در برابر حوادث وسایل حفاظت فردی مناسب بسیار مؤثر خواهند بود.

محاسبه ریسک باقی‌مانده: پس از شرح اقدامات کنترلی باید ریسک باقی‌مانده خطر پس از

فعالیت‌های پیشنهادی کاهش معیارهایی است که RPN زیاد ایجاد می‌کنند. در اینجا به ارائه چند راهکار می‌پردازیم:

- ۱- استفاده از سیستم‌های change over و یا PLC در شبکه توزیع فشار متوسط.
- ۲- رینگ کردن پست‌های ۲۰ کیلوولت
- ۳- سرویس‌های دوره‌ای و منظم بر روی پست‌های توزیع

خاصی برای انجام اقدامات کنترلی را به خود اختصاص دادند که می‌بایست به آنها توجه شود تا با این اقدامات و محاسبه دوباره RPN، از شدت و میزان ریسک آنها کاسته شود. جداول مربوط به تحلیل FMEA در ذیل آمده‌است.

### ۳- ارائه راهکار

روش FMEA روشی است که پس از انجام اقدامات کنترلی، معنی و ارزش می‌یابد. هدف

جدول (۲): فرم ارزیابی ریسک به روش FMEA

RPN	آغاز	د	کنترل	RPN	آغاز	د	پیامد	خطر
								فرخزاد اشکان
۴۲	۶	۷	استفاده از مواد اولیه مناسب و مرغوب، آموزش نیروی انسانی، تجربه کاری پرسنل فنی	۶۴	۸	۸	خوردشدن تجهیزات (کلمپ‌ها)	اتصالی کابل
۴۹	۷	۷	استفاده از کابل و سرکابل مناسب	۸۱	۹	۹	قطعی برق، قطع دیزکتور	ترکیدن پرتولین
۲۵	۵	۵	برهیز از عبور جریان از آن و اضافه بار پست‌ها به گونه‌ای که عملکرد پست‌ها در ظرفیت نامی آنها باشد	۵۶	۸	۷	قطعی برق	ترکیدن سرکابل
								فرخزاد فنی
۲۰	۶	۵	استفاده از مواد مرغوب و بازارسی‌های دوره‌ای	۴۰	۸	۵	قطعی برق	شکستن پایه و پارگی سیم
۱۲	۴	۳	بررسی دوره‌ای کلمپ‌های اتصالی بین جمپر و هادی	۱۵	۵	۲	قطع فاز	جدا شدن چمپر روی شبکه هوایی
								فرخزاد خوردین
۲۴	۶	۴	افزایش مقاومت پایه بتنی با تزریق ماده اشباع گرم در ۵۰ درجه سلسیوس بالا و پایین تیر و یا با روش بانداز با ورق الومینیوم فیراندود نمودن	۴۰	۸	۵	قطعی برق و اتصالی سیمهای	شکستن تیر
۲۰	۶	۵	بررسی دوره‌ای خط، استفاده از مقره‌هایی با استقامت مکانیکی زیاد و مقره‌های مخصوص ضد آسودگی	۴۹	۷	۷	کم شدن سطح عایقی مقره، سقوط یا جدا شدن هادی و اتصال سیمهای	شکستن مقره انتکائی
۴۹	۷	۷	حتی‌الامکان از کاشتن درخت در مسیر تیرها جلوگیری شود	۶۴	۸	۸	پاره شدن سیم‌ها، اتصال کوتاه و احیاناً آتش‌سوزی	برخورد درخت با تیر
۴۲	۷	۶	حتی‌الامکان از کاشتن درخت در مسیر تیرها جلوگیری شود	۷۲	۸	۹	بریدن سیم توسط بعضی از اشخاص	شاخه‌زنی
								استقلال بنیاد
۴۰	۸	۵	از نظر طراحی فاصله هادی‌ها با توجه به سرعت افقی و عمودی باد تعیین شود، و نصب Recloser، spacer	۵۶	۸	۷	پایین آمدن سطح عایقی مقره‌ها و تجهیزات که سبب خطا ای اتصالی و نشتی می‌شود، برخورد هادیها، اتصال کوتاه	بارندگی و باد
۳۰	۶	۵	بررسی دوره‌ای خط، استفاده از مقره‌هایی با استقامت مکانیکی زیاد و مقره‌های مخصوص ضد آسودگی	۴۹	۷	۷	کم شدن سطح عایقی مقره، سقوط یا جدا شدن هادی	ترکیدن مقره انتکائی

۱۵	۵	۲	تست کردن قبل از استفاده، در صورت عملکرد نادرست موارد زیر اعمال شود ۱) سفت کردن پیچ های اتصال ۲) اندازه گیری مقاومت در حالت وصل به آن ۳) تعیین زمان عملکرد سکسیونر	۳۰	۶	۵	عملکرد نادرست سکسیونر قابل قطع زیر بار	معیوب شدن سکسیونر قابل قطع زیر بار	
۲۲	۸	۴	نصب دستگاه recloser در اول خط توزیع و دستگاه sectionalizer در انشعبات	۵۴	۹	۶	اتصال کوتاه و احیاناً پارگی خط	افتادن شی روی خط نمایشگاه علامه	۵
۲۴	۶	۴	پرهیز از عبور جریان زیاد از آن و اضافه بار سرکابلهای به گونه ای که عملکرد سرکابل در ظرفیت نامی آنها باشد، عایق کاری خوب بین کابل و سرکابل	۴۸	۸	۶	قطعی برق و جدا شدن سر کابل از بدنه نیز، افتادن بر روی سیم های دیگر	عیب سرکابل هوایی	
۴۹	۷	۷	استفاده از کابل و سرکابل مناسب	۸۱	۹	۹	قطعی برق در نکتور	ترکیدن بر تولین	
۵۰	۶	۵	بررسی دوره ای خط، استفاده از مقره هایی با استقامت مکانیکی زیاد و مقره های مخصوص ضد آلدگی	۵۶	۸	۷	سقوط یا جدا شدن هادی	شکستن مقره	
۴۰	۸	۵	از نظر طراحی فاصله هادی ها با توجه به سرعت افقی و عمودی باد تعیین شود. از نظر بهره برداری استفاده از Spacer استفاده از recloser در ابتدای خط	۵۶	۸	۷	پایین آمدن سطح عایقی مقره ها و تجهیزات که سبب خطا اتصالی و نشتی می شود، برخورد هادی ها، اتصال کوتاه	بارندگی و باد	۶
۲۲	۸	۴	نصب دستگاه recloser در اول خط توزیع و دستگاه sectionalizer در انشعبات	۵۴	۹	۶	اتصال کوتاه و احیاناً پارگی خط	برخورد شبیه با خط	
۲۴	۶	۴	افزایش مقاومت پایه بتونی با تزریق ماده اشباع گرمدر ۰.۵ درجه سلسیوس بالا و پایین تیر و یا با روشن بانداز باورق الومینیوم قیر انبوش نمودن	۴۰	۸	۵	قطعی برق و اتصالی سیم ها	شکستگی تیر	
۴۰	۸	۵	از نظر طراحی فاصله هادی ها با توجه به سرعت افقی و عمودی باد تعیین شود. از نظر بهره برداری استفاده از spacer و استفاده از Recloser در ابتدای خطی	۵۶	۸	۷	پایین آمدن سطح عایقی مقره ها و تجهیزات که سبب خطا اتصالی و نشتی می شود، برخورد هادی ها، اتصال کوتاه	بارندگی زیاد	۷
۱۲	۴	۲	بررسی دوره ای کلمپ های اتصالی بین جمبر و هادی	۱۵	۵	۲	قطع فاز	جدا شدن جمبر	
۲۱	۷	۳	داشتن نقشه سیم ها در زیرزمین استفاده از نوار هشدار دهنده هنگام دفن کابل	۲۵	۷	۵	بریده شدن کابل و قطعی جریان	کلنگ خوردگی	
۲۵	۷	۵	داشتن نقشه سیم ها و استفاده از نوار هشدار دهنده هنگام دفن کابل	۴۲	۷	۶	قطعی برق	برخورد بیل مکانیکی با کابل	
۴۲	۷	۶	استفاده از مواد اولیه مناسب و مرغوب، آموزش نیروی انسانی، تجربه کاری پرستی فنی	۶۴	۸	۸	خوردہ شدن تجهیزات (کلمپ ها)	اتصال کابل	
۲۵	۵	۵	پرهیز از عبور جریان زیاد از آن و اضافه بار از سر کابل به گونه ای که عملکرد سر کابل در ظرفیت نامی آنها باشد، عایق کاری خوب بین کابل و سرکابل	۵۶	۸	۷	قطعی برق و جدا شدن سر کابل از بدنه نیز، افتادن بر روی سیم های دیگر	ترکیدن سر کابل	

								تمایشگاه وزارت کار	۹
۴۲	۶	۷	استفاده از مواد اولیه مناسب و مرغوب، آموزش نیروی انسانی، تجربه کاری پرسنل فنی	۶۴	۸	۸	خورد شدن تجهیزات (کلمپها)	انصالی کابل	
۲۴	۶	۴	عایق بندی خوب بین کابل و سرکابل	۴۹	۸	۶	جدا شدن سرکابل از بدنه تیر، افتادن پر روی خطوط دیگر، قطعی جریان	معیوب شدن سرکابل	
								یونک عادل	۱۰
۲۴	۶	۴	افزایش مقاومت پایه یتوئی با تزریق ماده اشباع گرم در ۵۰ درجه سلسیوس بالا و پایین تیر و یا با روش پانداز با ورق الومینیوم قیراندود نمودن	۴۰	۸	۵	قطعی برق و انصالی سیمها	شکستن تیر	
۴۲	۶	۷	استفاده از مواد اولیه مناسب و مرغوب، آموزش نیروی انسانی، تجربه کاری پرسنل فنی	۶۴	۸	۸	خورد شدن تجهیزات (کلمپها)	انصالی کابل	
۲۵	۵	۵	عبور جریان در حد ظرفیت سکسیونر	۴۹	۷	۷	از بین رفتن سکسیونر	ذوب سکسیونر	
۲۶	۶	۶	بررسی دورهای خط، استفاده از مقره هایی با استقامت مکانیکی زیاد و مقره های مخصوص ضد آسودگی	۴۹	۷	۷	سقوط یا جدا شدن هادی	ترکیدن مقره انتکابی	
۴۹	۷	۷	استفاده از کابل و سرکابل مناسب	۸۱	۹	۹	قطعی برق، قطع دزنکتور	ترکیدن پرتولین	
								یونک انسان	۱۱
۳۰	۵	۶	پرهیز از عبور جریان زیاد از آن و اضافه بار پستها به گونه ای که عملکرد پستها در ظرفیت نامی آنها باشد	۵۶	۸	۷	قطعی برق	ترکیدن سرکابل هوایی	
۴۰	۸	۵	از نظر طراحی فاصله هادی ها با توجه به سرعت افقی و عمودی از نظر بهره برداری استفاده از spacer باد تعیین شود استفاده از Recloser در ابتدای خط	۵۶	۸	۷	پایین آمدن سطح عایقی مقره ها و تجهیزات که سبب خطای نشتی می شود، برخورد هادی ها، اتصال کوتاه اتصالی	بارندگی باد و طوفان	
								یونک گذرنامه	۱۲
۲۵	۵	۵	پرهیز از عبور جریان زیاد از آن و اضافه بار سرکابل به گونه ای که عملکرد سرکابل در ظرفیت نامی آنها باشد	۵۶	۸	۷	قطعی برق و جریان	ترکیدن سرکابل	
۲۴	۶	۴	پرهیز از عبور جریان زیاد از آن و اضافه بار پستها به گونه ای که عملکرد پستها در ظرفیت نامی آنها باشد	۴۹	۷	۷	کم شدن سطح عایقی مقره، یا جدا شدن هادی	معیوب بودن مقره انتکابی	
۴۰	۸	۵	از نظر طراحی فاصله هادی ها با توجه به سرعت افقی و عمودی باد تعیین شود از نظر بهره برداری استفاده از recloser و spacer	۵۶	۸	۷	پایین آمدن سطح عایقی مقره ها و تجهیزات که سبب خطای اتصالی و نشتی می شود، برخورد هادی ها، اتصال کوتاه	بارندگی زیاد	
								بهود جلوخانی	۱۳
۱۲	۶	۲	رله های مورد استفاده در فیدر از نظر عملکرد چک شوند.	۱۸	۶	۲	عبور جریان اتصال کوتاه از سیستم و ذوب شدن کابل های خروجی	اشکال رله	
۴۰	۸	۵	از نظر طراحی فاصله هادی ها با توجه به سرعت افقی و عمودی از نظر بهره برداری استفاده از Recloser و spacer	۵۶	۸	۷	پایین آمدن سطح عایقی مقره ها و تجهیزات که سبب خطای نشتی می شود، برخورد هادی ها، اتصال کوتاه، اتصالی	بارندگی شدید و باد	
۴۰	۸	۵	نصب دستگاه recloser در اول خط توزیع و دستگاه sectionalizer در انشعابات	۵۶	۹	۶	اتصال کوتاه و احیاناً پارگی خط	برخورد شی با خط	

۲۵	۵	۵	پرهیز از عبور جریان زیاد از آن و اضافه بار سرکابل به گونه‌ای که عملکرد سرکابلهای در ظرفیت نامی آنها باشد	۵۶	۸	۷	قطعی برق و جریان	ترکیدن سرکابل هوایی	
۲۲	۴	۸	محکم و متعادل بستن	۴۵	۵	۹	پاره شدن خط، اتصال کوتاه	برخورد تیرچبلوک با خط	
۴۸	۶	۸	گذاشتن علامتهایی که نشان‌دهنده تیر قبل از محل تیر باشد استفاده از تیرهای بتونی و محکم فرسایش آن	۵۶	۷	۸	انصالی خطوط به یکدیگر و احیاناً پاره شدن، از میان رفتن استحکام مکانیکی تیر و فرسایش آن	برخورد اتومبیل با تیر	
۲۵	۵	۷	بررسی دورهای خط استفاده از مغزه انتکایی یا کیفیت خوب	۴۹	۷	۷	کم شدن سطح عایقی مقره، سقوط یا جدا شدن هادی	پونک رضا	۱۴
۲۵	۵	۵	پرهیز از عبور جریان زیاد از آن و اضافه بار سرکابل به گونه‌ای که عملکرد کابل در ظرفیت نامی آنها باشد، آب‌بندی خوب بین کابل و سرکابل	۵۶	۸	۷	جدا شدن سرکابل از بدنه تیر، افتادن بر روی خطوط دیگر و قطعی برق	ترکیدن سرکابل هوایی	
۴۰	۸	۵	از نظر طراحی فاصله هادی‌ها با توجه به سرعت افقی و عمودی باد تعیین شود. از نظر بهره‌برداری استفاده از spacer و نصب recloser در ابتدای خط	۵۶	۸	۷	پایین آمدن سطح عایقی مقره‌ها و تجهیزات که سبب خطای نشتی می‌شود، برخورد هادی‌ها، اتصال کوتاه اتصالی	بارندگی، باد و طوفان	
۴۰	۸	۵	از نظر طراحی فاصله هادی‌ها با توجه به سرعت افقی و عمودی باد تعیین شود. از نظر بهره‌برداری استفاده از spacer و نصب recloser در ابتدای خط	۵۶	۸	۷	پایین آمدن سطح عایقی مقره‌ها و تجهیزات که سبب خطای نشتی می‌شود، برخورد هادی‌ها، اتصال کوتاه	بهروز مجاهی	۱۵
۳۰	۶	۵	عایق‌کاری خوب بین کابل و سرکابل	۴۸	۸	۶	جدا شدن سرکابل از بدنه تیر، افتادن بر روی خطوط دیگر، قطعی جریان	ستارخان زاندار مری	۱۶
۲۰	۵	۴	تست کردن قبل از استفاده، در صورت عملکرد نادرست موارد زیر اعمال شود (۱) سفت کردن بیچهای اتصال (۲) اندازه‌گیری مقاومت در حالت وصل به آن (۳) تعیین زمان عملکرد سکسیونر	۴۲	۷	۶	عملکرد نادرست سکسیونر	معیوب شدن سکسیونر	
۱۰	۵	۲	بررسی دورهای کلمپ‌های اتصالی بین جمیر و هادی	۱۵	۵	۲	قطع برق	جدا شدن جمیر	

- ۱۰- اطمینان از مرغوبیت کالاهای خریداری شده
- ۱۱- طراحی مناسب و انجام اقدامات اصلاحی و نوسازی
- ۱۲- استفاده از فناوری‌های جدید
- ۱۳- تعیین pH خاک جهت نصب پایه‌ها و احداث شبکه هوایی و روشنایی معابر و تعیین مقاومت مخصوص خاک در طرح‌های کابل‌کشی
- ۱۴- رعایت شعاع خمس

- ۴- بازدید از خطوط توسط افراد مجاز
- ۵- استفاده از فیوزهای مناسب با جریان مجاز کابل و از نوع مرغوب
- ۶- جلوگیری از خوردگی خطوط در طول مسیر شبکه
- ۷- رعایت استانداردها در زمان اجرای پروژه‌های کابل‌کشی
- ۸- رعایت طول مجاز شبکه
- ۹- جلوگیری از افزایش بار در شبکه

- بروز و نوع خطرات را کاهش دهد و در تولید و راندمان کمک بیشتری نماید.
- ۲- تشکیل کمیته تجزیه و تحلیل حوادث و بررسی اشکالات اجرایی و آموزش‌های موردنیاز.
- ۳- کنترل برق‌های غیرمجاز
- ۴- استفاده هر چه بیشتر فناوری‌های جدید مانند اکیپ خط گرم به ویژه در فصل تابستان جهت سرویس پست‌ها و شبکه همزمان با توزیع برق
- ۵- خرید لوازم شبکه ضمن اخذ برگ مشخصات فنی و مطابقت آن با استانداردها و همچنین اخذ دستورالعمل سرویس - نگهداری و نصب و راهاندازی آنها.
- ۶- جلوگیری از دوباره‌کاری‌ها خصوصاً در مراحل اولیه کار مانند بازدیدهای اولیه برآورد لوازم تهیه دستور کار و ...
- ۷- اجرای پروژه کاملاً مطابق با استانداردها
- ۸- استفاده از رنگ‌های روشن برای ترانس‌ها، تأسیسات پست‌ها به منظور دفع بهتر حرارت و افزایش ظرفیت بارگذاری با توجه به دانش فنی ترمودینامیک
- ۹- کنترل نشت جریان سیستم داخلی مشترکین به وسیله نصب کلیدهای حفاظتی برای انجام درست و ایمن در مناطق برق پیشنهاد می‌گردد.

## ۵- مراجع

- ۱- ارزیابی و تحلیل ریسک در بررسی حوادث برق منطقه‌ای سعادت‌آباد. آذر ۸۳. شهرزاد خسروی. فرامرز فقیهی. سیما غایبلو. محدثه مجریان. ساناز جعفری‌نیا. حمیده عسگری
- ۲- استفاده از روش *FMEA* در ارزیابی ریسک خطرات ایمنی و بهداشت حرفه‌ای در یک شرکت تولید لوازم خانگی. آبان ۸۲. شهرزاد خسروی. مصطفی بختیار

- ۱۵- جلوگیری از آسیب عایق و پوشش کابل ناشی از فشارهای مکانیکی حین کابل‌کشی.
- ۱۶- استفاده از متعلقات استاندارد کابل‌ها
- ۱۷- رعایت انواع حفاظت‌های لازم
- ۱۸- نصب هوایش‌های سقفی
- ۱۹- شناخت و اجرای دستورالعمل‌های تعمیر و نگهداری به لحاظ افزایش عمر کابل‌ها
- ۲۰- اجرای عملیات شاخه‌زنی در مسیرهای شبکه‌های هوایی با هماهنگی شهرداری

## ۴- نتیجه‌گیری و پیشنهادات

با توجه به مطالب عنوان شده در این مقاله، حوادث برق در پستها مورد بررسی و تحلیل قرار گرفت. تحلیل جامع عنوان شده در مقاله روشی سیستماتیک و بنیادی و کاملاً عملی را برای شرکت‌های توزیع تبیین می‌نماید. حوادثی مانند ترکیدن پرتولین، اتصالی کابل، ترکیدن سرکابل، دارای میزان ریسک بالایی هستند که با استفاده از مواد اولیه مناسب و مرغوب کنترل و RPN آنها کاهش می‌یابد. حوادثی مانند بارندگی، باد، طوفان و برخورد اشیاء با خط حوادثی طبیعی هستند که باطراحی مناسب قابل کاهش می‌باشند. حوادثی مانند شاخه‌زنی و برخورد درخت با تیر نیز از عوامل خطرناکی هستند که می‌باشد حتی امکان از کاشتن درخت در مسیر تیرها جلوگیری شود. عوامل خطر دیگری نیز وجود دارند که روش‌های ذیل برای بالا بردن راندمان و کنترل بهتر حوادث پیشنهاد می‌گردد:

- ۱- علاوه بر روش‌های ذکر شده در مقاله می‌توان از تجزیه و تحلیل ایمنی شغلی، جهت افزایش راندمان کاری استفاده نمود که می‌تواند ابزار مفید و ایمنی برای مدیران باشد و همچنین احتمال

- design testing a practical case study [failure mode and effects analysis]," International Conference on Business of Electronic Product Reliability and Liability, 27-30 April 2004, pp. 72-76.
- 13- C.M. Spencer and S.J. Rhee, "Cost based failure modes and effects analysis (FMEA) for system of accelerator magnets," Proceedings of the Particle Accelerator Conference, PAC 2003., Vol 4. May 12-16 2003 pp. 2177-2179.
- 14- Z. Bluvband, P. Grabov, O. Nakar, "Expanded FMEA (EFMEA)," Reliability and Maintainability, Annual Symposium, Jan. 26-29, 2004, pp. 31-36.
- 15- Z. De Lemos, "FMEA software program for managing preventive maintenance of medical equipment," Bioengineering Conference, Proceedings of the IEEE 30<sup>th</sup> Annual Northeast, April 17-18, 2004, pp. 247-248.
- 16- Z. Alaywan and J. Allen, "California Electric Restructuring: a Broad Description of the Development of the California ISO," IEEE Transactions on Power System, Vol. 13, No. 4, November, pp 1445-1450, 1998.
- 17- Y. Hong, S.W. Tsia, and M. T. Weng, "Bidding Strategy Based on Artificial Intelligence For a Competitive Electric Market," IEE Proceeding, General Transmission and Distribution, Vol. 148, No. 2, pp 159-164, March 2001.
- 18- M. Apprill, "Regulations Impact on Restructuring," IEEE Potentials, pp. 11-13, December 1997/ January 1998.
- 19- M. Ilic and P. Skantze, "Electric Power Systems Operation by Decision and Control," IEEE Control Systems Magazine, pp 25-38, August 2000.
- 20- OHSAS18001: 1999, "occupational Health & Safety Management Systems
- ۳- متن الزامات OHSAS18001:1999 شرکت بازرگانی و کیفیت استاندارد ایران
- ۴- آئین نامه حفاظت و بهداشت کار، وزارت کار و امور اجتماعی
- ۵- دکتر مهربان. رضا . تجزیه و تحلیل عوامل شکست و آثار آن. نشر البرز ۱۳۷۸.
- 6- O.N. Gerek, D.G. Ece, "D analysis and compression of power-quality event data," IEEE Transactions on Power Delivery, Vol. 19, Issue 2, April 2004, pp.791-798.
- 7- O.N. Gerek, D.G. Ece, "Power Quality Event Detection Using Joint 2-D-Wavelet Subspaces," IEEE Transactions on Instrumentation and Measurement, Vol. 53, Issue: 4, Aug. 2004, pp. 1040-1046.
- 8- M. Wang, and A. V. Mamishev, "Classification of Power Quality Events Using Optimal Time-Frequency Representations - Part 1: Theory," IEEE Transactions on Power Delivery, Vol. 19, Issue: 3, July 2004, pp. 1488-1495.
- 9- R.A. Slavickas, and M.A. El-Kady, "A novel methodology for management decision in an electrical distribution utility," IEEE Transactions on Power Delivery, Vol. 19, Issue: 1, Jan. 2004, pp. 255-260.
- 10- S.M. Yacouba, and H. H. Ammar, "A Methodology for Architecture-Level Reliability Risk Analysis," IEEE Transaction on Software Engineering, Vol. 28, No. 6, June 2002, pp. 529-535.
- 11- A. Sneor, "Identifying FMEA the intercrossing method," Reliability and Maintainability Symposium, 2003, pp. 371-373.
- 12- T.T Chen, Yun-shiow Chen, Yun-Kung Chung, "Implementation of an enhanced FMEA system for the PCBA

Specification", British Standard Institute.

21- [http://www.maintenanceresourecs.com/Reference\\_Library / Failure Analysis](http://www.maintenanceresourecs.com/Reference_Library / Failure Analysis).

22- <http://www.safetylineWa.gov.au/pagebin>

خانم شهرزاد خسروی دارای لیسانس مهندسی صنایع از دانشگاه علم و صنعت ایران بوده و از اوایل سال ۱۴ همکاری خود را با قدس نیرو شروع کرده است. خانم خسروی ضمن همکاری با قدس نیرو دانشجوی کارشناسی ارشد رشته مهندسی صنایع می‌باشد. زمینه علاقمندی ایشان فعالیت در زمینه ارزیابی ریسک، مدیریت استراتژیک و مدیریت دانش است.

*Skhosravi @ ghods-niroo.com*

نگارنده در تهیه این مقاله از همکاری آقایان مهندس محمدموسی‌زاده (مدیریت محترم منطقه برق بیهقی)، مهندس مصطفی مدیری، مهندس آرش قهقایی (مسئول مناقصات داخلی پست‌ها و BOP نیروگاه بخش پیشنهادات شرکت پارسیان)، دکتر فرامرز فقیهی (مرکز تحقیقات فشار قوی و مواد مغناطیسی، دانشگاه علم و صنعت ایران) و مهندس یوسف گلچوبی، مهندس غایبلو، مهندس مجریان، مهندس جعفری‌نیا، مهندس عسگری، مهندس رمضانیان (مدیر مهندسی شرکت نام‌آوران) و همچنین پرسنل واحد حوادث منطقه برق سعادت‌آباد بهره‌مند شده و سپاسگزاری می‌نماید.

# ارائه روشی نوین در آنالیز برخورد صاعقه به دکل در سیستمهای فوق توزیع $63\text{kV}$ دو مداره با سیم گارد

علی فرشیدنیا

کارشناس برق - معاونت مهندسی شبکه‌های انتقال و توزیع

پیمان نادری

عضو هیأت علمی - دانشگاه آزاد اسلامی

چکیده:

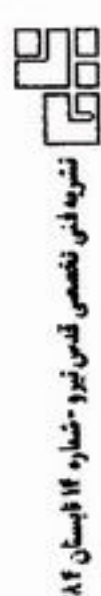
در این مقاله به بررسی حالت گذرای خطوط فوق توزیع  $63\text{kV}$  دو مداره با یک سیم گارد در برخورد صاعقه به قسمتی از خط که بطور طبیعی بین دو دکل قرار گرفته است و معیار محاسبات عایقی الکتریکی در مراحل طراحی این خطوط با نگرشی جدید در حوزه لاپلاس پرداخته می‌شود. این مقاله ضمن ساده سازی محاسبات، روش بدست آمده در آن را برای انواع خطوط با فاصله گذاریهای غیر یکسان در محاسبات اضافه ولتاژهای گذرای ناشی از صاعقه تعمیم می‌دهد. بررسی ولتاژ القایی در هادیهای فاز و همچنین ولتاژ بازویی دکل که زنجیر مقره‌ها به آن متصل می‌گردند ناشی از تاثیر مستقیم صاعقه به سیم گارد در حوزه لاپلاس بدست آمده و از روی آن ولتاژ قرار گرفته بر روی زنجیر مقره محاسبه گردیده وسیس با لاپلاس معکوس سریع، نتایج فوق در حوزه زمان حاصل می‌گردد. در نهایت با شبیه‌سازی یک خط نمونه  $63\text{kV}$  که دارای ابعاد و فاصله گذاریهای واقعی است و به کمک نرم افزار MATLAB صحت دیدگاه عملی روش فوق، با شبیه‌سازی برخورد صاعقه به وسط یک اسپن، ارائه می‌گردد.

**کلمات کلیدی:** صاعقه - حوزه لاپلاس - لاپلاس معکوس سریع - سیم گارد - ماتریس مدار

برای هر زنجیر مقره، ولتاژ هادی و بازوی مربوط به دکل محاسبه گردد و امروزه در غالب مطالعات و مقاله‌های بسیاری علاقمندی به چنین محاسباتی نشان داده شده است که از روش‌های موجود در چنین محاسباتی می‌توان به روش‌های بیولی، برژرون ولاپلاس اشاره نمود. در این مقاله ضریب وارده ناشی از اصابت صاعقه به سیم گارد واقع در حد فاصل بین ۲ دکل (اسپن)، در هادیهای فاز و بازویی مربوطه، در حوزه لاپلاس آنالیز می‌شوند. در ابتدا ولتاژ بالاترین نقطه دکل که همان محل اتصال سیم گارد با دکل است محاسبه، و با مدل‌سازی بدنه فلزی دکل با یک مقاومت توسط رابطه نمایی و در نظر گرفتن سرعت انتشار موج در آن، ولتاژ در بازویی مربوطه ناشی از هادیهای فاز که ۶ عدد می‌باشند را بدست آورده و از روی آنها اضافه ولتاژ ناشی از صاعقه در دو سر زنجیر مقره حاصل می‌گردد.

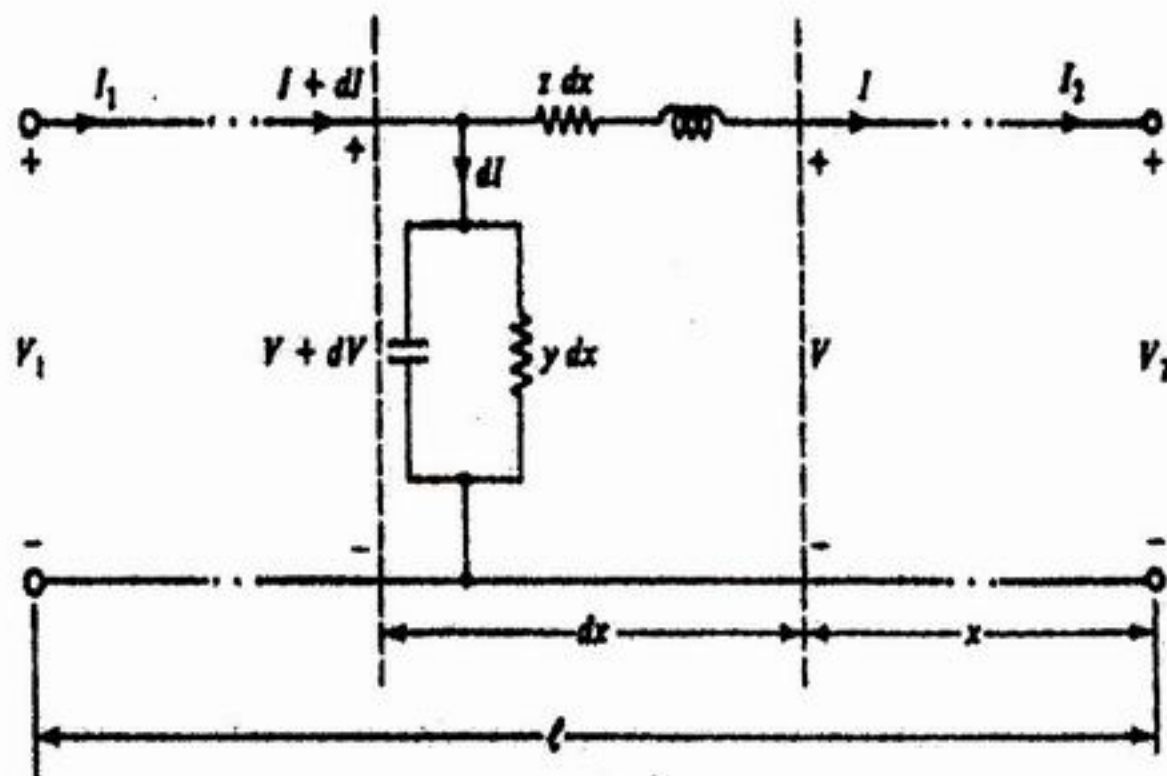
مقدمه:

برخورد صاعقه به هادی گارد در خطوط انتقال فوق توزیع که بطور معمول دارای چند هادی فاز و یک سیم گارد هستند می‌تواند سبب تخلیه الکتریکی مقره‌ها شود. این در حالیست که دلیل وجود هادی گارد جلوگیری از برخورد مستقیم صاعقه به هادیهای فاز است ولی از آنجاییکه بین هادیهای خط انتقال وجود القای مغناطیسی امری اجتناب‌ناپذیر است و ناشی از برخورد صاعقه به سیم گارد بوده که معمولاً در شبیه‌سازیها به صورت منبع جریان با توابع ریاضی بیان می‌شود، لذا ولتاژ القایی در هادیهای فاز و هر نقطه از بدنه دکل را بدنیال خواهد داشت که تفاضل این دو، اضافه ولتاژ حاصله در دو سر زنجیر مقره ناشی از صاعقه خواهد بود. حال در صورتیکه این ولتاژ سبب شکست الکتریکی عایقی شود، وقفه در نیروسانی و خاموشی خط را بدنیال خواهد داشت. بنابراین برای عدم بروز چنین حادثه‌ای می‌بایست



ماتریسها با توجه به وجود ۱ هادی گارد و ۶ هادی فاز (۳ هادی در هر مدار) شکل کلی سیستم آن مانند شکل (۲) است. بنابراین، این سیستم دارای ۷ هادی است و ماتریسهاي Z و Y نیز در ابعاد  $7 \times 7$  خواهند

**۱- آنالیز خط سه فاز ۲ مداره در حوزه لاپلاس**  
معادلات دقیق یک خط انتقال که یک عنصر دیفرانسیلی آن بصورت تک خطی در شکل (۱) نشان داده شده است بصورت زیر می‌باشد [۶]:



شکل (۱): عنصر دیفرانسیلی از خط

بود. ضمن اینکه عناصر این ماتریسها با در نظر گرفتن مدل حالت گذراي خط محاسبه می‌شوند و با مقادیری که در عملکرد حالت دائمي خط می‌گيرند متفاوت است. در ضمیمه این مقاله، روابط مربوط به محاسبات این ماتریسها بیان شده است

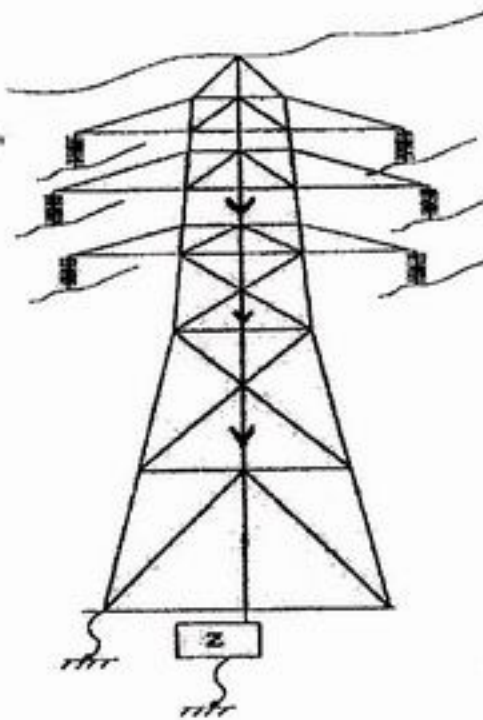
$$\frac{dV}{dx} = -ZI \quad (1-1)$$

$$\frac{dI}{dx} = -YV \quad (1-2)$$

که I و V به ترتیب ماتریسهاي فازوری جريان و ولتاژ و Y و Z به ترتیب ماتریسهاي ادمیتانس موازی و امپدانس سری خط انتقال هستند. ساختار این

$$Y = \begin{bmatrix} y_{11} & y_{12} & y_{13} & y_{14} & y_{15} & y_{16} & y_{17} \\ y_{21} & y_{22} & y_{23} & y_{24} & y_{25} & y_{26} & y_{27} \\ y_{31} & y_{32} & y_{33} & y_{34} & y_{35} & y_{36} & y_{37} \\ y_{41} & y_{42} & y_{43} & y_{44} & y_{45} & y_{46} & y_{47} \\ y_{51} & y_{52} & y_{53} & y_{54} & y_{55} & y_{56} & y_{57} \\ y_{61} & y_{62} & y_{63} & y_{64} & y_{65} & y_{66} & y_{67} \\ y_{71} & y_{72} & y_{73} & y_{74} & y_{75} & y_{76} & y_{77} \end{bmatrix} \quad (3)$$

$$Z = \begin{bmatrix} Z_{11} & Z_{12} & Z_{13} & Z_{14} & Z_{15} & Z_{16} & Z_{17} \\ Z_{21} & Z_{22} & Z_{23} & Z_{24} & Z_{25} & Z_{26} & Z_{27} \\ Z_{31} & Z_{32} & Z_{33} & Z_{34} & Z_{35} & Z_{36} & Z_{37} \\ Z_{41} & Z_{42} & Z_{43} & Z_{44} & Z_{45} & Z_{46} & Z_{47} \\ Z_{51} & Z_{52} & Z_{53} & Z_{54} & Z_{55} & Z_{56} & Z_{57} \\ Z_{61} & Z_{62} & Z_{63} & Z_{64} & Z_{65} & Z_{66} & Z_{67} \\ Z_{71} & Z_{72} & Z_{73} & Z_{74} & Z_{75} & Z_{76} & Z_{77} \end{bmatrix} \quad (4)$$



شکل (۲): ساختار یک خط ۳ فاز ۲ مداره با سیم گارد

با توجه به اینکه در یک خط انتقال مدت زمان رسیدن موج به انتهای خط به اندازه ثابت زمانی خط طول می‌کشد، در صورتیکه مدت زمان تحلیل از آن کوچکتر انتخاب شود، نوع بار اتصالی به خط و در نتیجه جریانهای فاز تاثیری در محاسبات اضافه ولتاژ ندارند بنابراین با صفر فرض کردن جریانهای فازی، روابط زیر حاصل می‌شوند:

$$[V_s] = [A][V_R] \quad (7)$$

$$[I_s] = [C][V_R] \quad (8)$$

$$[V_s] = [A][C]^{-1}[I_s] \quad [E] = [A][C]^{-1} \quad (9)$$

با در نظر گرفتن ۷ هادی، در صورتیکه هادی ۱ هادی گارد و هادیهای ۲ و ۳ و ۴ به ترتیب فازهای a و b و c مدار ۱ و هادیهای ۵ و ۶ و ۷ به ترتیب فازهای a، b و c مدار ۲ باشند، و صاعقه به صورت یک منبع جریان به هادی گارد برخورد نماید، معادله (۹) بصورت زیر بازنویسی می‌شود. شکل (۳) چنین سیستمی را نمایش میدهد که در آن  $Z_g$  امپدانس پایه دکل و  $Z_e$  امپدانس مدل صاعقه می‌باشد.

مقادیر ولتاژ و جریان به فاصله  $\gamma$  از طرف گیرنده بصورت زیر است [۶]:

$$\begin{bmatrix} V_s \\ I_s \end{bmatrix} = \begin{bmatrix} [\cosh(\gamma)] & [z_C] & [\sinh(\gamma)] \\ [z_C^{-1}] & [\sinh(\gamma)] & [\cosh(\gamma)] \end{bmatrix} \begin{bmatrix} V_R \\ I_R \end{bmatrix} \quad (4)$$

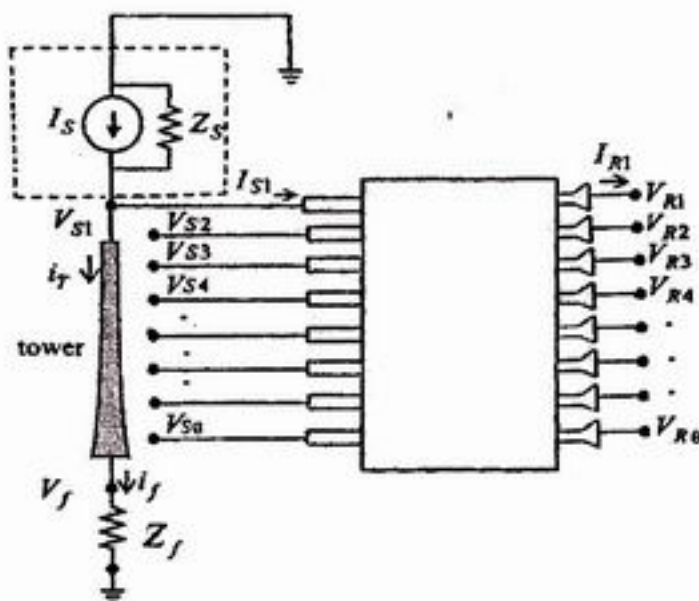
که تمامی زیرماتریسهای معادله (۴) با ابعاد  $7 \times 7$  هستند و در آنها  $Z_C = \sqrt{Z_{\gamma,y}} = \sqrt{ZY}$  به ترتیب ثابت انتشار

و امپدانس مشخصه نامیده می‌شوند و به صورت ماتریسی واژروابط (۲) و (۳) قابل محاسبه می‌باشند. براساس تئوری بکار رفته در [۹]، برای یک خط متقارن جایگزین شده با سیم گارد زمین شده، رابطه زیر حاصل می‌گردد:

$$\begin{bmatrix} V_s \\ I_s \end{bmatrix} = \begin{bmatrix} [\cosh(\gamma)] & [z_C/2] & [\sinh(\gamma)] \\ [z_C^{-1}/2] & [\sinh(\gamma)] & [\cosh(\gamma)] \end{bmatrix} \begin{bmatrix} V_R \\ I_R \end{bmatrix} \quad (5)$$

که فرم فشرده معادله فوق بصورت زیر است:

$$\begin{bmatrix} [V_s]_{7 \times 1} \\ [I_s]_{7 \times 1} \end{bmatrix} = \begin{bmatrix} [A]_{7 \times 7} & [B]_{7 \times 7} \\ [C]_{7 \times 7} & [D]_{7 \times 7} \end{bmatrix} \begin{bmatrix} [V_R]_{7 \times 1} \\ [I_R]_{7 \times 1} \end{bmatrix} \quad (6)$$



$$\begin{bmatrix} V_{S1} \\ V_{S2} \\ V_{S3} \\ V_{S4} \\ V_{S5} \\ V_{S6} \\ V_{S7} \end{bmatrix} = \begin{bmatrix} e_{11} & e_{12} & e_{13} & e_{14} & e_{15} & e_{16} & e_{17} \\ e_{21} & e_{22} & e_{23} & e_{24} & e_{25} & e_{26} & e_{27} \\ e_{31} & e_{32} & e_{33} & e_{34} & e_{35} & e_{36} & e_{37} \\ e_{41} & e_{42} & e_{43} & e_{44} & e_{45} & e_{46} & e_{47} \\ e_{51} & e_{52} & e_{53} & e_{54} & e_{55} & e_{56} & e_{57} \\ e_{61} & e_{62} & e_{63} & e_{64} & e_{65} & e_{66} & e_{67} \\ e_{71} & e_{72} & e_{73} & e_{74} & e_{75} & e_{76} & e_{77} \end{bmatrix} \begin{bmatrix} I_{S1} \\ 0 \\ 0 \\ 0 \\ 0 \\ 0 \\ 0 \end{bmatrix} \quad (10)$$

شکل(۳): مدار معادل سیستم بی با روابط زیر مذکور نماید

$$V_{S1} = \frac{e_{11}}{e_{11}Y(S)} I_{S1} \quad (14-1)$$

$$V_{S2} = \frac{e_{21}}{e_{11}Y(S)} I_{S1} \quad (14-2)$$

$$V_{S3} = \frac{e_{31}}{e_{11}Y(S)} I_{S1} \quad (14-3)$$

$$V_{S4} = \frac{e_{41}}{e_{11}Y(S)} I_{S1} \quad (14-4)$$

$$V_{S5} = \frac{e_{51}}{e_{11}Y(S)} I_{S1} \quad (14-5)$$

$$V_{S6} = \frac{e_{61}}{e_{11}Y(S)} I_{S1} \quad (14-6)$$

$$V_{S7} = \frac{e_{71}}{e_{11}Y(S)} I_{S1} \quad (14-7)$$

حال روشی جهت تبدیل از حوزه لاپلاس به حوزه زمان ارائه می گردد.

## ۲- تبدیل ولتاژهای فازی از حوزه لاپلاس به

### حوزه زمان

برای تبدیل از حوزه لاپلاس به حوزه زمان تابع  $F(S)$  رابطه زیر استفاده می شود :

$$f(t) = \int_{\gamma - j\infty}^{\gamma + j\infty} F(S) e^{St} dS \quad (15)$$

ولی رابطه فوق فقط برای برخی توابع خاص بوده و عمومیت ندارد. از این رو فرم عددی این معادله بیشتر به کار میروند که در این فرم خواهیم داشت:

بنابراین رابطه ماتریسی (۱۰) را می توان با معادلات زیر بیان کرد:

$$V_{S1} = e_{11} I_{S1} \quad (11-1)$$

$$V_{S2} = e_{21} I_{S1} \quad (11-2)$$

$$V_{S3} = e_{31} I_{S1} \quad (11-3)$$

$$V_{S4} = e_{41} I_{S1} \quad (11-4)$$

$$V_{S5} = e_{51} I_{S1} \quad (11-5)$$

$$V_{S6} = e_{61} I_{S1} \quad (11-6)$$

$$V_{S7} = e_{71} I_{S1} \quad (11-7)$$

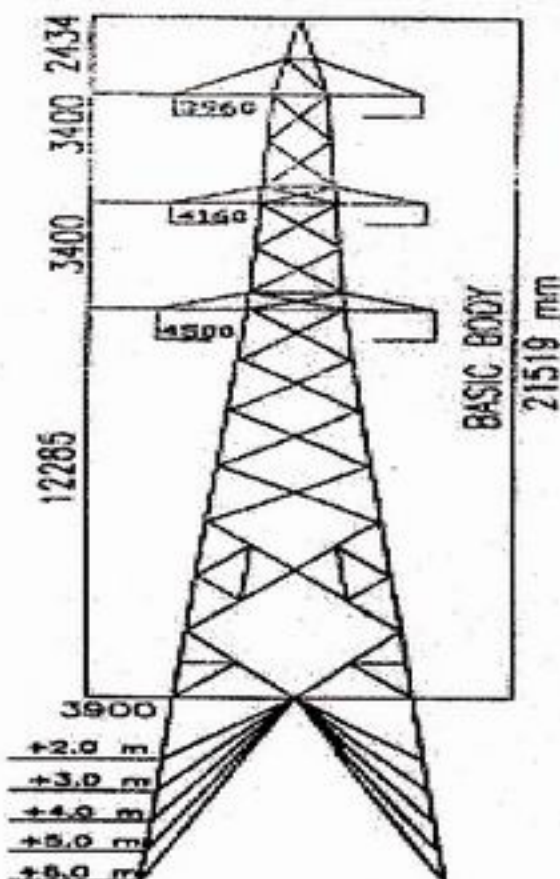
حال برای بدست آوردن ولتاژ هایی می باشد  $I_{S1}$  معلوم باشد که برای اینکار باید ولتاژ سر دکل یعنی محل اتصال هادی گارد با دکل را بدست آورد. برای اینکار با توجه به تئوری بکار رفته در [۱۰] میتوان از معادله زیر استفاده کرد:

$$V_{S1} = \frac{I_{S1}}{Y(S)} \quad (12)$$

$$Y(S) = \frac{1}{Z_s} + \frac{1}{e_{11}} + \frac{1}{Z_{TF}} \quad (13)$$

که  $Z_{TF}$  امپدانس دیده شده از سر دکل تا زمین است. حال با جانشینی معادله (۱۳) در (۱۲) و با توجه به اینکه  $I_{S1}$  معلوم است، مقدار  $V_{S1}$  بدست آمده و با قرار دادن آن در معادلات (۱۱) روابطی برای ولتاژ هایی مذکور می آید که همگی در حوزه لاپلاس هستند، به نحوی که :

استفاده از آن، اضافه ولتاژ در هریک از بازوهای دکل که زنجیر مقره به آن متصل است محاسبه میگردد، ضمن اینکه مقاومت اهمی در سر دکل ۲۲۰ و در پایین دکل ۱۵۰ و مقاومت پایه دکل ۱۷ مقاومت زمین نیز صفر اهم در نظر گرفته شده است. همچنین فرض شده تمامی ۷ هادی از نوع LYNX بوده و که در دمای ۲۰ درجه سانتیگراد دارای مقاومت اهمی  $1588 \text{ m}\Omega/\rho\text{m}$  هستند و در آنها  $\text{GMR} = 27 \times 10^3 \text{ m}$  میباشد. نتایج شبیه سازی به همراه روابط مربوط به چگونگی محاسبات ماتریسها ایمپدانس و ادمیتانس حالت گذرا، در ضمیمه آورده شده است.



شکل (۴): دکل ۶۳ KV نوع NN-1

##### ۵- نتیجه گیری و پیشنهاد

در این مقاله نشان داده شد که با استفاده از ماتریس ضرایب خط و روش لابلس، محاسبات اضافه ولتاژ وقتی صاعقه به دکل برخورد می نماید تا چه حد امکان پذیر است. با مدل سازی بدنه فلزی دکل با یک خط تکفار، ولتاژ در سر دکل و بازوها محاسبه شده، و

(۱۶)

$$f_{ee}^{kp}(t, a) = \left( e^{\frac{a}{t}} \right) \left[ \sum_{n=1}^{k-1} F_n + \left( \sqrt{\frac{1}{2^{p+1}}} \right) \sum_{n=0}^p A_{np} E_{k+n} \right]$$

$$F_n = (-1)^n \operatorname{Im} F \{ [a + j(n - 0.5)\pi]/t \} \quad (17)$$

$$A_{pp} = 1, \quad A_{pn} = A_{pn} + \binom{p+1}{n} \quad (18)$$

##### ۳- محاسبه ولتاژ در بازوهای دکل

اگر مقاومت اهمی بالاترین نقطه دکل  $R_1$  و پایین ترین نقطه آن  $R_2$ ، مقاومت دکل را با توجه به شکل هندسی آن می توان با یک رابطه نمایی به شکل  $Z(x) = R_1 e^{kx}$  بیان کرد که  $k$  با توجه به  $R_2$  محاسبه می شود.  $x$  فاصله از سطح زمین است. برای مدل سازی دکل میتوان از مدل خط تکفار غیر همنگ با سرعت انتشار نور یعنی  $300 \text{ m}/\mu\text{s}$  و با معین بودن ولتاژ سر دکل یعنی  $V_{S1}$ ، ولتاژ در بازوهای دکل بدست می آید [2,10].

##### ۴- شبیه سازی یک خط نمونه

برای شبیه سازی در این مقاله، فرض میشود که یک صاعقه به شکل شیب با دامنه  $p u$  و زمان صعود  $63 \text{ ns}$  به سیم گارد در فاصله  $10 \text{ m}$ تری دکل  $63 \text{ kV}$  برخورد نماید. شکل (۴) نمونه واقعی این دکل را نشان میدهد که از نوع NN-1 بوده و در آن فاصله هادیها از هم نیز با توجه به شکل، قابل محاسبه میباشد. با استفاده از روابط مربوط به محاسبات در حالت گذرای ماتریسها ایمپدانس و ادمیتانس که در ضمیمه آورده شده است ماتریسها  $Y$  و  $Z$  بصورت ذیل خواهند بود. با در نظر داشتن  $l = 10 \text{ m}$  در رابطه (۵) و با بدست آوردن  $Z_e$  و  $Y$  ماتریس  $E$  در رابطه (۱۰) بدست آمده، و با جایگذاری منبع جریان، در حوزه لابلس در معادله (۱)، اضافه ولتاژ هر یک از ۷ هادی در حوزه لابلس محاسبه می شود که اضافه ولتاژ هادی ۱، اضافه ولتاژ سر دکل خواهد بود و با

- analysis", IEEE Proc.-Gener, Transm. Distrib., vol. 143, no. 3, May 1996.
- [5] M.E. Almeida, and M.T. Correia De Barros, "Tower modeling for lightning surge analysis using Electro-Magnetic Transient Program", IEEE Proc.-Gener, Transm. Distrib., Vol. 141, no. 6, November 1994
- [6] M.S. Mamis, and M. Koksal, "Transient analysis of nonuniform lossy transmission lines with frequency dependent parameters", Electric Power Systems Research, 52,(3), pp.223-238,1999.
- [7] H. Karrenbauer, Propagation of traveling waves on overhead shape line faults, Ph.D. Thesis, Munch, Germany, 1967(in German)
- [8] T.Mozum, "Numerical electromagnetic field analysis of archorn voltage during a back-flashover on a 500-kv twin-circuit line", IEEE Trans.on Power Delivery,vol.18, no.1, pp. 207-213,January 2003
- [9] J.A. Gutierrez R., P. Moreno, J.L.Naredo, L. Guardado, "Non Uniform line tower model for lightning transient studies", 4th Int conference on power system Transient ISP 01,Rio de Janeiro,Brazil,2003.
- [10] M.S. Mamis, and M.,Koksal , "lightning surge analysis using Nonuniform single phase line model", IEEE Proc-Gener.Transm.Distrib., vol. 148,no 1,January 2001

آقای علی فرشیدنیا دارای لیسانس مهندسی برق از دانشکده فنی دانشگاه تهران و فوق لیسانس مهندسی برق (قدرت) از دانشگاه صنعتی خواجه نصیرالدین طوسی می باشد. ایشان دارای ۳ سال سابقه کار بوده که یکسال آن در قدس نیرو است. زمینه کاری و علاقمندی آقای فرشیدنیا حالت گذرا در سیستم های قدرت می باشد.

آقای پیمان نادری دانشجوی دکترای مهندسی برق دانشگاه صنعتی خواجه نصیرالدین طوسی بوده و همچنین عضو هیئت علمی دانشگاه آزاد بروجرد می باشد. ایشان به مدت ۲ سال با شرکت مهندسین مشاور مدیرنیرو گستر همکاری داشته اند. زمینه علاقمندی ایشان مطالعات سیستم قدرت می باشد.

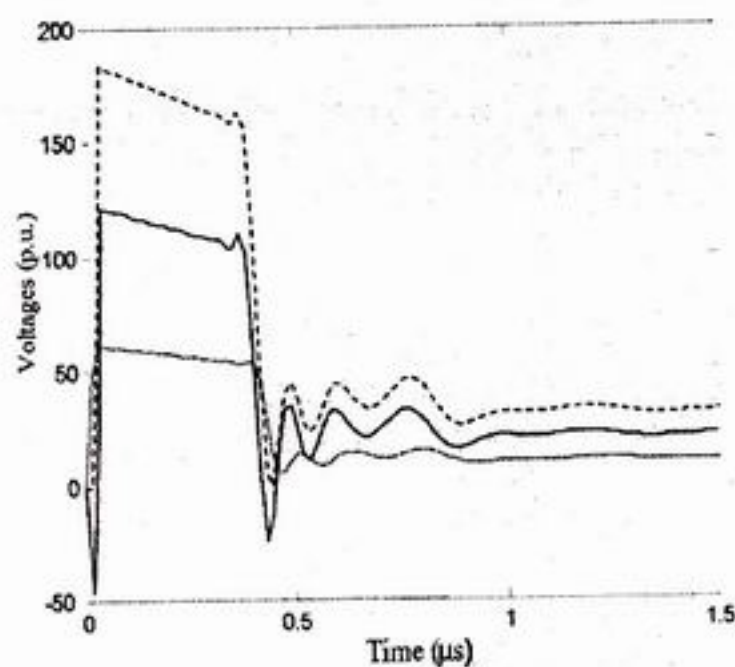
با استفاده از ماتریس ضرایب خط ولتاژ هادیها در محل اصابت صاعقه در حوزه لاپلاس بدست می آید که با استفاده از لاپلاس معکوس سریع، این مقادیر به حوزه زمان برده می شوند. نتایج حاصله در شبیه سازی انجام شده در این مقاله نشان میدهد که بیشترین اضافه ولتاژ در دو سر زنجیر مقره فاز پایینی قرار میگیرد و این بدلیل فاصله بیشتر هادی متصل به این زنجیر مقره با محل اصابت صاعقه و در نتیجه القا کمتر ولتاژ در آن است و این در حالی است که کاهش دامنه شبیه سازی نشان می دهد که پیک ولتاژ سر دکل حدود  $180\text{ pu}$  و پیک ولتاژ دکل در موقعیت فاز پایین حدود  $170\text{ pu}$  می باشد. بنا بر این قرار گیری بیشترین اضافه ولتاژ در زنجیر مقره پایینی توجیه پذیر است و در نتیجه، پایین ترین فاز ملاک ایزولاسیون خط در اضافه ولتاژ ناشی از صاعقه خواهد بود. در یک مطالعه دقیق تر می توان این اضافه ولتاژها را در خطوط با تعداد مدارات بیشتر یا در دکل های مجاور با دکلی که صاعقه به آن اصابت نموده است محاسبه نمود. همچنین برای انجام یک کار بهتر می توان بدنی فلزی دکل را با تعدادی خط تکفاز متصل به هم با امپدانسهای مشخصه متفاوت، مدل سازی نمود و با اضافه ولتاژ های مربوطه را از تئوری مдал محاسبه و با روش بکار رفته در این مقاله مقایسه نمود.

## ۶- مراجع:

- [1] M. Kawai, "studies of the surge response on a transmission line tower", IEEE trans., PAS-83,pp.30-34,1964
- [2] M. Ishii,et. all., "Multistory transmission tower model for lightning surge analysis", IEEE Trans .on power Del.,vol.6, no. 3,pp.1327-1335,July 1991.
- [3] T. Yamada, at all., "Experimental evaluation of a UHV tower model for lightning surge analysis", IEEE Transactions on power Delivery,vol. 10,no. 1,pp.393-402,1995
- [4] Hara, N.,and Yamamoto,O., "modeling of a transmission tower for lightning surge

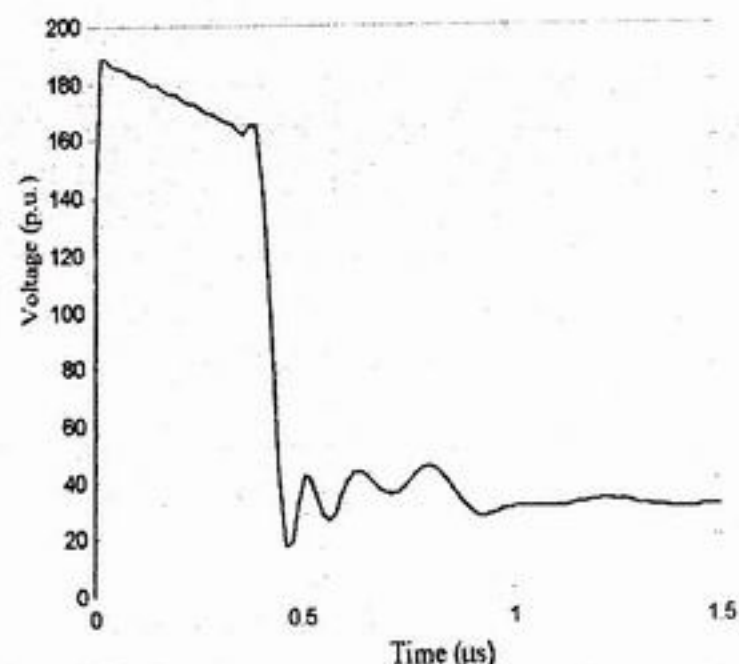
## ضمیمه ۱ - نتایج شبیه سازی

خط پر رنگ: ولتاژ در هادی فاز



شکل (۶): ولتاژ در فاز بالایی

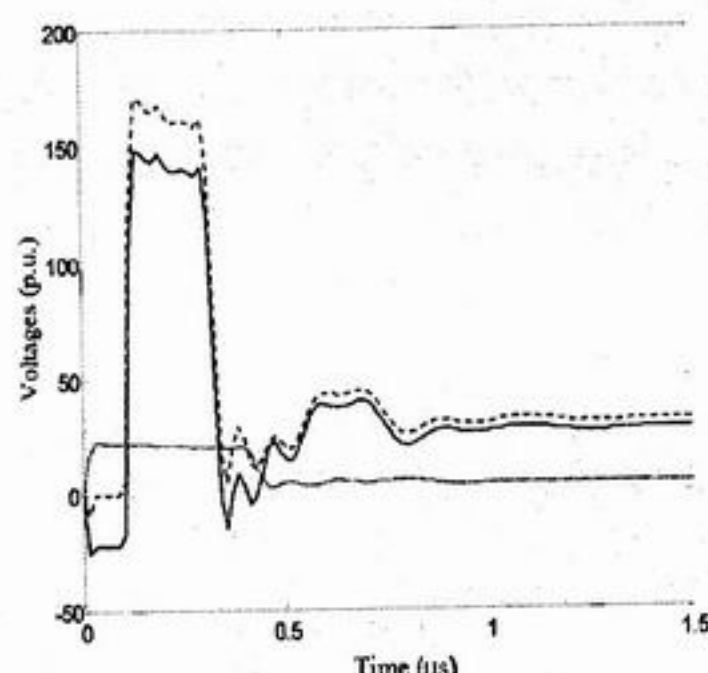
خط کمرنگ: ولتاژ دو سر زنجیر مقره



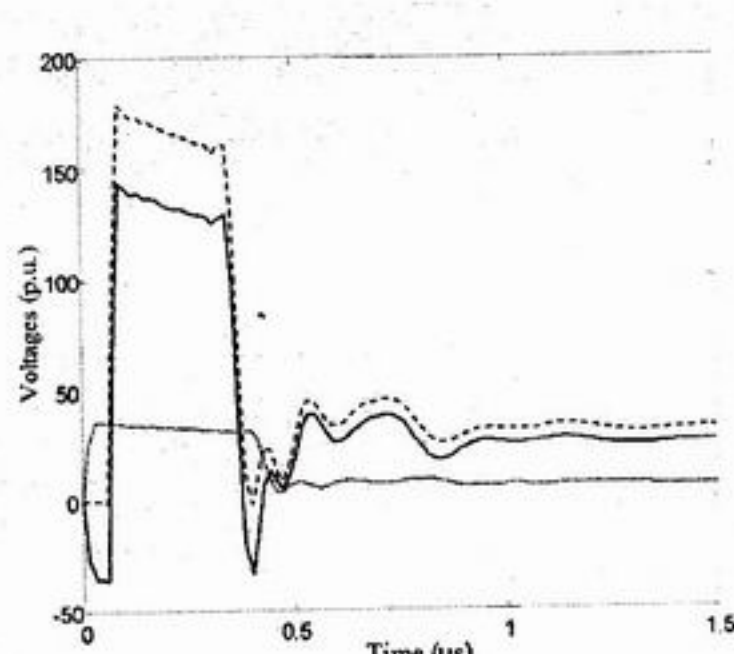
شکل (۵): ولتاژ در بالاترین نقطه دکل

در شکل های عو۷ و ۸:

خط چین: ولتاژ دکل



شکل (۸): ولتاژ در فاز پایینی



شکل (۷): ولتاژ در فاز وسط

$D_{ij} (m)$	فاصله افقی بین هادیهای i,j:
$GMR_i (m)$	شعاع هندسی هادی i:
$R_i (\Omega / m)$	مقاومت اهمی هادی i:
	برای بدست آوردن ماتریس Y در حالت گذرا در یک خط با چند هادی، که عنوان رابطه (۳) در متن مقاله آورده شده است:

ابتدا ماتریس p به صورت زیر محاسبه می‌گردد:

$$p_{ij} = \frac{1}{2\pi\epsilon_0} Ln \frac{\sqrt{(H_i + H_j)^2 + D_{ij}^2}}{\sqrt{(H_i - H_j)^2 + D_{ij}^2}}$$

$$P_i = \frac{1}{2\pi\epsilon_0} Ln \frac{2H_i}{r_i}$$

که  $r_i$  شعاع هادی i می‌باشد. حال ماتریس ادمیتانس

از روی ماتریس p و بصورت زیر محاسبه می‌شود:

$$Y = j\omega P^{-1}$$

## ضمیمه ۲- چگونگی محاسبات ماتریس‌های امپدانس و ادمیتانس خط در حالت گذرا

برای بدست آوردن عناصر ماتریس Z در حالت گذرا در یک خط با چند هادی، که عنوان رابطه (۲) در متن مقاله آورده شده است:

$$p = \frac{1}{\sqrt{s\mu_0\sigma}}$$

$$Z_{ii} = R_i + \frac{\mu_0}{2\pi} s \ Ln \frac{2(H_i + p)}{GMR_i} \quad \Omega / m$$

$$Z_{ij} = \frac{\mu_0}{2\pi} s \ Ln \frac{\sqrt{(H_i + H_j + 2p)^2 + D_{ij}^2}}{\sqrt{(H_i - H_j)^2 + D_{ij}^2}} \quad \Omega / m$$

که در آنها:

$s = j\omega$  فرکانس مختلط:

$\sigma (s/m)$  کندوکتانس زمین:

$H_i (m)$ : فاصله هادی i تا زمین

## نجلا نجمی

### کارشناس نرم افزار مرکز رایانه - امور فنی

#### چکیده:

ویندوز 2003 از ابزاری برخوردار است که محدوده امنیتی و ابزار تحلیل (Configuration Security And Analysis Tool) نامیده می شود. این ابزار اجازه می دهد که خط مشی جاری سرور با خط مشی امنیتی لیست پایه که درون یک فایل الگو قرار دارد مقایسه گردد.

پایه، سرور فایل، سرور پرینت، سرور پایانه و یا  
حالت های متعدد دیگر عمل کند. یک سرور  
همچنین می تواند ترکیبی از این نقش ها را به  
عهده داشته باشد.

مشکل اینجاست که سرور در هر کدام از این  
نقش ها، نیازهای امنیتی خاص خودش را دارد.  
برای مثال، اگر قرار است که سرور شما در نقش  
یک سرور IIS کار کند، شما باید سرویس های  
IIS را فعال کنید، در حالی که اگر سرور قرار  
است فقط به عنوان یک سرور فایل و پرینت کار  
کند، فعال کردن IIS ریسک امنیتی بزرگی  
خواهد بود. این موضوع را به این دلیل مطرح  
کردیم که بدانید روش خاصی وجود ندارد که  
توانید در هر شرایطی آن را دنبال کرده و انتظار  
نتیجه از آن داشته باشید. نیازهای امنیتی یک  
سرور با توجه به نقش سرور و محیط سرور<sup>۱</sup>  
تفاوت های بسیاری دارند. روش های متعددی برای  
ایمن سازی یک سرور وجود دارد ولی فقط موارد  
ضروری و اساسی برای فعل کردن یک سرور  
فایل ساده و در عین حال ایمن، شرح داده  
خواهد شد. سعی خواهد شد مواردی مشخص  
گردد که سرور در نقش های مختلف کارهای

#### مقدمه:

اگر تا به حال از ویندوز سرور NT (ویندوز سرور 2000) استفاده کرده باشید، احتمالاً متوجه شده اید که مایکروسافت، آنها را به صورت پیش فرض، غیر ایمن طراحی کرده است. گرچه مایکروسافت ساز و کارهای امنیتی متعددی ایجاد نموده، اما نصب آنها به عهده کاربران است و این در حالی است که، مایکروسافت ویندوز 2003 را انتشار داد.

فلسفه جدید این است که سرور باید به صورت پیش فرض ایمن باشد. به طور کلی این ایده بسیار خوبی است، اما مایکروسافت نتوانست آن را به طور کامل پیاده کند. با اینکه ویندوز 2003 بدون شک ایمن تر از ویندوز NT یا ویندوز 2000 است، اما هنوز هم نقصانی در آن دیده می شود. در اینجا ما اعمال ساده ای را که شما می توانید برای ایمن تر کردن ویندوز سرور 2003 انجام دهید شرح می دهیم.

#### ۱- نقش خود را بدانید

شناخت نقش سرور در روند ایمن سازی بسیار حیاتی است. نقش های متعددی وجود دارد که ویندوز سرور ممکن است بر عهده داشته باشد.

برای مثال ویندوز سرور 2003 می تواند در نقش یک کنترل کننده دامنه<sup>۲</sup>، یک سرور عضو<sup>۳</sup>، سرور

1- Domain Controller

2- Member Server.

3- Server's Environment



لیست پایه برای کنترل کننده‌های دامنه و لیست دیگری برای سروزرهای IIS داشته باشد. ویندوز 2003 از ابزاری برخوردار است که محدوده امنیتی و ابزار (Security Configuration And Analysis Tool) تحلیل نامیده می‌شود. این ابزار به شما اجازه می‌دهد که خط مشی امنیتی جاری سرور را با خط مشی امنیتی لیست پایه که درون یک فایل الگو قرار دارد، مقایسه کنید. شما می‌توانید فایل‌های الگو را خودتان ایجاد کنید یا اینکه از یکی از انواع آماده آنها استفاده کنید. الگوهای امنیتی یک رشته متن براساس فایل‌های INF هستند که در فolder System Root / Security / Templates شده‌اند. ساده‌ترین روش برای آزمایش و تغییر الگوهای شخصی، از طریق کنسول مدیریت مایکروسافت (Microsoft Management Console) یا MMC است. برای باز کردن کنسول، دستور MMC را در خط دستور Run وارد کنید. وقتی که کنسول بالا می‌آید، دستور Add/ Remove Snap-in را نمایش می‌دهد. کلید Add را کلیک کنید، لیستی از تمام کنسول‌های Snap-in موجود را خواهد دید. الگوهای امنیتی Snap-in را از لیست انتخاب کنید و سپس کلیدهای Add، OK را کلیک کنید.

زمانی که الگوهای امنیتی Snap-in بالا آمد، می‌توانید هر کدام از الگوها را مشخص کنید. به هنگام مرور درخت کنسول، خواهید دید که هر الگویی از خط مشی گروه خود تقلید می‌کند و نام هر الگو، اهداف آن الگو را منعکس می‌کند. برای مثال HISECDC یک الگو با امنیت بالا برای کنترل کننده‌های دامنه (High Security Domain Controller) است. اگر قصد ایمن‌سازی یک سرور فایل را دارید، ما استفاده از الگوی SECUREWS را به شما

متفاوت انجام دهد اما حتماً به این نکته توجه داشته باشید که این اعمال در حکم یک راهنمای عمومی برای ایمن‌سازی همه انواع سرو نیست.

۲- امنیت فیزیکی

برای رسیدن به امنیت واقعی، سرور شما باید در مکان امنی قرار گیرد. معمولاً این به معنی قرار دادن سرور پشت درهای بسته است. امنیت فیزیکی بسیار مهم است زیرا بسیاری از بازارهای مدیریتی می‌توانند به عنوان ابزار هک کردن به کار گرفته شوند. هر شخصی با حداقل مهارت و با استفاده از چنین ابزارهایی در صورتیکه دسترسی فیزیکی به ماشین داشته باشد می‌تواند یک سرور را در عرض چند دقیقه هک کند. تنها راه جلوگیری از چنین حمله‌هایی قرار دادن سرور در یک محیط امن است. این در مورد هر سرور ویندوز 2003 صرف نظر از نقش آن، صادق است.

### ۳- ایجاد یک لیست پایه<sup>۱</sup>

در ویندوز سرور 2003 نیازهای امنیتی خود را مشخص کنید و به محض به کار گرفتن سرور موارد مربوطه در خصوص امنیت و سیاستهای مبتنی بر آنها را نیز فعال کنید.

بهترین روش در این زمینه ایجاد یک لیست پایه امنیتی است. این لیست شامل مدارک و تنظیمات مورد قبول امنیتی است. در اکثر شرایط تنظیمات لیست پایه شما براساس نقش سرور کاملاً فرق خواهد داشت.

بنابراین بهترین کار، ایجاد تعدادی لیست‌های پایه متفاوت است که بتوانید آنها را برای انواع مختلف سرور بکار ببرید. برای مثال، ممکن است شما یک لیست پایه پرای سرورهای فایل، یک

ویندوز تنظیمات امنیتی موجود در سرور شما را با فایل الگو مقایسه می‌کند. شما می‌توانید نتایج این مقایسه را با مرور در کنسول Security Configuration And Analysis مشاهده کنید. تنظیمات خطمشی هر گروهی، هم تنظیمات جاری و هم تنظیمات الگو را نمایش می‌دهد. وقتی که به این لیست دست می‌یابید، یعنی اینکه زمان اجرای خط مشی امنیتی مبتنی بر الگو فرا رسیده است، به همین منظور، برای آخرين بار روی Security Configuration And Analysis Configure Computer Now کلیک راست کنید و دستور را از منوی میانبر انتخاب کنید. آنگاه این ابزار خطمشی امنیتی کامپیوتر شما را برای هماهنگ شدن با خطمشی الگو تغییر می‌دهد. خطمشی‌های گروهی از یک خصلت موروثی برخوردارند.

یک خط مشی گروهی ممکن است در سطح کامپیوتر محلی، سایت، دامنه یا در سطح OU به کار رود. وقتی که شما یک سرویس امنیتی مبتنی بر الگو را نصب می‌کنید، در حقیقت در این سطوح کاربردی تغییر ایجاد می‌کنید. سایر خطمشی‌های گروهی به طور مستقیم تحت تأثیر قرار نمی‌گیرند، گرچه خطمشی‌های نهایی ممکن است باعث تغییری در تنظیمات نوعی خطمشی شود که از سطوح بالاتر به ارت برده شود.

#### ۴- تغییر دادن اعتبارهای داخلی

سالها مایکروسافت به شما توصیه کرده است که نام کاربر مدیر<sup>۱</sup> را تغییر دهید و قابلیت ایجاد کاربر مهمان<sup>۲</sup> را غیرفعال کنید تا به وضعیت امنیتی خوبی دست یابید. در ویندوز سرور

- 
- 1- Administrator Account.
  - 2- Guest Account.

توصیه می‌کنیم. با دقت در نوع تنظیمات این الگوشاید متوجه شوید که این الگو با وجود این‌تر کردن سرور نسبت به قبل، ممکن است جوابگوی نیازهای شما نباشد. تنظیمات امنیتی خاص ممکن است بیش از حد سختگیرانه یا اغماضگرانه باشد. توصیه می‌شود که یا با تغییرات جزئی در نوع تنظیمات موجود، آنها را با نیازهایتان متناسب کنید و یا خط مشی‌های جدیدی ایجاد کنید. شما می‌توانید به آسانی با کلیک راست روی فolder Windows Security Template C: Windows کنسول و انتخاب دستور New Template شده و از منوی ایجاد شده یک الگو (Template) جدید ایجاد کنید.

وقتی شما یک الگوی امنیتی را مطابق با نیاز خود ایجاد کردید، به گزینه Add Remove در صفحه Snap-in properties یک snap-in به نام Security Configuration And Analysis اضافه کنید. زمانی که snap-in بالا می‌آید، روی Security Configuration کلیک راست کنید و سپس دستور Open Database را از منو انتخاب کنید. Open را کلیک کنید، آنگاه دیتابیس لازم، با نامی که شما برایش در نظر گرفته بودید، ایجاد می‌شود. سپس روی Security Configuration Analysis کلیک راست کنید و دستور Template Import را از منوی میانبر انتخاب کنید. آنگاه لیستی از کلیه الگوهای موجود را خواهید دید. الگویی که تنظیمات امنیتی شما را در بر می‌گیرد، انتخاب کنید و سپس Open را کلیک کنید. پس از آنکه الگوی شما وارد شد، دوباره روی Security Configuration And Analysis کلیک راست کرده و دستور Analyze Computer Now را از منوی میانبر انتخاب کنید. ویندوز، مکانی برای نوشتن گزارش خطأ (error log) را در اختیار شما قرار می‌دهد. مسیر فایل را وارد کرده و OK را کلیک کنید. در این مرحله،

## ۵- نتیجه‌گیری

برای اینکه به وضعیت امنیتی خوبی دست یابید مایکروسافت توصیه کرده است که نام کاربر مدیر را تغییر دهید و قابلیت ایجاد کاربر مهمان را غیرفعال کنید که در ویندوز سرور 2003 به صورت پیش فرض قابلیت ایجاد کاربر مهمان غیرفعال شده است اما وظیفه تغییر نام مدیر سیستم همچنان بر عهده شما است. این تغییر نام ایده خوبی است زیرا هکرها و مهاجمان معمولی سعی می‌کنند تا به کاربر مدیر آسیب برسانند.

## ۶- مراجع

[www.google.com](http://www.google.com)

خانم نجلا نجمی دارای مدرک لیسانس مهندسی نرم‌افزار کامپیوتر از دانشگاه آزاد واحد قزوین بوده که از سال ۱۳۸۳ در شرکت مهندسین مشاور قدس نیرو مشغول به کار می‌باشد. زمینه علاقمندی خانم نجمی برنامه‌نویسی و سیستم‌های شبکه است.

[najmi@ghods-niroo.com](mailto:najmi@ghods-niroo.com)

2003، به صورت پیش‌فرض، قابلیت ایجاد کاربر مهمان غیرفعال شده است، اما وظیفه تغییر نام مدیر سیستم همچنان بر عهده شما است. این تغییر نام، ایده خوبی است زیرا هکرها و مهاجمان معمولی Administrator Account سعی می‌کنند تا به Administrator Account آسیب برسانند. تعداد زیادی از ابزارهای هک وجود دارد که می‌توانید نام اصلی Administrator Account را از طریق امتحان DSI پیدا کنید. متأسفانه شما نمی‌توانید این Account را تغییر دهید و به همین دلیل راهی برای جلوگیری از دستیابی به چنین Administrator Account به نام اصلی و تغییر توضیحات این Account به همه توصیه می‌شود و برای این کار دو دلیل وجود دارد:

اول اینکه بسیاری از هکرهای تازه کار یا غیرحرفه‌ای ممکن است از وجود چنین ابزارهایی اطلاع نداشته باشند و دوم آنکه تغییر نام Administrator Account امکان ردیابی و کنترل حملات روی این Account را برای شما فراهم می‌کند.

نکته دیگر مربوط به سرورهای عضو است. سرورهای Administrator Account داخلي Administrator Account خاص خود را دارند که کاملاً با دامنه فرق دارد. شما می‌توانید سیستمی ایجاد کنید که سرور عضو برای خود از یک نام Administrator Account و کلمه عبور جداگانه استفاده کند. هدف این است که اگر افرادی نام Administrator Account و کلمه عبور یک سرور عضو را پیدا کردند، نتوانند از طریق این اطلاعات بقیه سرورها را هک کنند. البته اگر شما وضعیت امنیتی فیزیکی خوبی در محل داشته باشید طبیعی است از آنجا که کسی نمی‌تواند به هیچ سروری دسترسی یابد نخواهد توانست Account محلی آن را هم پیدا کند.

# بررسی فرایند جوشکاری فولادهای غیرهمجنس و مشکلات آن

## رسول محرومی

کارشناس ارشد پژوهش‌های کنترل کیفیت - مدیریت مهندسی صنایع نیروگاهی

### چکیده:

در جوشکاری فولادهای غیرهمجنس مسائل و مشکلاتی به وجود می‌آید که بر عملکرد سازه و ضریب اطمینان آن تأثیرگذار است.

در این مقاله ابتدا سعی شده است جوشکاری فولادهای غیرهمجنس و نحوه تعیین ساختار جوش و انتخاب الکترود مناسب بیان شود و سپس مسائل و مشکلات جوشکاری فلزات غیرهمجنس شامل ایجاد ترک‌های گرم و سرد در منطقه جوش و مناطق اطراف آن، تنש‌های پسماند جوشی ناشی از متفاوت بودن خصوصیات مواد و همچنین روش‌های برطرف کردن مشکل یا جلوگیری از ایجاد آن مورد بررسی قرار گرفته است.

که بر عملکرد سازه و ضریب اطمینان آن  
تأثیرگذار است.

**۱- جوشکاری فولادهای غیرهمجنس**  
روشهای جوشکاری فلزات غیرهمجنس همانند روش‌های معمول جوشکاری است. روش‌های جوشکاری معمول نظیر جوشکاری با قوس الکتریکی، جوشکاری MAG/MIG و TIG برای جوشکاری فلزات غیرهمجنس نیز به کار می‌رود. جوشکاری فلزات غیرهمجنس، بدلیل وجود تفاوت در خواص متالورژیکی، فیزیکی و مکانیکی فلزات مورد جوشکاری، با مشکلاتی توان خواهد بود. مسائل و مشکلات ایجاد شده در جوشکاری فولادهای غیر همجنس، و به طور کلی مواد غیرهمجنس را می‌توان به دو دسته متالورژیکی و مکانیکی تقسیم‌بندی نمود. ایجاد ترک در منطقه جوش و مناطق اطراف آن از مشکلات متالورژیکی و تنش‌های پسماند جوشی ناشی از اختلاف خصوصیات مواد از مسائل مکانیکی مطرح در این زمینه می‌باشد.

### مقدمه:

اتصالات فولادهای غیرهمجنس در بخش‌های مختلف تأسیسات تبدیل انرژی و همچنین سازه‌های مختلف صنعتی کاربرد فراوان دارد. از کاربردهای این نوع اتصال می‌توان به اتصال نازل ورودی به مخازن تحت فشار در سیستم لوله‌کشی مورد استفاده در صنایع پتروشیمی و برخی از نیروگاهها به ویژه در نیروگاههای هسته‌ای اشاره نمود. در اینگونه مخازن به دلیل مسائل اقتصادی و مهندسی، مخزن یا راکتور، نازل و لوله‌های مربوطه از دو جنس مختلف فولاد ضدزنگ و فولاد کربنی بوده و اتصال این قسمتها از طریق جوشکاری ایجاد می‌گردد. جوشکاری یکی از مطمئن‌ترین و پرکاربردترین روش‌ها در اتصال فلزات در بخش‌های مختلف صنعتی می‌باشد اما با تمام برتریهای جوشکاری نسبت به سایر روش‌های اتصال مکانیکی قطعات، در جوشکاری فولادهای غیرهمجنس مسائل و مشکلاتی به وجود می‌آید

جوش سربه سر فلزات غیر همجنس نشان داده شده و با مقایسه نسبت به هم، خصوصیات هر مورد ذکر شده است. این اتصالات شامل جوشکاری با تکنیک Buttering به قسمت فولاد کربنی یا کم آلیاژی و همچنین جوشکاری مستقیم است. انتخاب تکنیک جوشکاری مناسب، به شرایط کاربری سازه بستگی دارد. در جوشکاری با تکنیک Buttering، از یک فیلر مخصوص علاوه بر فیلر مصرفی در ایجاد اتصال برای ایجاد لبه جوشکاری جدید استفاده می‌شود. فیلر مخصوص مورد استفاده در Buttering معمولاً طوری انتخاب می‌شود که مشکلات ناشی از اختلاف خصوصیات مواد کاهش یابد. در جوشکاری فولادهای کربنی به فولادهای آستانیتی با جوشکاری و با استفاده از فیلر Inconel، سطح قطعه فولاد آستانیتی پوشانده می‌شود. در ادامه جوشکاری بین سطح جدید که از جنس Inconel می‌باشد و فولاد کربنی و با استفاده از فیلر آستانیتی ایجاد می‌گردد.

نکته مهمی که در این عملیات باید مورد توجه قرار گیرد بررسی ویژه در مورد ترکیب فلز جوش و تنشهای پسماند ایجاد شده در اتصال است. این بررسی از نظر پیش‌بینی عیوب احتمالی در سازه پس از اتصال اهمیت دارد. همچنین این مهم برای پیش‌بینی خواص و استحکام سازه پس از عملیات بعدی یا در محیط کار ضروری می‌باشد. در این رابطه تکنیک جوشکاری و فیلر جوش مورد استفاده اهمیت بسزایی دارد.

فیلر جوشکاری که به طور وسیعی در اینگونه اتصالات استفاده می‌گردد مواد آستانیتی است که دارای مقدار مشخصی فریت باشد. چنانچه سازه در معرض دماهای بالای ایاسیکل های شدید حرارتی قرار داشته باشد الکترودهایی با پایه نیکل مانند Inconel مورد استفاده قرار می‌گیرد. جدول (۱) تعدادی از سیم جوشهای معمول مورد استفاده برای جوشکاری فلزات غیر همجنس را معرفی می‌کند.

در جدول (۲) برخی تکنیک‌های مورد استفاده در

جدول (۱): سیم جوشهای معمول مورد استفاده در جوشکاری فلزات غیر همجنس [۱]

Base metal composition examples		Types of applied welding additives or specifications
Carbon/low-alloy steels	Stainless steels	
Mild steel	Austenitic stainless steels	D309/309L
Low-alloy steel (High-strength steel)	SUS304/304L/347	D309MoL
(Cr-Mo steel)	SUS316/316L	D312
Cast steel/castings	Martensitic stainless steel and ferritic stainless steel SUS405, 410, 430	Inconel type** D430Nb D309/309L

xx برای استفاده در سیکلهای شدید حرارتی

جدول (۲): نمونه هایی از جوش سر به سر فلزات غیر همجنسب [۱]

Joint method type	Joint welding with Inconel Inconel buttering Stainless steel Carbon	Joint welding with Inconel Stainless steel Carbon steel	Joint welding with 308 Buttering with 308 Buttering with 309 Stainless steel sus308 Carbon steel	Joint welding with 309 Stainless steel Carbon steel
Procedure	1) Inconel buttering 2) SR 3) Joint welding (Inconel)	1) Joint welding with Inconel with preheating 2) With or without SR	1) Buttering with 309 type welding additive 2) Buttering with 308 type welding additive 3) SR 4) Joint welding (with 308 type welding additive)	1) Joint welding with 309 type welding additive with preheating 2) With or without SR
Quality evaluation	1) Carbon migration Excellent	Excellent	Good	Good
	2) Thermal stress Excellent	Excellent	Good	Good
	3) Corrosion resistance Excellent	Good	Excellent	Good
	4) Disbonding cracking of bond Excellent	Good	Excellent	Good

(۲)

$$\text{Chrome Equivalent} = \%Cr + \%Mo + 1.5\%Si + 0.5\%Nb$$

در دیاگرام شافلر محور افقی کرم معادل و محور عمودی نیکل معادل را مشخص می‌کند. با داشتن ترکیب شیمیایی، نیکل و کرم معادل طبق روابط (۱) و (۲) محاسبه شده و با ترسیم خطی موازی محور عمودی از نقطه کرم معادل روی محور افقی و موازی محور افق از نقطه نیکل معادل روی محور عمودی، نقطه مربوط به آن فلز بدست می‌آید. ترکیب این نقطه نشان دهنده ساختار معادل آن فلز است و با توجه به اینکه نقطه مزبور در کدامیک از مناطق مشخص شده دیاگرام قرار گیرد، ساختار آستنیتی، مارتزیتی و یا فریتی برای فلز مورد نظر پیش‌بینی می‌شود. شکل (۱) این دیاگرام را نشان می‌دهد.

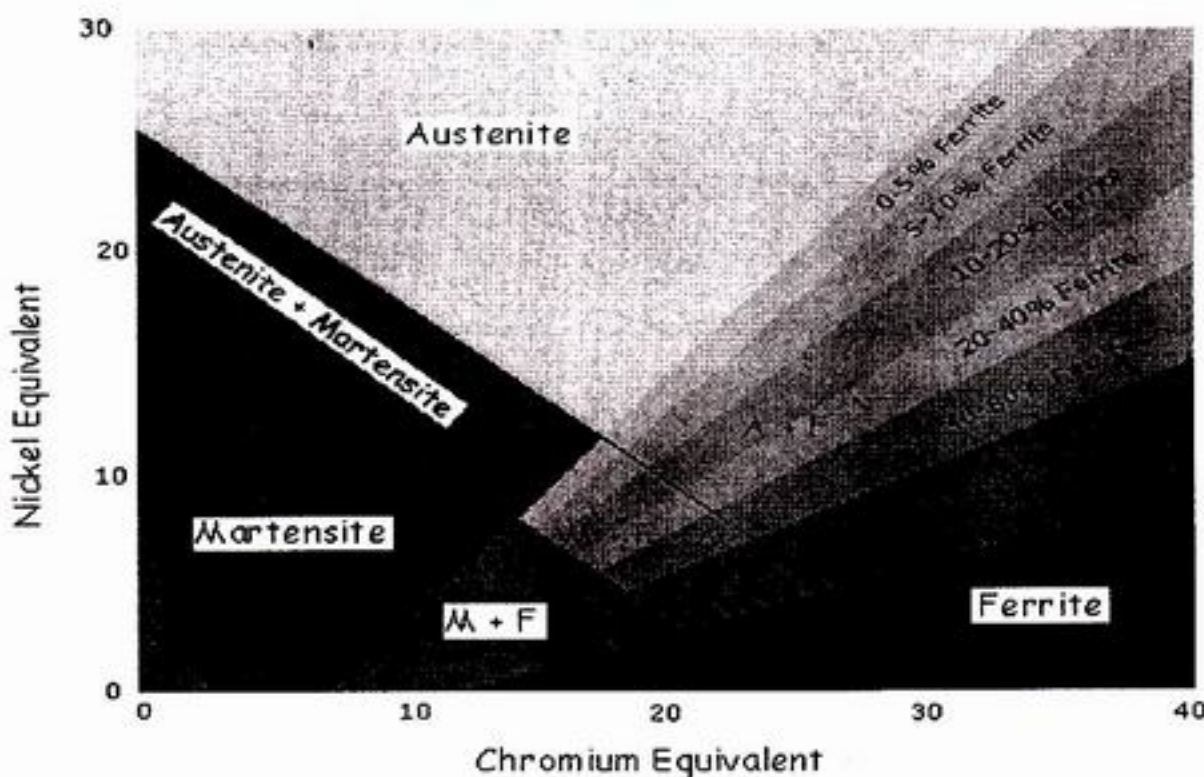
## ۲- نحوه تعیین ساختار جوش و انتخاب

### الکترود مناسب

هنگامیکه یک عملیات جوشکاری به کمک فیلر مصرفی انجام می‌گیرد، در ناحیه جوش فلز پایه و فیلر با هم ترکیب می‌شوند، بگونه ای که حدوداً ۲۰٪ ترکیب را فلز پایه و ۸۰٪ آن را فیلر تشکیل می‌دهد که این نسبت، به فرایند جوشکاری، نوع اتصال و پارامترهای جوشکاری بستگی دارد.

در تعیین نوع ریز ساختار در ناحیه جوش، اثرات نیکل و سایر عناصری که آستنیت ساز هستند در مقابل اثرات کرم و سایر عناصر فریت ساز قرار می‌گیرند. به این منظور عناصر موجود در ساختار فلز پایه، الکترود و فلز جوش با نیکل و کرم معادل به صورت روابط (۱) و (۲) تعریف می‌شود [۲]:

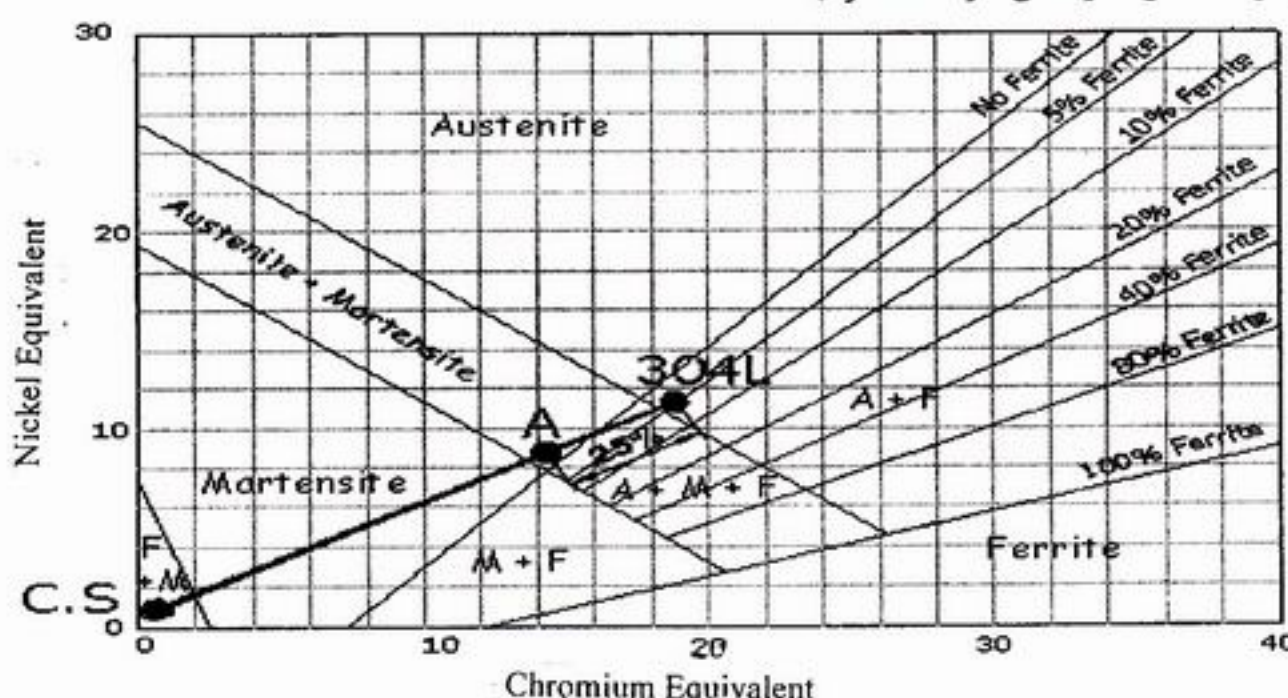
$$Ni \text{ Equivalent} = \%Ni + 30\%C + 0.5\%Mn \quad (1)$$



شکل (۱): دیاگرام شافلر [۲].

راست به هم وصل کنیم و از سمت ترکیب الکترود به اندازه درجه رقت ضرب در طول خط واسط در راستای خط واصل و به سمت ترکیب فلز پایه نزدیک شویم، نقطه به دست آمده نشان دهنده ساختار نهایی جوش حاصل است و در نهایت این نقطه است که باید از نظر ساختاری در نقطه مناسبی قرار داشته باشد. در شکل (۲) این نمودار برای جوشکاری فولاد کربنی (C.S) با الکترود 304L نشان داده شده است:

در حالیکه فلز جوش ترکیبی از یک نوع فلز پایه و فیلر باشد به کمک دیاگرام شافلر می‌توان ترکیب فلز جوش را از طریق وصل کردن دو نقطه‌ای که معرف ترکیب فیلر و فلز پایه هستند و همچنین ترکیب فلز جوش تشخیص داد. به این ترتیب که پس از تشخیص مقادیر کرم و نیکل معادل برای ساختار فلز پایه و الکترود، این مقادیر را روی دیاگرام شافلر رسم می‌کنیم. دو نقطه که معرف ترکیب فیلر و فلز پایه است در نمودار، معین می‌گردد. حال اگر این دو نقطه را با خط

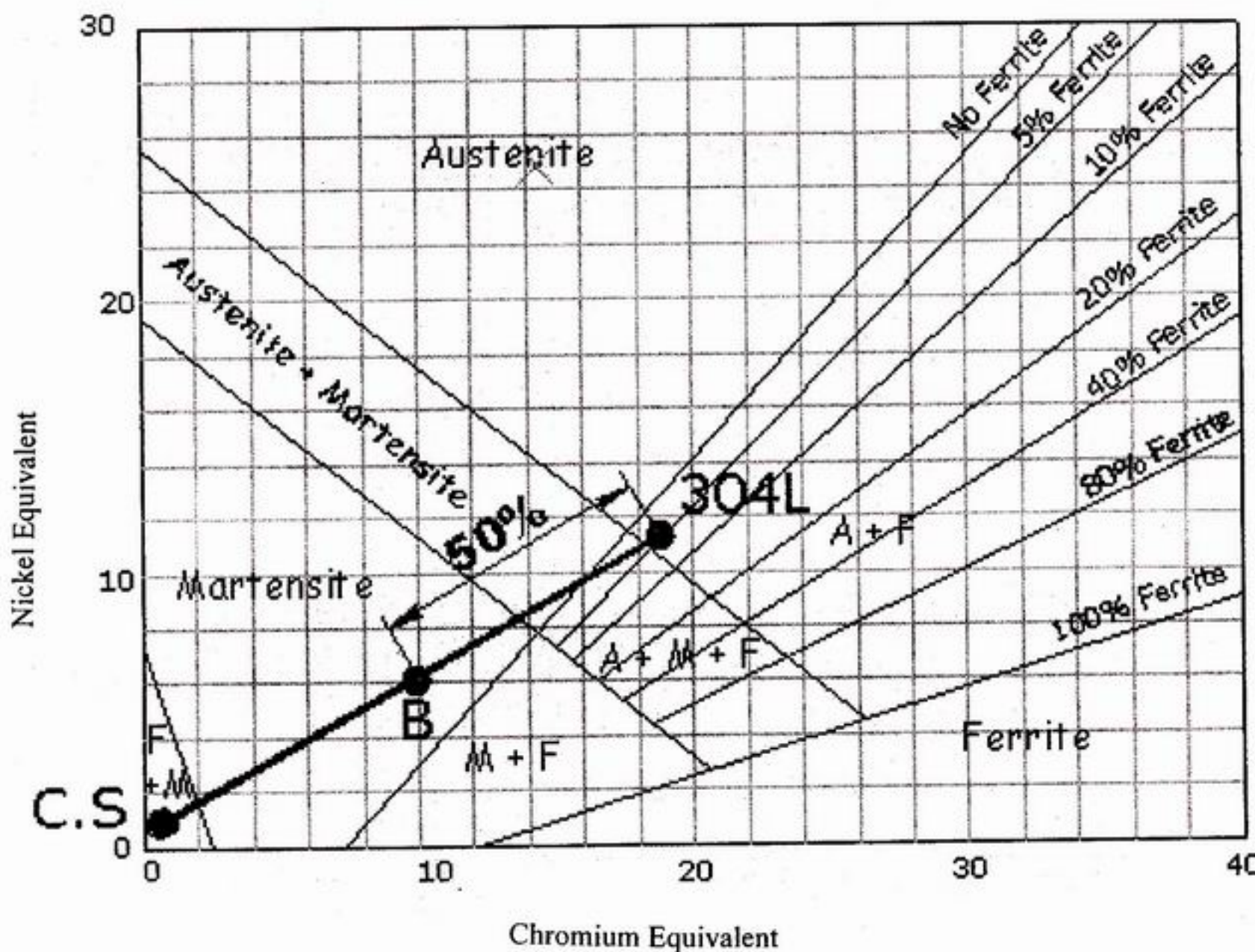


شکل (۲): نحوه تشخیص ساختار جوش [۱].

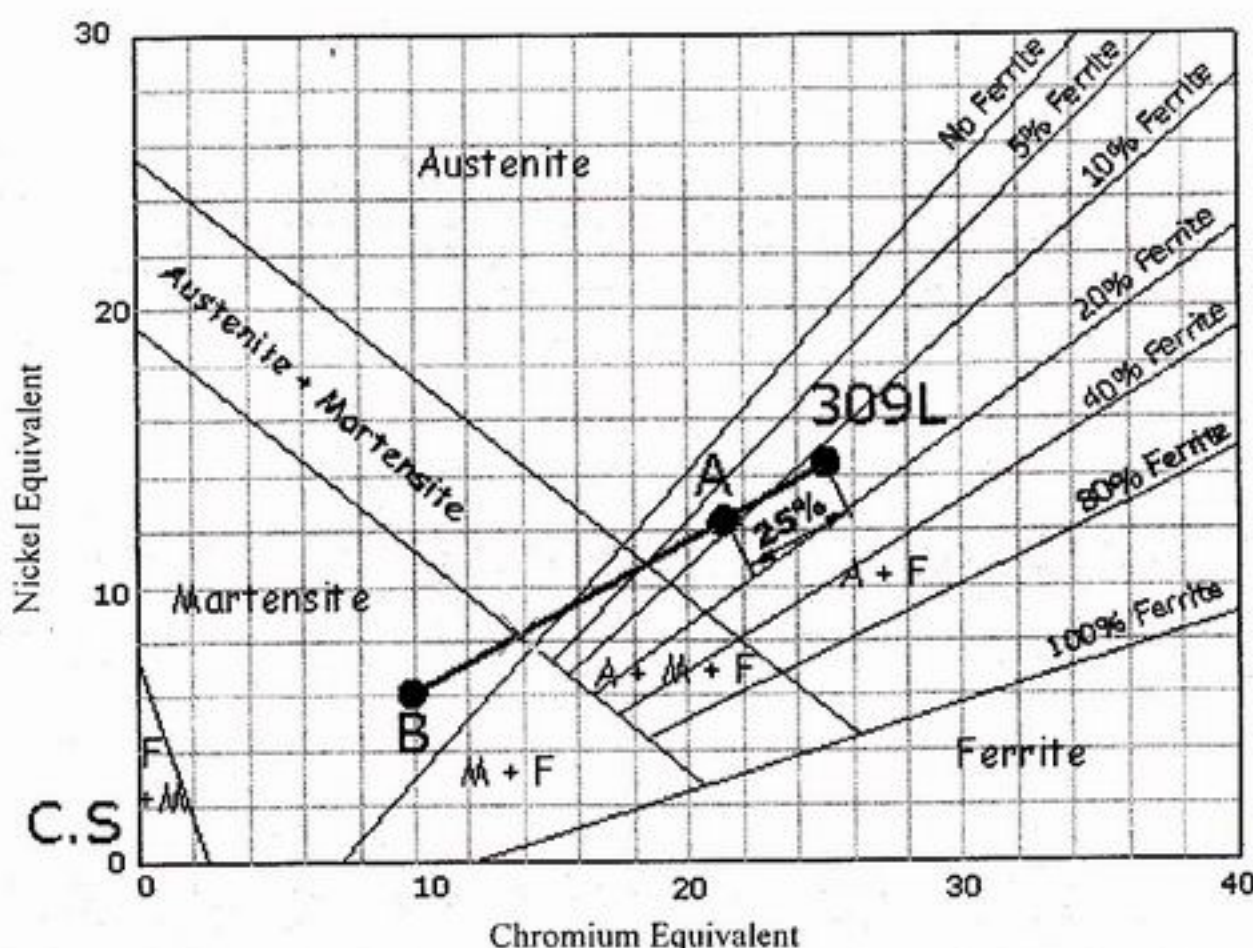
باشد وسط این خط نشانگر ترکیب فلز جوش بدون فیلر است (شکل ۳-a نقطه B). حالا اگر الکترود مصرفی را در دیاگرام مشخص کنیم، (در این مثال ۳۰۹L) چنانچه از این نقطه (نقطه ترکیب الکترود) به اندازه درجه رقت (در اینجا ۲۵٪) در طول خط واسط حرکت کنیم ترکیب فلز جوش به دست خواهد آمد (شکل ۳-b نقطه A). حال چنانچه ترکیب مورد نظر پذیرفته بود الکترود، مورد قبول می باشد و جوش به دست آمده ترکیب مناسبی از جهت مقاومت به ترک خواهد داشت. این مراحل در شکلهای (۳-a) و (۳-b) نشان داده شده‌اند.

اگر ترکیب نهایی جوش شامل ۲۵٪ از فلز پایه و ۷۵٪ از فیلر باشد نقطه A نشان دهنده ساختار نهایی جوش حاصله است. مشاهده می گردد که ساختار نهایی حاوی ساختار مارتنتزیت خواهد بود که ساختار نامناسبی است. برای حل این مشکل می توان از الکترودهایی با درصد عناصر آلیاژی بالاتر نظیر ۳۰۹L استفاده کرد تا ساختار نهایی را به منطقه امن بکشاند.

هنگامیکه ناحیه جوش ترکیبی از دو فلز پایه مختلف باشد مسأله پیچیده تر می گردد. در ابتدا ترکیب هر دو فلز پایه را روی دیاگرام مشخص کرده و با یک خط به هم وصل می کنیم. حال چنانچه نسبت هر دو فلز در فلز جوش یکسان



شکل (۳-a): مراحل تشخیص ساختار جوش در جوشکاری فلزات غیر همجنس [۱]



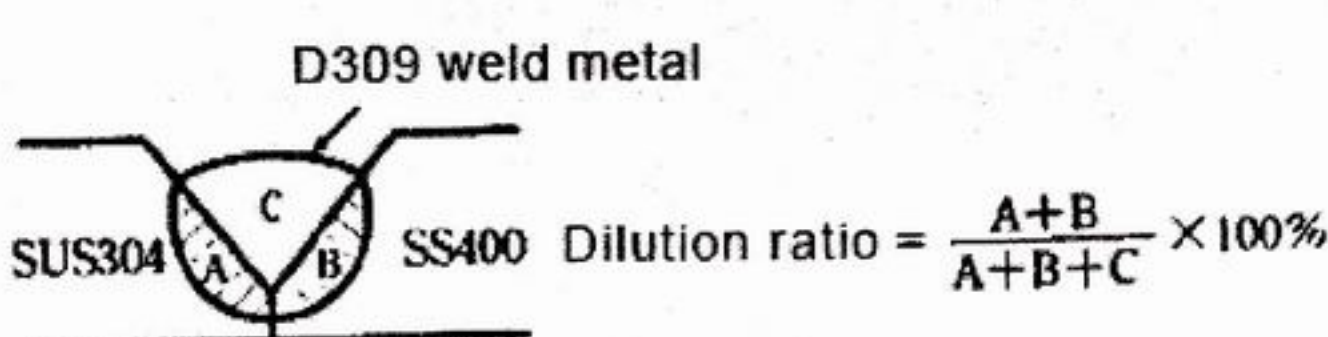
شکل (۳-ب): مراحل تشخیص ساختار جوش در جوشکاری فلزات غیر همجنس [۱]

(۴) از روی نسبت سطح مقطع ها به دست می آید.

### ۳- عدد فریت

در جوشکاری فلزات غیرهمجن، مانند جوشکاری معمولی فولاد ضدزنگ آستینی، ساختار پایدار با مقاومت خوب در مقابل ترک خوردگی هنگامی قابل دسترسی است که در فلز جوش چند درصد فاز فریت وجود داشته باشد. این خصوصیت بدلیل خواص خوب فریت در انعطاف‌پذیری و حل کردن ناخالصیها در خود ایجاد می گردد.

در مواردی برای تشخیص الکترود مورد نیاز جهت جوشکاری مسأله حل شده فرض می گردد. به این معنی که ترکیب نهایی فلز جوش در منطقه امن در نظر گرفته شده و با در نظر گرفتن ترکیب فلزات پایه، ترکیب الکترود در دیاگرام تعیین می گردد. پس از به دست آوردن محدوده مجاز ترکیب، کرم معادل و نیکل معادل محاسبه گشته و نوع الکترود از روی آن بدست می آید. لازم به توضیح است که درجه رقت میزان مشارکت فلز پایه در ساختار جوش می باشد و با توجه به شکل



شکل (۴): تعیین درجه رقت جوش

موجود در ترکیب جمع می‌شود. شکل (۵) این نمودار را نشان می‌دهد.

(۳)

$$Ni\ Equivalent = \%Ni + 30\%C + 0.5\%Mn + 30\%N$$

(۴)

$$Chrome\ Equivalent = \%Cr + \%Mo + 1.5\%Si + 0.5\%Nb$$

#### ۴- مسائل و مشکلات جوشکاری فلزات غیرهمجنس

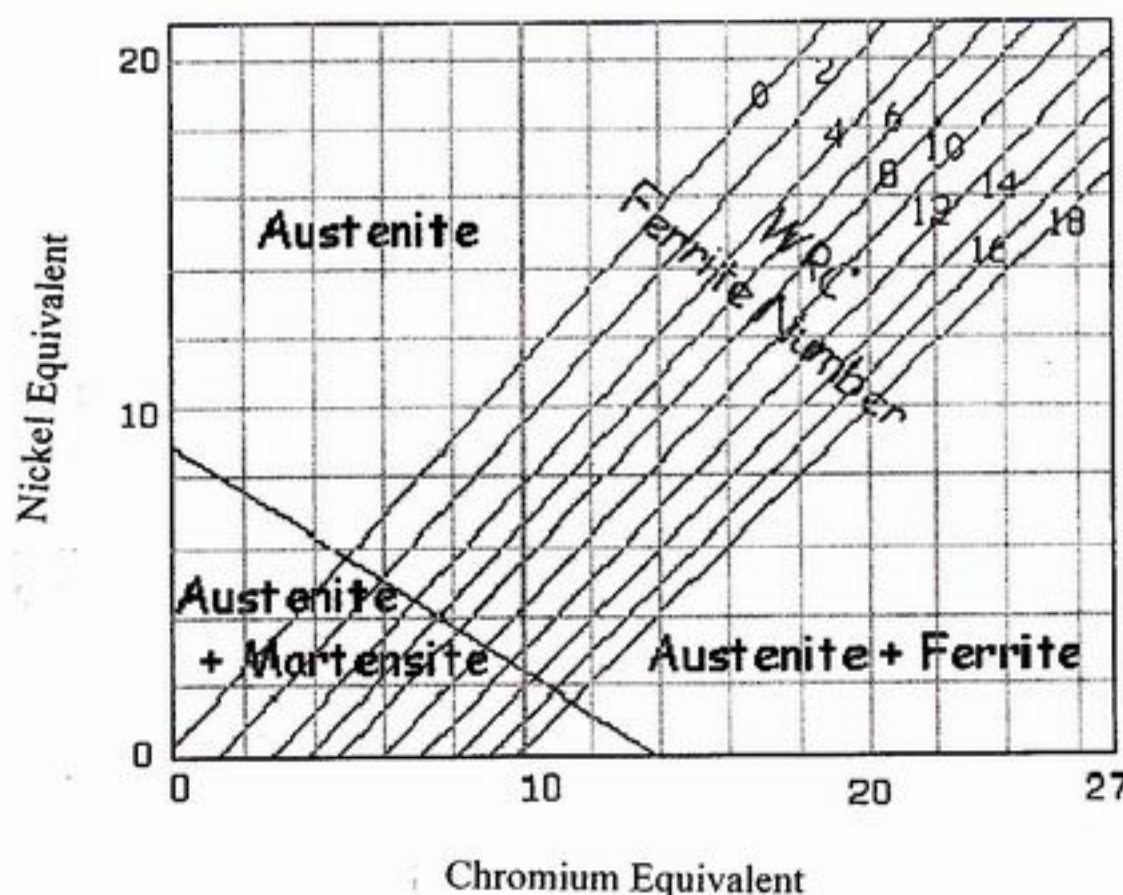
نکات مهمی که در جوشکاری فولاد ضدزنگ به فولاد کربنی باید مورد توجه قرار گیرد در این قسمت ذکر گردیده است.

##### ۱-۴- ترک گرم

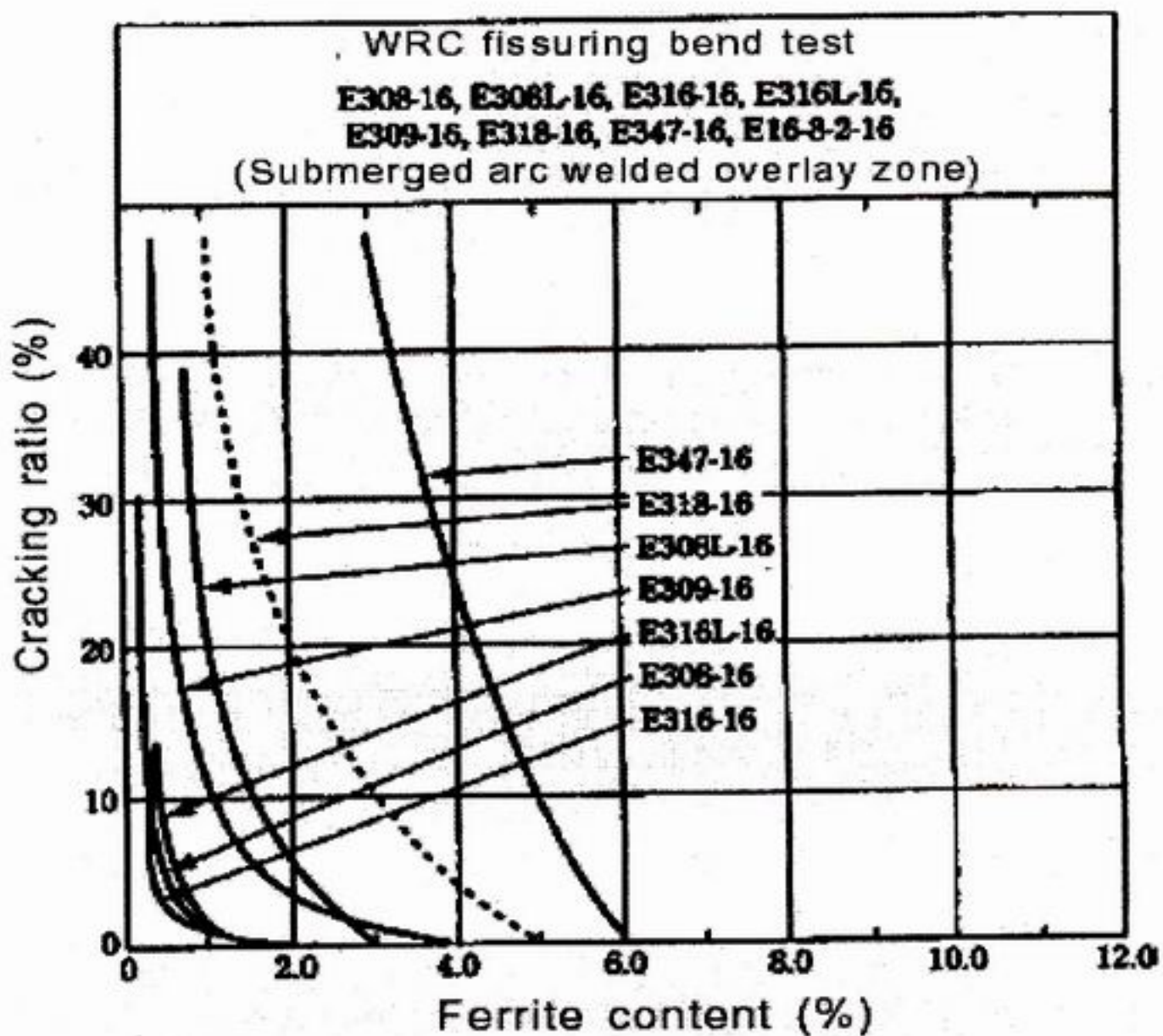
ترک گرم در اثر وجود برخی ناخالصیها نظیر فسفر و گوگرد که در منطقه ذوب جدا می‌گردند به وجود می‌آید. اگر در ساختار جوش درصد بسیار زیادی آستنیت وجود داشته باشد به دلیل حلالیت کم عنصر گوگرد در این فاز، خطر ایجاد ترکهای

در فولاد آستنیتی در حین جوشکاری خطر ترک خورده‌گی گرم وجود دارد (به دلیل وجود گوگرد). برای جلوگیری از ترک گرم در فلز جوش باید ۴ تا ۱۰ درصد فریت وجود داشته باشد. چنانچه درصد فریت بیش از اندازه زیاد شود ممکن است در حین عملیات بعدی یا کار کرد در دمای بالا همراه مواد تردکننده منجر به ایجاد فاز سیگما گردد. به این دلیل جوشهایی که در عملیات با دمای بالا مورد استفاده قرار می‌گیرند تا حد ممکن باید درصد فریت پایین داشته باشند.

میزان فریت موجود در اتصال با عدد فریت بیان می‌شود. عدد فریت معیاری است که از جاذبه مغناطیسی برای اندازه گیری درصد فریت در ترکیب استفاده می‌کند. عدد فریت از روی دیاگرام شافلر اصلاح شده که دیاگرام دلونگ نامیده می‌شود، بدست می‌آید. کرم و نیکل معادل همان مقادیر مورد استفاده در دیاگرام شافلر می‌باشد با این تفاوت که نیکل معادل با ۳۰ برابر نیتروژن



شکل (۵): دیاگرام دلونگ جهت تعیین عدد فریت [۱].



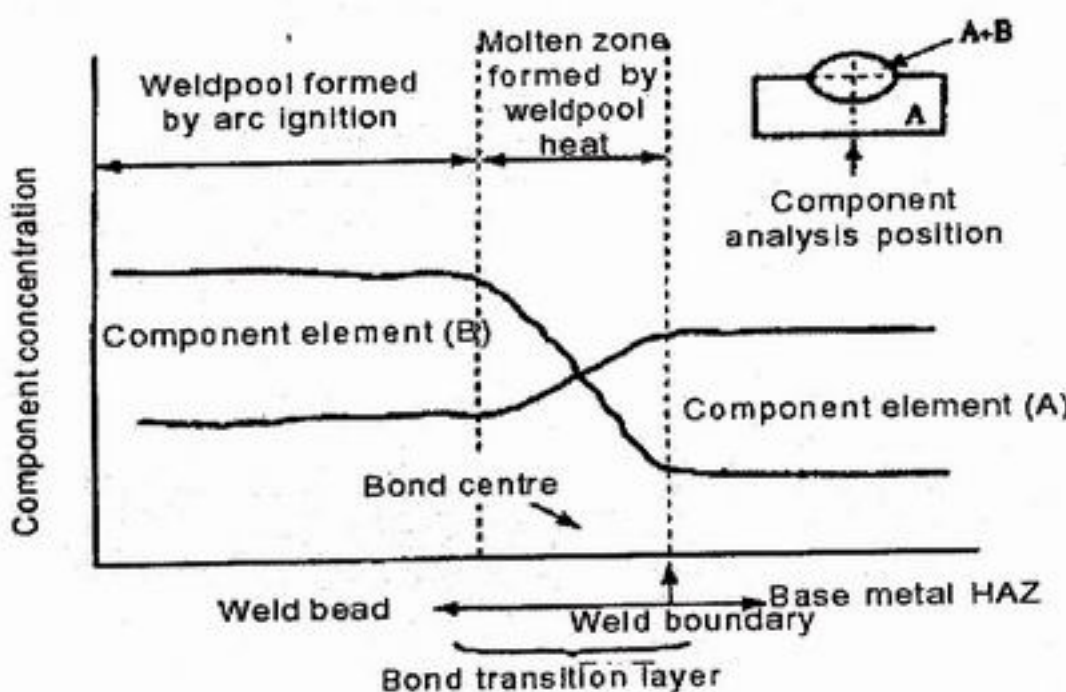
شکل (۶): ارتباط میان درصد فریت موجود در ماده و ترکهای جوش [۱]

این اتصال غیرهمجنس افزایش یابد، فلز جوش حاوی فاز مارتنزیت بیشتری خواهد شد. فاز مارتنزیت دارای رفتار ترد بوده و قطعه را مستعد ایجاد ترک های سرد می کند. جهت جلوگیری از ایجاد این ترکها، اطمینان از انتخاب مناسب فیلر جوشکاری، روش جوشکاری و شرایط جوشکاری ضروری است. با انجام عملیات پیشگرم مناسب می توان از تشکیل فاز مارتنزیت جلوگیری کرد و احتمال ایجاد ترک سرد را کمتر نمود. شکل (۷) نحوه توزیع ترکیبات فلزات و همچنین باند تشکیل مارتنزیت را در منطقه جوش نشان می دهد.

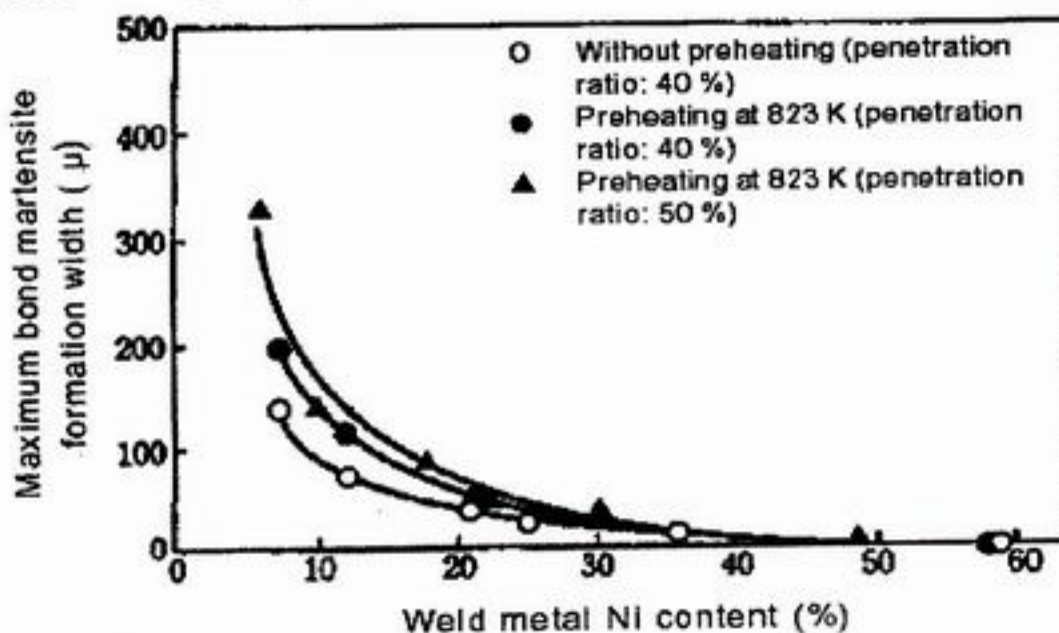
گرم وجود خواهد داشت. این ناخالصیها در مناطق مرزی مذاب و جامد تجمع کرده و با وجود تنش های آن منطقه موجب ترک در جوش می گردند. بهترین راه جلوگیری از به وجود آمدن اینگونه ترکها وجود چند درصد فریت در ساختار فلز جوش می باشد. این امر با انتخاب الکترود مناسب امکان پذیر می باشد. همانگونه که در شکل (۶) نشان داده شده است وجود فریت مانع این ترکها می گردد.

#### ۲-۴- ترک سرد

با توجه به دیاگرام شافلر، مشخص است هرچه میزان فلز پایه فولاد کم آلیاژی یا فولاد کربنی در



شکل (۷): توزیع ترکیبات فلزات و باند تشکیل مارتنتزیت در منطقه جوش [۱]



شکل (۸): تغییرات عرض باند تشکیل مارتنتزیت با افزایش درصد نیکل در فلز جوش [۱]

فلز پایه، شرایط و قیود باید مورد توجه قرار گیرد.

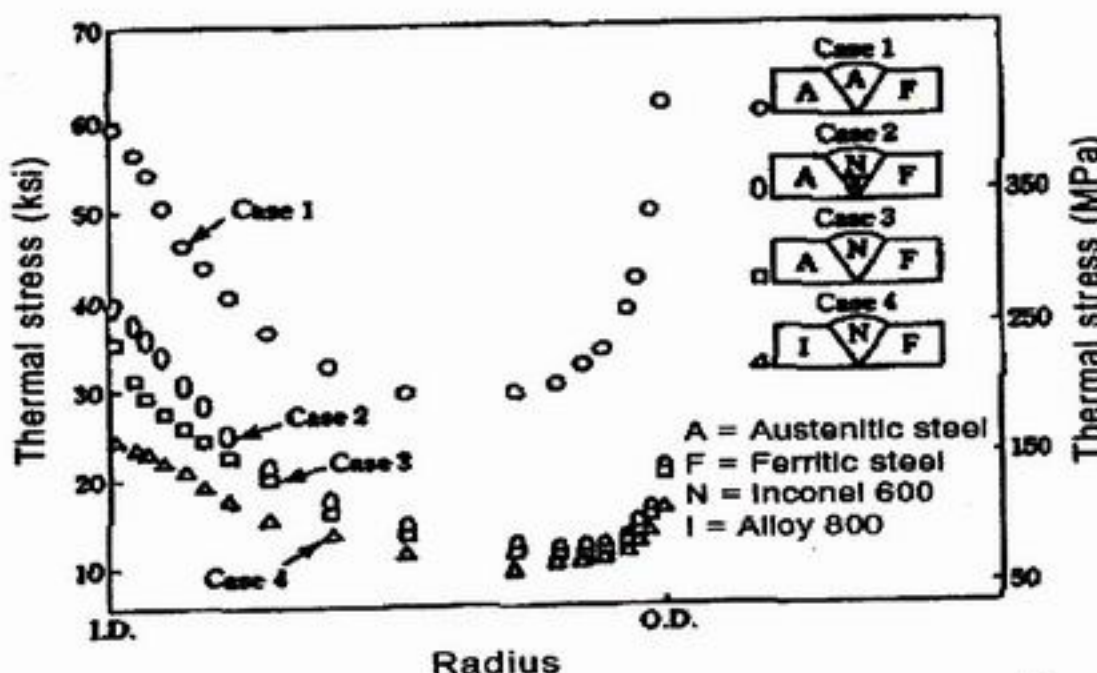
۳-۴- تنشهای حرارتی جوش  
تنشهای حرارتی موجود در اتصال جوشی فلزات غیرهمجنس دارای دو منبع می‌باشد. در طول جوشکاری فلزات غیر همجنس، تنشهای حرارتی که در نتیجه تفاوت ضریب انبساط حرارتی هر دو فلز پایه و فلز جوش ایجاد می‌گردد، به تنشهای پسماند طبیعی ایجاد شده در اثر عملیات جوشکاری اضافه می‌گردد.

جدول (۳) نمونه‌هایی از ضریب انبساط حرارتی چندین فلز پایه و فیلر جوشکاری را نشان می‌دهد.

با در نظر گرفتن باند تشکیل مارتنتزیت، شکل (۸) نشان می‌دهد که عرض این باند با افزایش درصد نیکل در فلز جوش کاهش می‌یابد. با افزایش باند تشکیل مارتنتزیت امکان شکست سازه در قیود سنگین وجود خواهد داشت. بنابراین انتخاب صحیح الکترود مصرفی در ایجاد اعتماد در کارکرد صحیح سازه ضروری است. چنانچه عملیات جوشکاری با فیلرهای آستنیتی انجام گیرد عملیات پیشگرم یا پسگرم ضروری نمی‌باشد. در هر حال در هنگام انجام عملیات جوشکاری در فلزات غیرهمجنس، کنترل مناسب حرارتی بر طبق جنس

جدول (۳): ضریب انبساط حرارتی چند فلز پایه و فیلر جوشکاری [۱]

Material	Thermal expansion coefficient ( $10^{-6}/^{\circ}\text{C}$ )	Remarks
Carbon/low-alloy steel	14.3	0.5Mo steel
Welding additives	Ni-base alloys	Inconel 600
	Stainless steel type	308 type
Stainless steel	18.7	SUS304



شکل (۹): نتایج آنالیز توزیع تنش در ضخامت قطعه (صفحه) را در نواحی نزدیک جوش فولاد فریتی و آستنیتی [۱]

اتصال مواد غیر همگنس این است که بخشی از تنشهای که در نتیجه تفاوت ضریب انبساط حرارتی بین دو فلز پایه بوجود آمده با عملیات حرارتی مرسوم قابل استحاله نیست.

بدلیل اهمیت و نقش تنشهای پسماند در کاهش خصوصیات مفید اتصال نظریر مقاومت در مقابل خوردگی، استحکام خستگی و مقاومت شکست، سعی میشود با انتخاب تکنیک مناسب، فیلر مناسب و اجرای درست جوشکاری به یک اتصال قابل قبول در این مواد رسید.

شکل (۹) نتایج آنالیز توزیع تنش در ضخامت قطعه (صفحه) را در نواحی نزدیک جوش فولاد فریتی و آستنیتی نشان می دهد. نمودار شکل (۹) ممید این مطلب است که بکار بردن فیلرهایی که ضریب انبساط حرارتی آنها نزدیک فلزات پایه باشد باعث ایجاد تنشهای پسماند کوچکتری می شوند. از الکترود Inconel با پایه Ni در جاهایی که بیشتر در مواردیکه سازه تحت سیکل حرارتی قرار دارد استفاده می گردد. نکته مهم درباره تنش های پسماند ایجاد شده در

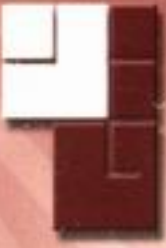
## ۵- نتیجه‌گیری

اتصال فولادهای غیر همجنسب از مواردی است که در صنایع نیروگاهی و پتروشیمی استفاده فراوان داشته و بدلیل اختلاف در خواص متالورژیکی، فیزیکی و مکانیکی مستعد ایجاد مشکلاتی است. با انتخاب تکنیک مناسب، فیلر مناسب، و اجرای صحیح جوشکاری میتوان به یک اتصال قابل قبول در این مواد رسید.

## ۶- مراجع

- 1- Arc welding technology for dissimilar joints, Selected from Journal of the Japan Welding Society 2002 71 (6) 25–29; Reference JJ/02/6/25; Translation 3113
2. Schaeffler, A. L. 1949. Constitution diagram for stainless steel weld metal. Metal Progress 56(11): 680-680B

آقای رسول محرومی دارای کارشناسی ارشد مهندسی مکانیک از دانشگاه صنعتی امیرکبیر بوده و از ۵ سال پیش با پروژه‌های کنترل کیفیت قدس نیرو همکاری دارد. آقای محرومی هم اکنون دانشجوی دکترای مهندسی مکانیک در دانشگاه صنعتی امیرکبیر میباشد. زمینه علاقمندی ایشان تکنولوژی جوشکاری و طراحی و ساخت سازه‌های جوشکاری و مخازن تحت فشار است.

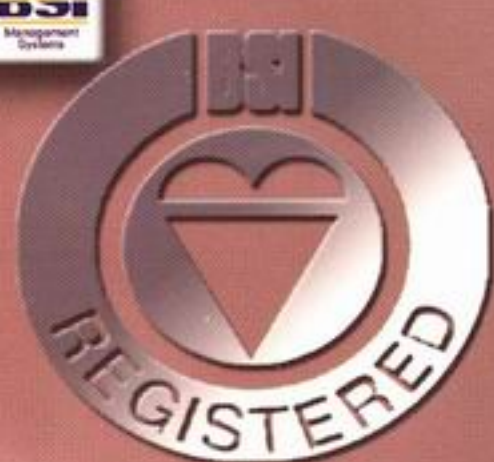


**GHODS INR00 CONSULTING ENGINEERS**  
**مٹکنیسین مشاہر قائم نمبر**

شرکت مهندسین مشاور قدس نیرو

خدمات مشاوره، مهندسی و طراحی جزئیات، تهییه مشخصات فنی، نظارت عالی،  
نظارت بر اجرا و راه اندازی طرحها، انجام پروژه‌های EPC و مدیریت اجرایی  
را در زمینه‌های ذیل ارائه می‌نماید:

- نیروگاههای حرارتی (بخاری، گازی و سیکل ترکیبی)
  - پست های فشار قوی
  - خطوط انتقال نیرو، شبکه های توزیع برق
  - سد ها و نیروگاههای برق آبی، شبکه های آبیاری و زهکشی
  - مطالعات زیست محیطی
  - خطوط و ایستگاههای نفت و گاز



آدرس : خیابان استاد مطهری . چهارراه شهروردی . شماره ۹۸  
کد پستی : ۱۵۶۶۷۷۵۷۱۱ - تهران  
تلفن : ۸۸۴۱۶۳۴۴ - ۸۸۴۰۳۶۱۳  
فاکس : ۸۸۴۱۱۷۰۴



تهران - خیابان اسنااد مطہری - چهارراه سپهوردی - شماره ۹۸ کد پستی ۱۵۶۶۷۷۵۷۱  
 تلفن : ۰۲۱-۳۶۱۲-۸۸۷۰ - فاکس : ۰۲۱-۱۱۷۰-۷۷۳۵ - تلگراف : شرکتمن نیرو ایران  
 NO.98 OSTAD MOTAHARI AVE, TEHRAN 1566775711- IRAN  
 TEL : 88403613 - 88430454 Email : info@ghods-niroo.com  
 CABLE : SHERGHODS NIROO IRAN - FAX : 88411704